

599

OPPDRAAGSMELDING

Terrengkalking i Suldal, Rogaland
- undersøkelser av vegetasjon og jord
før kalking

Vegar Bakkestuen
Per Arild Arrestad
Odd Eilertsen



NINA•NIKU

NINA Norsk institutt for naturforskning

Terrengkalking i Suldal, Rogaland

- undersøkelser av vegetasjon og jord
før kalking

Vegar Bakkestuen
Per Arild Arrestad
Odd Eilertsen

NINA•NIKUs publikasjoner

NINA•NIKU utgir følgende faste publikasjoner:

NINA Fagrapport

NIKU Fagrapport

Her publiseres resultater av NINAs og NIKUs eget forskningsarbeid, problemoversikter, kartlegging av kognitivsnivået innen et emne, og litteraturstudier. Rapporter utgis også som et alternativ eller et supplement til internasjonal publisering, der tidsaspekt, materialets art, målgruppe m.m. gjør dette nødvendig.

Opplag: Normalt 300-500

NINA Oppdragsmelding

NIKU Oppdragsmelding

Dette er det minimum av rapportering som NINA og NIKU gir til oppdragsgiver etter fullført forsknings- eller utredningsprosjekt. I tillegg til de emner som dekkes av fagrapportene, vil oppdragsmeldingene også omfatte befanningsrapporter, seminar- og konferanseforedrag, årsrapporter fra overvåkningsprogrammer, o.a.

Opplaget er begrenset. (Normalt 50-100)

NINA•NIKU Project Report

Serien presenterer resultater fra begge instituttene prosjekter når resultatene må gjøres tilgjengelig på engelsk. Serien omfatter original egenforskning, litteraturstudier, analyser av spesielle problemer eller tema, etc.

Opplaget varierer avhengig av behov og målgrupper.

Temahefter

Disse behandler spesielle tema og utarbeides etter behov bl.a. for å informere om viktige problemstillinger i samfunnet. Målgruppen er "almenheten" eller særskilte grupper, f.eks. landbruket, fylkesmennenes miljøvern-avdelinger, turist- og friluftlivskretser o.l. De gis derfor en mer populærfaglig form og med mer bruk av illustrasjoner enn ovennevnte publikasjoner.

Opplag: Varierer

Fakta-ark

Hensikten med disse er å gjøre de viktigste resultatene av NINA og NIKUs faglige virksomhet, og som er publisert andre steder, tilgjengelig for et større publikum (presse, ideelle organisasjoner, naturforvaltningen på ulike nivåer, politikere og interesserte enkeltpersoner).

Opplag: 1200-1800

I tillegg publiserer NINA og NIKU-ansatte sine forskningsresultater i internasjonale vitenskapelige journaler, gjennom populærfaglige tidsskrifter og aviser.

Bakkestuen, V., Aarrestad, P.A., & Eilertsen, O. 1999. Terregenkalking i Suldal, Rogaland – undersøkelser av vegetasjon og jord før kalking. – NINA Oppdragsmelding 599: 1-69.

Trondheim, juli 1999

ISSN 0802-4103

ISBN 82-426-1046-0

Forvaltningsområde:

Naturovervåking

Environmental monitoring

Rettighetshaver ©:

Stiftelsen for naturforskning og kulturminneforskning

NINA•NIKU

Publikasjonen kan siteres fritt med kildeangivelse

Redaksjon:

Bjørn Åge Tømmerås

NINA•NIKU, Trondheim

Design og layout:

Synnøve Vanvik

Sats: NINA•NIKU

Kopiering: Norservice

Opplag: 120

Kontaktadresse:

NINA•NIKU

Tungasletta 2

7785 Trondheim

Tel: 73 80 14 00

Fax: 73 80 14 01

Tilgjengelighet: Åpen

Prosjekt nr.: 15412 Terregenkalking Vestlandet

Ansvarlig signatur:

Oppdragsgiver:

Direktoratet for naturforvaltning

Referat

Bakkestuen, V., Aarrestad, P.A., & Eilertsen, O. 1999. Terregenkalking i Suldal, Rogaland – undersøkelser av vegetasjon og jord før kalkning. – NINA Oppdragsmelding 599: 1-69.

Et terregenkalkingsprosjekt ble etablert i 1998 i tre ulike forsøksfelter Gjerstad (Telemark), Suldal (Rogaland) og Flekke-Guddal (Sogn og Fjordane). Målsetningen er å vurdere om terregenkalking er et forsvarlig, velegnet virkemiddel for å bedre vannkvaliteten i forsurede vassdrag. Prosjektet er ledet av Direktoratet for naturforvaltning og er et samarbeidsprosjekt mellom forskningsinstitusjonene NIVA, NINA, NISK og NILU. NINA har ansvaret for å vurdere effekter av terregenkalking på vegetasjon og jord knyttet til næringstilgang til plantene. I alle feltene er det lagt opp til et overvåningsprogram for vegetasjon og jord i permanente prøveflater med et *tiltaksområde* som kalkes og et ukalket *referanseområde* med tilsvarende vegetasjon. Vegetasjonen undersøkes før og etter kalkning i begge områdene. Denne rapporten rapporterer undersøkelsene i Suldal før kalkning.

I Suldal er nedbørsfeltet til Brommelandsbekken valgt som *tiltaksområde* og Grovbekken som referanseområde. Begge nedbørsfeltene er sidevassdrag til Suldsalsågen og ble analysert i 1998.

Nedbørsfeltet til Brommelandsbekken er planlagt kalket i 1999.

Vegetasjonen i området er artsattig og generelt lite næringskrevende, noe som skyldes dominans av sure og harde bergarter i nedslagsfeltet. Furuskog, bjørkeskog og granplantefelter dekker størst areal, men heivegetasjon med bakkemyrselementer er også vanlig i fjellet. Naturtypene er typisk for de suboceaniske områdene på Vestlandet, med flere oseaniske arter og høy diversitet av moser. Det er imidlertid ikke registrert sjeldne eller særlig spesielle botaniske forhold innen nedslagsfeltet.

Det er lagt ut 10 overvåkingsfelter med totalt 50 analyse-ruter (1 x 1 m) i *tiltaksområdet* og tilsvarende antall i *referanseområdet*, totalt 100 analyseruter. Overvåkingsfeltene dekker ulike utforminger av fuktig og tørr furuskog, bjørkeskog og granplantefelt. Rutene er permanent oppmerket og analysert for innhold av karplanter, moser og lav. Jordprøver fra øverste 5 cm i humusen er samlet inn for hver analyserute og analysert for pH, glødetap, total nitrogen, total karbon og utbyttbare kationer. Jordmonnsanalysene viser et generelt surt og næringsfattig jordsmønster med generelt høyt organisk innhold. Gjennomsnittlig pH er 4,1, varierende fra 3,7 til 5,6. DCA-ordinasjon av de permanent utlagte analyserutene viser en vegetasjonsgradient fra urte- og grasdominert bjørkeskog med innslag av gråor via blåbær- småbregnebjørkeskog og granplantefelt til ulike utforminger av furuskog. Variasjonen i artssammensetningen er i hovedsak korrelert med næringsstatus i jorda, jord-

fuktighet og sigevannspåvirkning, men lystilgang (særlig plantefelt) og beitepåvirkning er trolig også viktige økologiske parametere. GIS er benyttet som et redskap for å visualisere resultater fra vegetasjonsanalysene og fra miljømålinger i relasjon til terregmodeller.

Analysene viser at overvåkingsflatene i *tiltaksområdet* og i *referanseområdet* er tilnærmet like både når det gjelder vegetasjonens artssammensetning og miljøforhold. Hvis det ikke skjer bruksendringer i noen av områdene, vil de permanent oppmerkede rutene ved reanalyse således kunne gi informasjon om mulige skader på vegetasjon, endinger i artssammensetning og i kjemiske parametere som skyldes terregenkalking.

Emneord: Terregenkalking, forsuring, overvåking, vegetasjon, jord.

Vegar Bakkestuen. Norsk institutt for naturforskning, Pb 736 Sentrum, 0105 Oslo.

Per Arild Aarrestad. Norsk institutt for naturforskning, Tungasletta 2, N-7485 Trondheim.

Odd Eilertsen. Norsk institutt for jord og skogkartlegging, Raveien 9, Pb 115, 1431 Ås.

Abstract

Bakkestuen, V., Aarrestad, P.A. & Eilertsen, O. 1999. Terrestrial liming in Suldal, Rogaland county – investigations of vegetation and soil in front of liming. – NINA Oppdragsmelding 599: 1-69.

A terrestrial liming project was established in 1998 in three different research areas Gjerstad (Telemark county), Suldal (Rogaland county), and Flekke-Guddal (Sogn & Fjordane county). The aim is to evaluate if terrestrial liming is a proper and suitable way to improve the water quality in acidified catchments. The project was initiated by the Directorate for Nature Management and is a collaboration project between the Norwegian Institute for Water Research (NIVA), Norwegian Institute for Nature Research (NINA), Norwegian Forest Research Institute (NISK) and Norwegian Institute for Air Research (NILU). NINA is responsible for monitoring the effects of terrestrial liming on vegetation and nutrient conditions in the upper soil. In all three areas there is a monitoring program for vegetation and soil based on permanent plots in a managed (limed) area and a reference (not limed area) with similar vegetation types. The vegetation and the soil are analysed both in front and after the liming of the areas. This report deals with the investigations in Suldal in front of liming.

The catchment area of the river Brommelandsbekken in Suldal is selected as the management area and the catchment area of the river Grovbekken as the reference area. Both rivers belong to the main watercourse Suldalslägen. Brommelandsbekken and Grovbekken were investigated in 1998, and the catchment area of Brommelandsbekken will be limed in 1999.

The vegetation in the catchment area is species poor and reflects a nutrient poor soil. This is mainly due to the hard, acidic bedrock of the investigated area. The catchment area is covered by Scots pine forest, downy birch forest, and some planted spruce forest; but mires (mainly fens) are common in the mountain area. The vegetation types are typical for the sub-oceanic part of western Norway, with several oceanic species and a high diversity of bryophytes. No rare species, or botanical interests of great importance, are recorded in the area.

Ten monitoring sites, with 5 sample plots (1 x 1 m) in each site, are distributed within both the managed area and the reference area in corresponding vegetation types, in total 100 sample plots. The sites cover different types of moist and dry Scots pine woodland, downy birch woodland and planted Norwegian spruce woodland. The sample plots are permanently marked and analysed for species composition and abundance of vascular plants, bryophytes and lichens. Soil samples from the upper 5-cm of the humus layer from each sample plot are analysed for pH, loss-on-ignition, total nitrogen, total carbon and exchangeable cations. The soil is generally characterised by high values of organic material, low pH and a low nutrient status. Average pH is 4.1, with

variations from 3.7 to 5.6. DCA-ordination of the species composition in the sample plots shows a vegetation gradient from herb and grass dominated woodland, bilberry/small fern woodland and planted Norwegian spruce woodland to different types of Scots pine woodland. The variation in species composition is mainly correlated to the soil nutrient status and the soil humidity. However light condition and cultural impact are probably also important ecological variables. Geographical information systems (GIS) are used as a tool to visualise the results from the vegetation analyses and the environmental measurements in relations to digital terrain models.

The investigation shows that the variation in species composition and environmental variables are very similar in the managed area and in the reference area in front of liming. If there will be no changes in the management of these areas (except liming), the permanent sample plots will thus give information of possible damage to the vegetation, changes in the species composition and in the chemical soil variables due to the terrestrial liming.

Key words: Terrestrial liming, acidification, monitoring, vegetation, soil.

Vegar Bakkestuen. Norwegian Institute for Nature Research, Pb 736 Sentrum, 0105 Oslo.

Per Arild Aarrestad. Norwegian Institute for Nature Research, Tungasletta 2, N-7485 Trondheim.

Odd Eilertsen. Norwegian Institute of Land Inventory, Raveien 9, Pb 115, 1431 Ås.

Forord

I regi av Direktoratet for naturforvaltning (DN) er det etablert et terreqkalkingsprosjekt for å vurdere om terreqkalking er et egnet virkemiddel for å bedre vannkvaliteten i forsuredede vassdrag. Prosjektet er et samarbeidsprosjekt mellom Norsk institutt for vannforskning (NIVA), Norsk institutt for naturforskning (NINA), Norsk institutt for skogforskning (NISK) og Norsk institutt for luftforskning (NILU). Prosjektet utføres i tre forsøksfelt: Suldal i Rogaland, Fleske-Guddal i Sogn og Fjordane og Gjerstad i Telemark. NINAs oppgave er å overvåke vegetasjon og jord i samband med terreqkalking i forsøksfeltene. DN er oppdragsgiver, men NINA bidrar selv med en vesentlig del av finansieringen.

Feltarbeid i Suldal ble utført i 1998 av Vegar Bakkestuen, Egil Bendiksen, Odd Eilertsen, Bodil Wilmann og Per Arild Aarrestad. Wilmann har også tilrettelagt dataene for numerisk behandling. Multivariate analyser og GIS-modellering er utført av Vegar Bakkestuen. Tor Erik Brandrud takkes for gjennomlesning av manuset og konstruktive innspill.

Vi takker for et godt samarbeid med DN, Fylkesmannen i Rogaland, Sand kommune og grunneiere i de analyserte områdene.

Oslo, Trondheim, Ås, juni 1999

Vegar Bakkestuen, Per Arild Aarrestad og Odd Eilertsen

Innhold

Referat.....	3
Abstract.....	4
Forord.....	5
1 Innledning	6
2 Områdebeskrivelse.....	7
2.1 Beliggenhet og topografi	7
2.2 Berggrunn	7
2.3 Klima	9
2.4 Kulturmånvirkning	10
3 Botaniske forhold.....	10
3.1 Flora og artsdiversitet.....	10
3.2 Vegetasjonstyper	11
4 Metoder og materiale.....	13
4.1 Vegetasjonsøkologisk design og feltmetoder.....	13
4.2 Jordkjemiiske analyser.....	13
4.3 Behandling av vegetasjonsdata	13
4.4 Behandling av miljøvariabler	14
4.5 Indirekte ordinasjon.....	14
4.6 Korrelasjonsanalyser.....	15
4.7 Geografiske informasjonssystemer - GIS.....	15
4.8 Visualisering av vegetasjonsanalyser	16
5 Resultater	17
5.1 Beskrivelse av analysefeltet i tiltaksområdet Brommelandsbekken	17
5.2 Beskrivelse av analysefeltet i referanseområdet Grovbekken	18
5.3 DCA-ordinasjon.....	19
5.4 Miljøparametere	20
5.5 Korrelasjoner mellom DCA-akser og miljøparametere	20
5.6 Digitale kart	22
5.7 Visualiseringer av vegetasjonsanalysene	22
6 Diskusjon	23
6.1 Indirekte gradientanalyser.....	23
6.2 Næringsgradient.....	23
6.3 Fuktighetsgradient.....	23
6.4 Lys.....	24
6.5 Tråkk og beitepåvirkning	24
6.6 Geografiske informasjonssystemer - GIS.....	24
6.7 Sammenlignbarhet mellom tiltaksområde og referanseområde	24
7 Litteratur	25
Vedlegg 1-14.....	28-69

1 Innledning

I Norge har man i lengre tid kalket innsjøer og elver for å bedre vannkvaliteten for fisk i forsurede vassdrag. Innsjøer er kalket direkte på overflaten med spredefartøy eller helikopter, og elver er kalket kontinuerlig ved hjelp av kalkdoserere. Begge metoder er forbundet med svakheter, bl.a. reforsures strandsoner i innsjøer vinterstid ved ordinær innsjøkalking (se f.eks. Barlaup et al. 1998), og doserkalking trenger betydelig kontrollvirksomhet som er svært kostnadskrevende. I de senere år har man vurdert kalking av terrenget fra helikopter som et supplerende eller alternativt virkemiddel for å avsyre surt overflatevann (Hindar 1997a). Ved en slik strategi forventer man å:

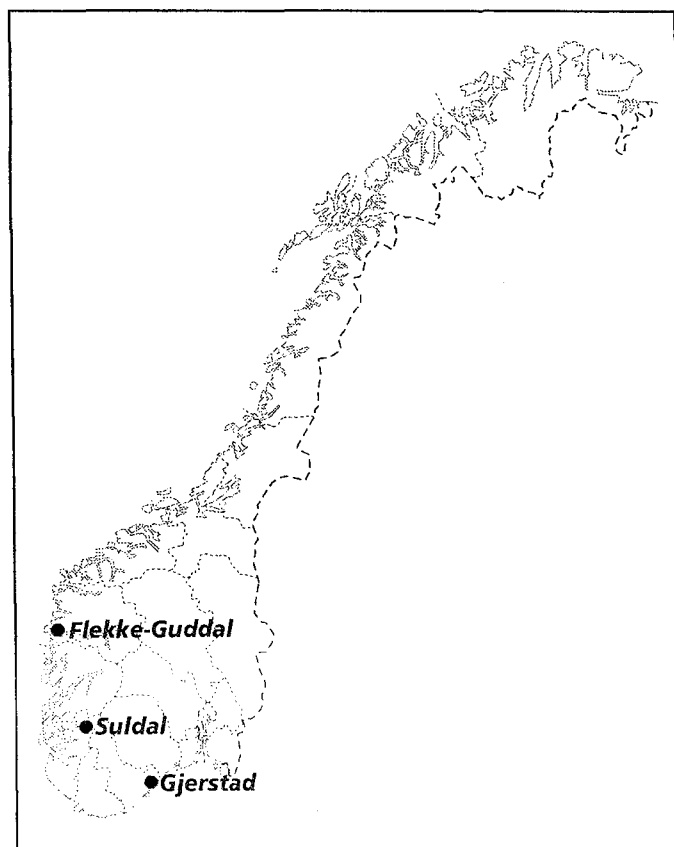
- øke retensjon og raskere avgifte aluminium
- stabilisere vannkvaliteten, som er spesielt viktig for innsjøer med kort oppholdstid
- redusere hyppighet og størrelsen av forsurningsepisoder i områder med intensiv skogplanting og /eller -sporadisk høy sjøsaltdeposisjon
- kunne kalke områder uten vegforbindelse og innsjøer uten tilløp

Imidlertid kan terengkalking også føre til negative terrestriske effekter, bl.a. på vegetasjon. Undersøkelser av kalking av myr i Norge (Høiland & Pedersen 1994, Korsmo et al. 1996, Hindar 1997b) viser skader på bunnsvikt-vegetasjon, særlig på torvmoser. På fastmark i fjellområder finnes det erfaringer fra Tjønnstrond (Traaen 1997), der lavarter døde ut på bergrunnsoverflater. I barskog er det utført forsøk med terengkalking i Gjerstad i Telemark under programmet «Miljøtiltak i skog» (Eilertsen et al. 1996, 1997). Kalkingen gav her små utslag på vegetasjon første år etter kalking. Artsammensetningen endret seg ikke, men det ble observert sviskader på moser, særlig torvmoser og på levermosen storstylte (*Bazzania trilobata*). Generelt var vegetasjonsendringene de første to år etter kalking bemerkelsesverdig små. Tilsvarende erfaringer har man fra furubestander på Gangseimoen i Åmlid i Vest-Agder (Røsberg 1997). Bortsett fra sviskader og tilbakegang av torvmoser ble det her etter tre år ikke observert noen endringer i overjordiske deler av vegetasjonen. Bruk av finmalt kalk gav imidlertid større skader på torvmoser enn bruk av grovere dolomit.

I Sverige har man i lengre tid benyttet seg av terengkalking, og det er utført flere studier av effekter på vegetasjon (f.eks. Staaf et al. 1996, Ollison 1982, Propovic & Folke 1984, Svanberg 1987, Blom & Wincent 1989, van Dobben et al. 1992, Kellner 1993). De svenske undersøkelsene viser bl.a. at torvmoser er spesielt utsatt. Kalking av vatn har ført til at torvmoser ble fullstendig etryddet, mens mer mesotrofe arter som vanlig tjønnaks (*Potamogeton natans*) og tusenblad (*Myriophyllum alternifolium*) ble favorisert (Erikson 1988). Konsekvenser av kalking på vannvegetasjon er også beskrevet fra Norge av Brandrud (1995a, b). På bakgrunn av det man vet om effekter av kalking på vegetasjon, bør således myrområder, tjern og skrinne fjellheirområder vises spesiell oppmerksomhet.

I forbindelse med arbeidet med å vurdere terengkalking som et egnet virkemiddel for å bedre vannkvaliteten i forsurede vassdrag er det i DN's regi etablert et terengkalkingsprosjekt. Prosjektet er et samarbeidsprosjekt mellom forskningsinstituttene NIVA, NINA, NISK og NILU, der NIVA har prosjektledelsen. Målsettingen med prosjektet er å 1) undersøke i hvilken grad terengkalking i områder med mye nedbør og potensielt skadelige sjøsaltpeisoder vil redusere uteleking av aluminium fra nedbørfeltet og i hvilken grad aluminium endrer tilstandsform og avgiftes, 2) om terengkalking fører til økt mobilisering av tungmetaller og nitrogenforbindelser og 3) om kalking av fastmark og skogsmark fører til uønskede skader og endringer av vegetasjonens sammensetning.

Terengkalkingsprosjektet ble etablert i 1998 i tre ulike forsøksfelt: Gjerstad (Telemark), Suldal (Rogaland) og Flekke-Guddal (Sogn og Fjordane), se figur 1. Det baserer seg delvis på tidligere undersøkelser i områdene og nye registreringer. NINA har ansvaret for å vurdere effekter av terengkalking på vegetasjon og jordsmonn relatert til plantenes næringsforhold. I alle feltene er det lagt opp til et overvåkingsprogram for vegetasjon og jord i permanente prøveflater med et *tiltaksområde* som kalkes og et ukalke referanseområde med tilsvarende vegetasjon.



Figur 1. Beliggenheten til undersøkelsesområdet i Suldal og de to andre terengkalkingsområdene i dette prosjektet. - The Suldal investigation area and the two other terrain-liming areas in this project.

Denne rapporten gir en beskrivelse av vegetasjonen i Suldalsfeltet før kalking, både generelt i områdene og i de permanente prøveflatene. Det er gitt en metodebeskrivelse for etablering av overvåkingsflatene, og ordinasjon og GIS er benyttet for å visualisere variasjonen i vegetasjon og miljø innen de analyserte områdene. De permanente prøveflatene skal så reanalyseres etter kalking for å vurdere eventuelle effekter av terrengkalkingen på deler av økosystemet.

2 Områdebeskrivelse

2.1 Beliggenhet og topografi

Undersøkelsesområdet ligger i Suldal kommune i Rogaland (figur 1). Det består av to delområder: Nedslagsfeltet til Brommelandsbekken som er tiltaksområdet (kalkingsområdet), og nedslagsfeltet til Grovbekken som er referanseområde.

Tiltaksområdet Brommelandsbekken

Brommelandsbekken er et sidevassdrag til Suldalslågen i Rogaland og renner ut i hovedvassdraget om lag 5 km øst fra Sand sentrum. Nedslagsfeltet er ca. 3,78 km² stort og dekker fjellpartiene Storhei (790 m o.h.) og Søther (863 m o.h.) der Brommelandsbekken har sin opprinnelse, se figur 2. Topografien i vassdraget er særdeles steil med en høydeforskjell på 800 m langs en strekning på 3 km. Fjellplatåene er relativt slake, mens dalsidene er preget av bratte, nakne fjellkråninger med underliggende rasmarker og morenemateriale i dalbunnen. Langs elveløpet er det også fluviske avsetninger. Dalprofilet ligner mer en V-dal der elva har skåret seg ned i landskapet. Nedslagsfeltet inneholder kun ett mindre vann, Holteskorvatnet 645 m o.h. På grunn av det bratte reliefet er det svært lite myreal, men på et flatere parti under Hanakammen (ca. 270 m o.h.) ligger mindre myrflater i kontakt med små tjern. De fleste av disse myrene og alle tjerna drenerer imidlertid mot vest og bort fra nedslagsfeltet.

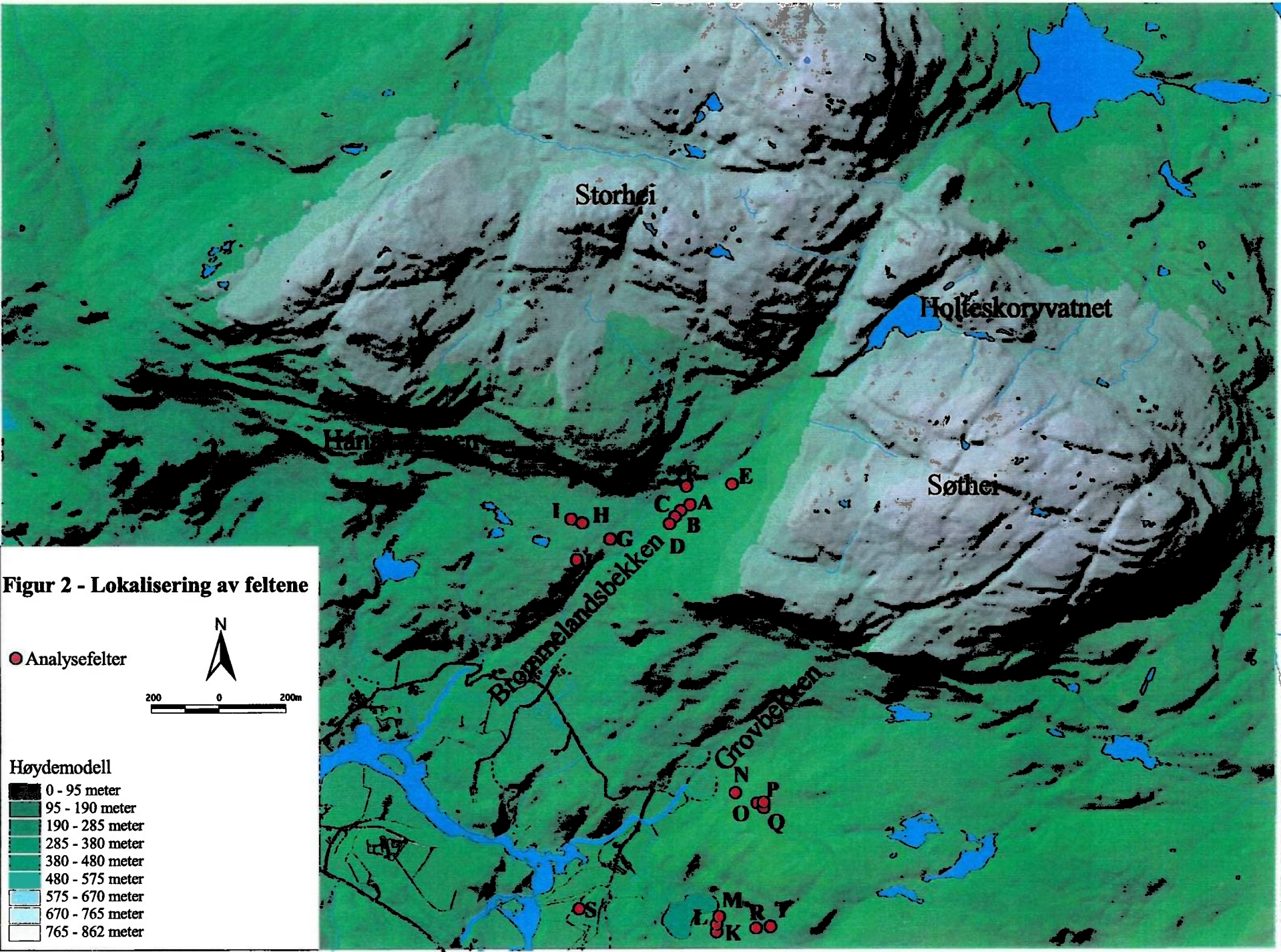
Referanseområdet Grovbekken

Referanseområdet ligger ca. 1 km rett øst for Brommelandsbekken. Selv om topografien også her er steil, har området ikke den samme langstrakte dalprofilen som tiltaksområdet. Det er mer preget av bratte lisider og avrundede dalbunnformasjoner. Grovbekken er en samlebekk av flere småbekker og får delvis tilsig fra det samme fjellpartiet som Brommelandsbekken (fra fjellområdet Søther). Størparten av tilsiget kommer imidlertid fra skogkledde områder lenger øst ved Lødalsfjell og Drotningheia.

2.2 Berggrunn

Brommelandsbekken og Grovbekken med dens sidebekker ligger alle i samme bergrunnsområde av fattig kvartsdiorittisk gneiss med ovenforliggende fjellpartier av næringsrik fyllitt, granittisk gneiss, amfibolitt og anortosittiske bergarter (Sigmond et al. 1984). Vannet i bekkene kan således være ulikt påvirket av disse bergartene.

En del av løsmassene i midtre deler av dalbunnen i Brommelandsbekken inneholder lett forvitrelig materiale, med mulighet for et rikere jordsmønster. Boniteten kan derfor generelt være noe høyere i tiltaksområdet enn i referanseområdet. Alle analysefeltene er imidlertid lagt ut i de fattigere bergartsområdene.

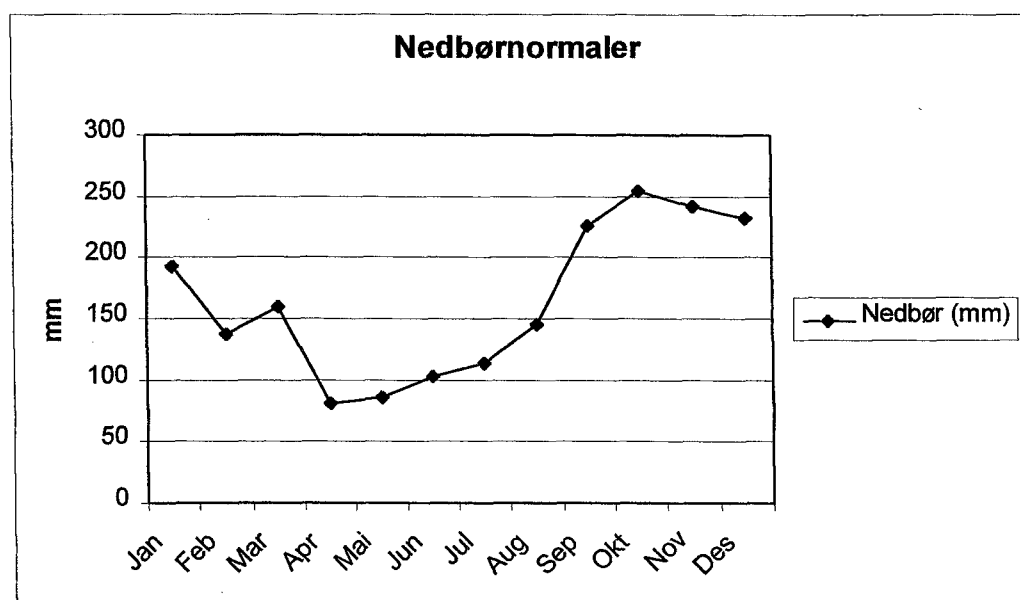


2.3 Klima

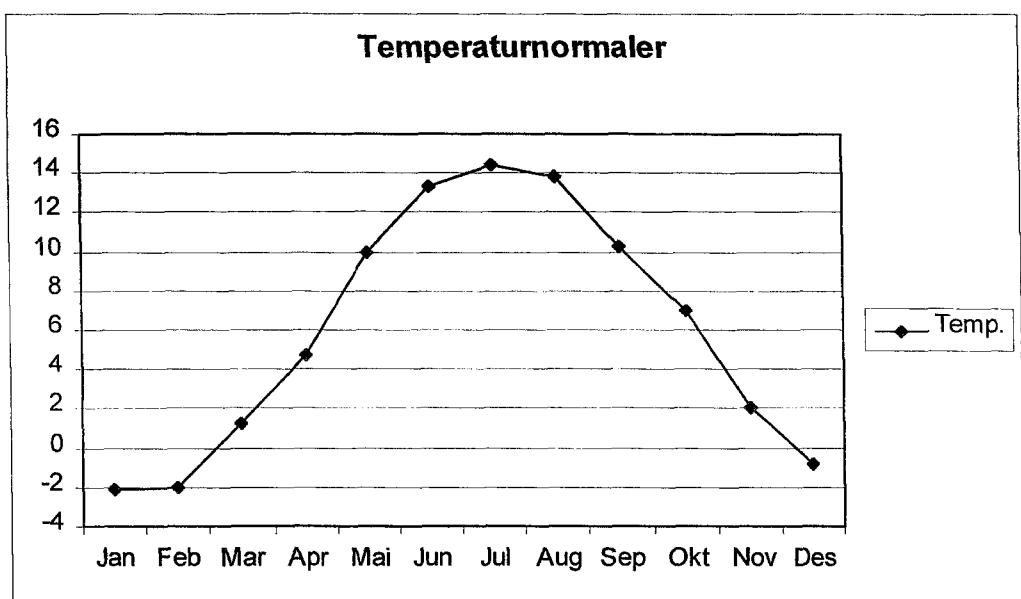
Suldal har ett suboceanisk klima med relativt høy årsnedbør (ca 2000 mm/år, Førland 1993), middels kalde vintrer og kjølige somrer, se figur 3 og figur 4. Middeltemperaturen om vinteren i januar og februar ligger på -2°C og middeltemperaturen i den varmeste sommermånedene juli er 14.4°C (Aune 1993). Sammenliknet med terregnkatingsområdene i Flekke-Guddalsvassdraget (Aarrestad et. al. 1999) er vinteren her kaldere og nedbørsmengdene noe lavere. En kaldere vinter med permanent snødekket i lavlandet og en noe kjøligere vår medfører trolig en noe kortere vekstsesong. Innslaget av oseaniske arter, som ikke tåler vinterfrost, er derfor lavere i Suldalsvassdraget enn i Flekke-Guddalsvassdraget.

Landskapet rundt Brommelandsbekken er sørvendt, mens det rundt Grovbekken er mer vest-vendt. Forskjellene i eksposisjon er likevel ikke så store at det generelt skulle medføre større lokalklimatiske forskjeller. I nær tilknytning til Brommelandsbekkens nedslagsfelt ligger det imidlertid en sørvendt rasmark under en bratt fjellhammer. Dette gir en særdeles gunstig lokalklimatisk effekt med grobunn for varmekjær edellauvskogsvegetasjon. Slike forhold er ikke observert i Grovbekkens nedslagsfelt.

Figur 3. Nedbørsdata for normalperiode 1961–90 fra stasjon 4620 Suldal Mo (58 m o.h.). - Climate data from station 4620 Suldal Mo (58 m a.s.l.).



Figur 4. Temperaturdata for normalperiode 1961–90 fra stasjon 4620 Suldal Mo (58 m o.h.). - Climate data from station 4620 Suldal Mo (58 m a.s.l.).



2.4 Kulturpåvirkning

De to sidevassdragene ligger i tilknytning til gardsbruk der det drives et aktivt jord- og skogbruk. Påvirkningen av skogdrift med treslagsskifte til gran og utmarksbeite er imidlertid noe lavere enn i kalkingsområdene i Flekke-Guddal vassdraget. Det er hovedsakelig sau som beiter i utmarka og i fjellområdene. Beitetrykket var nok sterkere tidligere, og i følge gamle kart var nedbørfeltene tidligere mer eller mindre skogløse (John Jastrey, pers. medd.). Mye einer indikerer også stadier av gjengroing. Innslag av granplantefelter i skogsområdene er betraktelig høyere i tiltaksområdet Brommelandsbekken enn i referanseområdet Grovbekken, der granplantingene hovedsakelig ligger i tilknytning til dyrket mark. Granplantefeltene i Brommelandsbekken ligger alle på god bonitet og det er her observert naturlig regenerering av norsk gran (*Picea abies*) og sitka gran (*Picea sitchensis*), særlig på erosjonsjord langs skogsveier, men også inne i naturlig skog.

3 Botaniske forhold

3.1 Flora og artsdiversitet

Floraen er inventert i tiltaksområdet for terrengekalkingen i Brommelandsbekken. Det er lagt vekt på områdene under skoggrensa, men også heiområdene rundt Hanekamsstølen er inventert. Det er ikke utført detaljert artsregistrering i heiområdene, men det er utført en befaring på Søteheia for å avgrense kalkingsområdet. Befaringen her ble utført i mai 1999, med relativt mye snø i området. Arter i nedslagsfeltet til referanseområdet Grovbekken er bare registrert i tilknytning til analyser av referansefelter, men på bakgrunn av tilsvarende geologi, klima og kulturpåvirkning kan man anta at begge områdene har mye den samme floraen. Det er imidlertid ikke observert skifrig bergarter eller edellauv-skogslokaliteter i referanseområdets nedre deler, så artsdiversiteten må antas å her være lavere enn i tiltaksområdet.

Innen nedslagsfeltet til Brommelandsbekken er det registrert 191 karplanter, se [vedlegg 1](#). Befaringen her er utført i midten av juni 1998 og vekstsesongen var kommet noe kort i nordvendte lier og over skoggrensa. Fjellvegetasjon er i denne sammenheng dårlig representert. Det reelle artsantallet er derfor noe høyere. Likevel er dette et lavt antall med tanke på de relativt store høydeforskjeller og topografiske variasjoner i vassdraget. Den lave artsdiversiteten skyldes hovedsakelig dominans av sure og fattige bergarter, og det er funnet få arter som indikerer kalkinnhold i berggrunnen. De mest næringskrevende er trolig vårmarihand (*Orchis mascula*), junkerbregne (*Polystichum braunii*), fjelltistel (*Saussurea alpina*) og dvergjamne (*Selaginella selaginoides*). Foruten vårmarihånd finnes flere arter som også setter krav til høye sommertemperaturer, såkalte sørlige og sørvestlige varmekrevende arter (nemoriale arter). Disse kan også være mer eller mindre næringskrevende. Her kan nevnes lind (*Tilia cordata*), alm (*Ulmus glabra*), hassel (*Corylus avellana*), ask (*Fraxinus excelsior*), svartor (*Alnus glutinosa*), fingerstarr (*Carex digitata*) og skogsvinerot (*Stachys sylvatica*). Alle disse er registrert i edellauvskog bak Brommelandsgardene. Det er forøvrig registrert et fragment av sigevannspåvirket lågurt-furuskog ved foten av en fyllt horisont på vestsida av bekken.

Ellers er floraen hovedsakelig karakterisert av et sterkt innslag av suboseaniske arter som smørtelg (*Oreopteris limbosperma*), bjønnkam (*Blechnum spicant*), klokkeling (*Erica tetralix*), revebjelle (*Digitalis purpurea*), kystmaure (*Galium saxatile*), blåknapp (*Succisa pratensis*), grønnstarr (*Carex demissa*), knappsvi (*Juncus conglomeratus*), lyssiv (*J. effusus*) og rome (*Narthecium ossifragum*). Av enda mer oseanisk karakter (eu-oseanisk) er storfrytle (*Luzula sylvatica*), men sammenlignet med kalkingsområdet i Flekke-Guddalsvassdraget har Suldsalsvassdraget færre oseaniske arter. Dvergbjørk (*Betula nana*), som har en nord-østlig utbredelse i Norge, er vanlig i fjellområdene.

Elles er det ikke registrert særlige østlige trekk i vegetasjonen.

Analysene av de permanente prøveflatene viste et relativt høyt antall moser (se kap. 4 og 5). Totalt ble det registrert i overkant av 80 mosearter i de 100 analyserutene. Mosene var alle friske og frødige. Karakteristiske moser for Vestlandskysten er bl.a. bladmossene kystkransmose (*Rhytidadelphus loreus*), heigråmose (*Racomitrium lanuginosum*), kystbinnemose (*Polytrichastrum formosum*), kysttornmose (*Mnium homom*), kystjammemose (*Plagiothecium undulatum*), heiflette (*Hypnum jutlandicum*), lyngtorvmose (*S. quinquefarium*) og levermosene heimose (*Anastrepta orcadensis*), totannblonde (*Chiloscyphus coadunatus*) og storstylte (*Bazzania trilobata*). Sammenlignet med kalkingsfeltet i Flikke-Guddalsvassdraget inneholder imidlertid analysefeltene færre oseaniske og fuktighetskrevende arter innen torvmoser og levermoser.

3.2 Vegetasjonstyper

Mesteparten av de to sidevassdragenes nedslagsfelt ligger under skogrensa (ca. 600 m o.h.). Furu og bjørk er de vanligste treslagene foruten innplantet gran. Noe termofil, men heller næringsfattig edellauvskog finnes på gunstige lokalklimatiske lokaliteter. Myr- og vannvegetasjon er lite utbredt i da vassdragenes relief er nokså bratte med få flate partier. Skrinne bakkemyrer er imidlertid noe mer vanlig i heiskråningene rett over skogrensa. Her veksler bakkemyrer med lyngdominert heivegetasjon og bart fjell.

Furuskog

Furuskog er den viktigste skogstypen i området. Furuskog har størst utbredelse i sør- og vestekspонerte dalsider, på slake åsrygger og over bergknauser. Innslaget av furu er størst i Grovbekkens nedslagsfelt, mens eldre bjørk er co-dominant i furuskogene i Brommelandsbekken. Dette indikerer at boniteten stedvis er noe høyere i Brommelandsbekkens nedslagsfelt. Furu dominerer særlig på skrinn jord av både tørr og fuktig karakter. Fuktigheten varierer sterkt over korte avstander. Derfor danner typer med varierende fuktighetskrav ofte små mosaikkmønstre med til dels glidende overganger.

De viktigste typene er:

- **Blåbær-furuskog** finnes i skråninger og over koller med noe dypere mineraljord. Foruten dominans av blåbær, har den et svakt innslag av småbregner som fugletelg (*Gymnocarpium dryopteris*) og bjørnkam (*Blechnum spicant*), samt en del lave urter som skogstjerne (*Trientalis europaea*), kvitveis (*Anemone nemorosa*), maiblom (*Maianthemum bifolium*) og stormarimelle (*Melampyrum pratense*). Tyytebær (*Vaccinium vitis-idaea*) er også vanlig i dvergbusksjiktet. Viktige moser er etasjemose (*Hylocomium splendens*), furumose (*Pleurozium schreberi*), kystkransmose (*Rhytidadelphus loreus*), fjermose (*Ptilium crista-castrensis*) og blanksigd (*Dicranum majus*). Levermosen storstylte (*Bazzania trilobata*)

finnes ofte i tuepreget vegetasjon. Typen utgjør de mest produktive furuskogene i området.

- **Fuktig røsslyng-blokkebærfuruskog.** Typen er sterkt preget av gjengroing med einer (*Juniperus communis*) og dvergbusksjiktet inneholder foruten røsslyng (*Calluna vulgaris*) både blåbær (*Vaccinium myrtillus*) og blåbær (*V. uliginosum*). Fuktighetskrevende arter som blåtopp (*Molinia caerulea*) og klokkeling (*Erica tetralix*) er nærmest konstante. I bunnsjiktet er lyngtorvmose (*Sphagnum quinquefarium*), etasjemose (*Hylocomium splendens*) og storstylte (*Bazzania trilobata*) viktige. Dette er den vanligste utformingen av furuskog på Vestlandet.
- **Fuktig rome-bjørnnskjeggfuruskog.** På tynnere torv over berg, ofte i høyereliggende områder finnes fuktige furuskoger mer dominert av rome (*Narthecium ossifragum*), bjørnnskjegg (*Trichophorum cespitosum*), blåtopp (*Molinia caerulea*), torvull (*Eriophorum vaginatum*) og stedvis myrfiol (*Viola palustris*) og tepperot (*Potentilla erecta*). Typen er her nært knyttet til fattige bakkemyrer. På lavere nivå inngår også pors (*Myrica gale*).

- **Tørr røsslyng-furuskog** med blåbær (*Vaccinium myrtillus*), tyytebær (*V. vitis-idaea*) og krekling (*Empetrum nigrum*) finnes flekkvis over bergrabber på skrinn jord som lett tørkes ut. Viktige moser her er furumose (*Pleurozium schreberi*), heigråmose (*Racomitrium lanuginosum*), ribbesigd (*Dicranum scoparium*) og heiflette (*Hypnum jutlandicum*), samt noe lav, særlig *Cladonia*-arter. Typen dekker imidlertid små areal i de aktuelle sidevassdragene. Velutviklet lavfuruskog (som er sårbar overfor kalking) forekommer ikke.

Lauvskog

Lauvskog finnes i begge nedslagsfeltene og er hovedsakelig dominert av bjørk. Det finnes noen små bestander av osp (*Populus tremula*) på tørre koller, og gråor (*Alnus incana*) inngår som enkeltstående trær i nedre deler langs bekker og i fuktige drog i liene. Varmekjære løvtrær som ask (*Fraxinus excelsior*), alm (*Ulmus glabra*) og lind (*Tilia cordata*) finnes i en middels næringskrevende edellauvskog i nedre deler av Brommelandsbekken. Det meste av edellauvskogsområdet drenerer imidlertid ikke til det avgrensende nedslagsfeltet.

Bjørkeskogene trives best i nord vendte dalsider i den øvre skogregionen, ofte på blokkmark opp mot bergskråninger og som gjengroingsstadier fra tidligere jordbruksmark/beitemark eller hogstflater i furuskog. Generelt inneholder de mer urter, gras og bregner enn furuskogene.

De viktigste typene er:

- **Blåbær- småbregnebjørkeskog** med samme arter som i blåbær-furuskog, men med mer innslag av fugletelg (*Gymnocarpium dryopteris*) og hengeving (*Phegopteris connectilis*) og arter som gaukesyre (*Oxalis acetosella*), kystmaure (*Galium odoratum*), tepperot (*Potentilla erecta*) og hårfrytle (*Luzula pilosa*). Ofte med dominans

av skrubbær (*Comus suecica*) og innslag av perle-vintergrønn (*Pyrola minor*) i høyereleggende områder.

- Gras- og urterike bjørkeskoger påvirket av beite.** Viktige arter i den noe friskere og mer næringskrevende utformingen er engvein (*Agrostis capillaris*), gulaks (*Anthoxanthum odoratum*), smyle (*Deschampsia flexuosa*), sølvbunke (*D. cespitosa*), storfrytle (*Luzula sylvatica*), engfrytle (*L. multiflora*), slåttestarr (*Carex nigra* ssp. *nigra*), bleikstarr (*C. pallescens*), skogsnelle (*Equisetum sylvaticum*), einstape (*Pteridium aquilinum*), stri kråkefot (*L. annotinum*), tepperot (*Potentilla erecta*), marikåpe (*Alchemilla vulgaris*), firkantperikum (*Hypericum maculatum*), krypsoleie (*Ranunculus repens*) og engsoleie (*R. acris*). Ved noe mer næringstilsig vokser kvitveis (*Anemone nemorosa*) og engsyre (*Rumex acetosa*). Bringebær (*Rubus idaeus*) slår opp på hogstflater, og i noe rikere sig finnes små bestander av gråor (*Alnus incana*).
- Bregnerik bjørkeskog** finnes bare flekkvis i bratte og fuktige lier, på relativt høyt nivå. Viktigste arter er smørteg (*Oreopteris limbosperma*), saueteig (*Dryopteris expansa*), skogburkne (*Athyrium filix-femina*) og bjønnkam (*Blechnum spicant*). Vegetasjonstypen er relativt fattig på urter. Generelt synes utformingene, sammenlignet med storbregnebjørkeskoger andre steder på Vestlandet, nokså næringsfattige.
- Edellauvskogen** bak Brommelandsgardene er sterkt kulturpåvirket av både beite og stedvis treslagsskifte til gran. Den står på rasmark under næringsfattig fjell på brunjord. Få næringskrevende arter indikerer imidlertid et relativt næringsfattigt jordsmonn. For arter se under flora og artsdiversitet. De mest næringskrevende artene er funnet i sigevannspåvirket vegetasjon.

Bakkemyr og ombrotrofe myrelementer

Myr finnes hovedsakelig som fattige bakkemyrer på skinn Jord og dekker generelt små areal i begge nedslagsfeltene. De er mest utbredt på slakere skråninger over skoggrensa, særlig nedenfor Hanakamstølen og på Søteheia i Brommelandsbekkens nedslagsfelt. Her veksler de med små flekker av ombrerotrof myr, dominert av røsslyng (*Calluna vulgaris*). Andre arter i disse mosaikkvekslende myrflatene er bjønneskjegg (*Trichophorum cespitosum*), finnskjegg (*Nardus stricta*), kornstarr (*Carex panicea*), torvull (*Eriophorum vaginatum*), duskull (*E. angustifolium* ssp. *angustifolium*), smal soldogg (*Drosera anglica*), molte (*Rubus chamaemorus*), lusegras (*Huperzia selago* ssp. *selago*) og krypvier (*Salix repens*), blokkebær (*Vaccinium uliginosum*), kvit-bladlyng (*Andromeda polifolia*) og rypebær (*Arctostaphylos alpina*). Innslaget av torvmoser på flatene nedenfor Hanakamstølen er lite på grunn av en relativt skinn og mineralholdig torv. På Søteheia er imidlertid torvmose-dekningen svært høy, og torvmektheten er betraktelig større. Dvergbjørk (*Betula nana*) er vanlig i høyereleggende strøk og vokser både ombrerotroft og minerotroft på myrene.

I kantsoner og mosaikker i skog er bakkemyrene dominert av bjønneskjegg (*Trichophorum cespitosum*), rome (*Narthecium ossifragum*), blåtopp (*Molinia caerulea*), og torvmoser, særlig vortetorvmose (*Sphagnum papillosum*) og furutorvmose (*S. capillifolium*). Arter som klokkeling (*Erica tetralix*), kvitlyng (*Andromeda polifolia*), tepperot (*Potentilla erecta*) og småtranebær (*Vaccinium oxycoccus* ssp. *microcarpum*) er vanlige.

I Grovbekkens nedslagsfelt er det en større flatmyr i nedre deler av nedslagsfeltet, men denne er drenert og holder på å vokse igjen til skog.

Fjellvegetasjon

Områdene over skoggrensa er lite undersøkt. Ved Hanakamstølen er det i tilknytning til bakkemyrer større områder med artsfattig røsslyngdominert heivegetasjon og innslag av dvergbjørk. I brattere skråninger går disse typene over i blåbærmarker og grasdominert beitet vegetasjon. De fleste av disse vegetasjonstypene er såkalte leside-utforminger av fjellvegetasjon.

I de høystiggende områdene på Søteheia (780–860 m o.h.) er det mye bart fjell med skrinne løsmasser mellom nakne bergpartier. Her finnes rabbevegetasjon der det vanligvis er et tynt og ustabilt snødekket. Vegetasjonen synes å være en utforming av plantesamfunnet greplyng-lav/moserabb (Fremstad 1997). Trolig er det den vestlige heigråmosestivstarr utformingen som er vanligst, men et relativt jevnt innslag av lav og greplyng (*Loiseleuria procumbens*) i heiene gir vegetasjonen et noe østlig preg. Plantedekket er artsfattig og lavvokst med et åpent feltsjikt dominert av krypende, forvedede arter og noen graminider. Greplyng (*Loiseleuria procumbens*), rypebær (*Arctostaphylos alpina*), fjellkrekling (*Empetrum nigrum* ssp. *hermafroditum*) og blåbær (*Vaccinium myrtillus*) er vanlig på rabbene. I bunnspjiktet vokser islandslav (*Cetraria islandica*), lys reinlav (*Cladonia arbuscula*) og pigglav (*Cladonia uncialis*), samt kvitkrull (*Cladonia stellaris*).

4 Metoder og materiale

4.1 Vegetasjonsøkologisk design og feltmetoder

Analysefelter og analyseruter

De undersøkte områdene består av tiltaksområdet (Brommelandsbekken) og referanseområdet (Grovbekken). Ti overvåkingsfelter er lagt ut i begge områdene før kalking i vegetasjonstypene barskog (furuskog/granplantefelt) og lauvskog (bjørkeskog). Det er benyttet tilnærmet den samme metodikk som i »Program for terrestrisk naturovervåking» – TOV (Eilertsen & Often 1994) og i kalkingsprosjektet i programmet »Miljøtiltak i skog» (jf. Nilsen 1995).

Analysefeltene er 10 x 5 m store. Disse ble lagt ut subjektivt for å dekke opp de vanligste vegetasjonsutformingene i tiltaksområdet. Deretter ble analysefelter lagt ut i referanseområdet i tilnærmet like vegetasjonstyper. De fleste feltene er lagt ut i relativt homogen vegetasjon uten store grader i artssammensetningen, men variasjonen innen feltene er likevel større enn i Flekke-Guddal (Arrestad & Brevik 1998, Arrestad et al. 1999). Variasjonen i vegetasjonen er dekket opp ved valg av ulike vegetasjonstyper.

Innen hvert felt ble det tilfeldig lagt ut fem 1 x 1 m store analyseruter (mesoruter), totalt 50 ruter i tiltaksområdet og 50 ruter i referanseområdet. Disse rutene er merket med en pinne i nedre venstre hjørne og permanent merket med aluminiumsør i hvert av hjørnene. Følgende kriterier ga grunnlag for forkastning av lokaliseringen: 1) forekomst av trær innen ruta, 2) analyseruter skal ikke bli liggende ved siden av hverandre eller ha felles hjørner, 3) stein eller bart fjell skal ikke dekke mer enn 20 % av rutas areal, 4) forekomst av skrenter og topografiske forhold som gjør det umulig å plassere analyseruta. Erstatningsrutenes posisjoner ble trukket etter samme objektive kriterier som i de opprinnelige rutene.

Ruteanalyser

Mesolutene ble analysert for arter, artsmengde og artssammensetning av karplanter, moser og lav. Artmengde ble registrert både med prosent dekning og ved frekvensmetodikk, basert på forekomst/fravær av arter i 16 subruter à 25 x 25 cm (mikroruter). For registrering av arter i subrutene er det angitt om arten er rotfestet eller ikke. Mikrorutene er nummerert fra 1 til 16 med start i nederste venstre hjørne i mesoruta, med forløpende registreringer mot høyre.

Eventuelle skader på vegetasjon ble registrert.

Nomenklatur

Nomenklaturen i analysearbeidet følger Lid & Lid (1994) for karplanter, Frisvoll (1995) for moser og Krogh et al. (1994) for lav. Vedlegg 4 gir en oversikt over artsnavn med forkortelser benyttet i tabeller og ordinasjoner.

Miljøvariabler

Miljøvariabler som helling, jorddybde og sjiktdekninger ble registrert for hver analyserute, se tabell 1. Helling (Slope) ble målt ved å legge et klinometer direkte på analyseramma etter at denne var justert etter terrenget, og angitt i grader. Jorddybde (Soil dep) ble målt i 8 punkter, 2 på hver side av de 4 sidene av analyseramma, i en avstand av 10 cm utenfor mesoruta. Gjennomsnittsverdi ble regnet ut.

Prøver av humuslaget ned til 5 cm ble samlet inn for hver analyserute. Disse ble tatt ved hjelp av flere stikk rett utenfor ruta i tilsvarende vegetasjon som inne i ruta og blandet til en samleprøve representativ for analyseruta.

4.2 Jordkjemiske analyser

Alle jordprøvene er behandlet og analysert av NISK for pH (H_2O og $CaCl_2$ ekstraksjon), glødetap (LOI), og NH_4NO_3 -ekstraherbare kationer etter metoder beskrevet i Ogner et al. (1991).

Jordprøvene ble ekstrahert med 1M NH_4NO_3 , titrert for utbyttbar aciditet og analysert på ICP (inductively coupled plasma emission spectroscopy) for utbyttbare ioner og ekstraherbare elementer (Al, B, Ba, Be, C, Ca, Fe, K, Li, Mg, Mn, Na, P, S, Sc, Sr, og Zn). Utbyttingsskapasitet av kationer (CEC) ble regnet ut i henhold til $CECNH_4NO_3 = \text{utbyttbar aciditet} + Na^+ + K^+ + Ca^+ + Mg^+ + Mn^+$ (mmol(p+)/kg) jord. Basemetning (BS) ble regnet ut i henhold til $BSNH_4NO_3 = (Na^+ + K^+ + Mg^+ + Ca^+)/CECNH_4NO_3 \times 100\%$.

Kieldahl total nitrogen og total karbon ble analysert ved Norges landbrukshøyskole, institutt for jord og vannfag.

4.3 Behandling av vegetasjonsdata

Vegetasjonsdata ble innlest ved hjelp av programmet PC-BOTPROG ved NINAs database for lagring og numerisk behandling. Standardisering ved veiling av matriseelementer og nedveiling av sjeldne arter (se nedenfor) ble utført ved hjelp av programpakken BDP (Biological Data Program/PC) Pedersen (1988). Alle data ligger tilgjengelig i NINAs database i Trondheim.

Standardisering ved veiling av matriseelementer

Skalaen for artenes mengdeangivelse har i utgangspunktet en rekkevidde $r = 16$ for smårutefrekvens-datasettet og $r = 100$ for dekningsgrads-datasettet. Dette gir en vesentlig forskjellig vektlegging av dominanter i de to datasettene. Da ordinasjonsresultater varierer med skalarerekkevidder (Eilertsen et al. 1990) har vi valgt å sette $r = 16$ for begge datasettene, noe som gir en moderat vektlegging av dominanter (Smartt et al. 1974a, 1974b, Jensén 1978, Økland 1986). For å redusere rekkevidden på prosentdekningsdatasettet har matriseelementer blitt veiet. Dette er utført ved hjelp av følgende "power function" (van der Maarel 1979, Clymo 1980):

Tabell 1. Oversikt over miljøparametere med forkortelser og enheter
Survey of environmental variables with abbreviations and units.

Miljøvariabel	Environmental variable	Enhet/Unit
Slope	Helning	Slope
Soil dep	Jorddybde	Soil depth
CC	Dekning feltsjikt	Cover of field layer
LOI	Glødetap	Loss-on-ignition
pH 1	pH (H ₂ O - uttrekk)	pH (H ₂ O - extraction)
pH 2	pH (CaCl ₂ -uttrekk)	pH (CaCl ₂ -extraction)
N	total nitrogen	total N
Tot C	total karbon	total C
H	utbyttbart H	exchangeable H
Al	utbyttbart Al	exchangeable Al
C	ekstraherbart C	extractable C
Ca	utbyttbart Ca	exchangeable Ca
Fe	utbyttbart Fe	exchangeable Fe
K	utbyttbart K	exchangeable K
Mg	utbyttbart Mg	exchangeable Mg
Mn	utbyttbart Mn	exchangeable Mn
Na	utbyttbart Na	exchangeable Na
P	ekstraherbart P	extractable P
S	ekstraherbart S	extractable sulphur
Zn	utbyttbart Zn	exchangeable Zn
CEC	utbyttingskapasitet	cation exchange capacity
BS	basemetning	base saturation

$$y_{ij} = f(x_{ij}) = a \cdot x_{ij}^w$$

der x_{ij} er de opprinnelige og y_{ij} de veierte verdiene av art i i analyserute j , a er en rekkevidde-skalar og w en veie-parameter. w fremkommer ved å dividere \ln til den nye rekkevidden med \ln til den opprinnelige. For prosent-deknings-datasettet ble således $w = \ln 16 / \ln 100 = 0,6$.

Nedveiing av sjeldne arter

Enkelte arter med lav frekvens i totalmaterialet vil kunne få en tilfeldig plassering i ordinasjonsplottet. Dersom disse blir gitt for stor vekt, vil de redusere strukturen i materialet, bidra til støy (bias) eller opptre som avvikere (outlayers). En vanlig måte å redusere støyen på er å fjerne disse artene. Problemet er at en reduserer noe av strukturen når lavfrekvente arter med noe økologisk informasjon elimineres. En måte å beholde alle artene på, og likevel redusere betydningen av lavfrekvente arter, er å foreta nedveiing av disse. Det har vært diskutert hvor velegnet nedveiingsoppsjonen i CANOCO (ter Braak 1988, 1990) er. Eilertsen & Pedersen (1989) har foreslått en alternativ nedveiingsprosedyre, der nedveieningen blir utført på alle arter med lågere frekvens enn medianfrekvensen, istedenfor standardoppsjonen på 20 % av maksimalfrekvensen. I BDP er algoritmen for median nedveiing etter Eilertsen et al. (1990) lagt inn;

$$v_i' = (F_i/F_m)^n \cdot v_i$$

der v_i' er den nye og v_i opprinnelige verdien til art i , og n er en positiv skalar som bestemmer graden av nedveiing av lavfrekvente arter. I dette arbeidet har vi valgt å sette $n = 1$. Den nye verdien av v_i' gjør at vi beholder lavfrekvente arter og gir dem lavere vekt, men kan utnytte deres økologiske informasjon (Westhoff & van der Maarel 1978).

Etter standardisering og nedveiing ble det opprettet "Cornell Condensed Files" (CCF-filer) som input til ordinasjonsprogrammene.

4.4 Behandling av miljøvariabler

Miljøvariablene ble innlest ved hjelp regneark og er tilgjengelige ved NINAs database i Trondheim.

4.5 Indirekte ordinasjon

DCA-ordinasjon

Indirekte gradientanalyse (Detrended Correspondence Analysis, DCA - Hill (1979), Hill & Gauch (1980) er benyttet for å vise de viktigste vegetasjonsgradientene i materialet, og for å sammenligne artssammensetningene i analyse-rutene i tiltaksområdet med de i referanseområdet. Ordina-

sjonen er utført ved hjelp av programpakken CANOCO versjon 4.0 (ter Braak 1988, 1990; ter Braak & Smilauer 1998), og ordinasjonsdiagrammer er laget ved hjelp av ArcView (ESRI Inc 1996a).

Ordinasjon ordner analyseruter langs matematiske akser basert på artssammensetningen i analyserutene. Dette visualiseres i diagrammer der analyserutene er representert som punkter langs aksene i et todimensjonalt rom, et såkalt *routeordinasjonsdiagram*. Punkter som ligger nær hverandre svarer til analyseruter som har relativ lik artssammensetning, mens punkter som ligger langt fra hverandre representerer analyseruter som er svært forskjellige i artssammensetning. Artenes relasjoner til analyserutene vises i et *artsordinasjonsdiagram* der arter som er plassert til venstre i diagrammet karakteriserer de analyserutene som er plassert til venstre i routeordinasjons-diagrammet. Tilsvarende vil de arter som er plassert øverst/nederst til høgre i artsordinasjonen karakterisere de rutene som er plassert øverst/nederst til høgre i routeordinasjonen.

Ordinasjonsaksene er skalert i såkalte standardavvik-enheter (SD-enheter). Disse SD-enhetene fremkommer ved beregning av gjennomsnittlig standardavvik for alle artene i materialet, gitt tilnærmet normalfordelt artsrespons. En art vil stort sett komme inn, nå sitt optimum og forsvinne i løpet av 4 SD-enheter. Ordinasjonsaksenes lengde kan således tolkes som et mål på gradvis endring av artssammensetning langs gradienter.

To datasett ble benyttet i DCA-analysene:

- Nedveid frekvensdatasett på 100 analyseruter, der artsmengder ble angitt med smårutefrekvensverdier.
- Standardisert og nedveid prosentdatasett på 100 analyseruter, der artsmengder ble angitt med prosent dekningsverdier.

I begge analysene ble opsjonene for «detrending» med segmenter og ikke-lineær reskalering valgt. Dette for å hindre negativ bueffekt og kanteffekt (jf. Økland 1990).

4.6 Korrelasjonsanalyser

For å se på relasjoner mellom vegetasjonens sammensetning og miljøvariabler er det utført korrelasjonsanalyser mellom miljøvariabler og DCA-akseverdier (se f.eks. Økland & Eilertsen 1993, T. Økland 1996).

Korrelasjonsanalyser ble utført mellom miljøvariabler og DCA-akseverdier, og innbyrdes mellom miljøvariabler. I programpakken SPSS ble den ikke-parametriske korrelasjonsanalyesen basert på Kendalls τ benyttet (Conover 1980). A.R.E. (asymptotic relative efficiency) for denne testen er beskrevet hos Stuart (1956). Fenstad et al. (1977) fremhever bruken av Kendalls τ når den underliggende fordelingen er ukjent. Korrelasjonskoeffisienten som ble nytta for å teste uavhengigheten mellom to tilfeldige variabler, X og Y, var følgende:

$$\tau = \frac{N_C - N_d}{n(n-1)/2}$$

der N_C angir antall konkordante par av observasjoner, N_d antall diskordante par, og n er antall observasjoner (Conover 1980). I den tosidige testen er nullhypotesen definert som følger:

$$H_0: X_i \text{ og } Y_j \text{ er gjensidig uavhengige}$$

Den alternative hypotesen, H_1 , uttrykker at de ikke er gjensidig uavhengige.

4.7 Geografiske informasjons-systemer - GIS

GIS er blitt inkludert som verktøy i vegetasjonsovervåkingen, og arealdekkende 10 meters terrenngmodeller er under utarbeiding for alle 3 kalkingsfeltene (Suldal, Flikke-Guddal og Gjerstad). Ulike GIS-metoder er relativt nye for vegetasjonsøkologer, og vi har derfor valgt å presentere en del grunnleggende metodikk.

GIS er en fellesbetegnelse for både hardware og software systemer for behandling av stedfestet informasjon. GIS består i hovedsak av (1) innsamling av data, (2) lagring av data i databaser, (3) editering, transformering og oppdatering av data, (4) søk på dataenes egenskaper eller lokalisering, (5) analyse og (6) presentasjon av analyseresultater (Burrough 1986). Vi skiller mellom to måter å visualisere og lagre data på, vektor- og rasterdatastruktur. Vektorstruktur lagrer, som navnet tilsier, alle kartdata som vektorer. Analysering av vektor data ved overlagring er komplisert på grunn av opprettelse av mange små uønskede polygoner langs overlagrede objekter (f.eks. Burrough 1986). Rasterdatastruktur er bygd opp av små bildelementer kalt pixler (picture elements) eller celler. Alle pixler er tilknyttet en database med egenskaper. Rasterstruktur ved samme pixelstørrelse forhindrer uønskede polygoner ved overlagring og forenkler sammenligninger med andre kartdata (se f.eks. Jones 1997). I Suldal er alle analyser gjort ved pixelstørrelse 10 x 10 meter.

Utdeling av en digital høydemodell

Høydemodellen er utarbeidet fra digitalt vektoriserte ØK-kart som dekker overvåkingsområdet i Suldal. Ut fra høydekotene, (i realiteten høydepunktene) med ekvidistanse 5 meter, ble det etablert en høydemodell i rasterdatastruktur. Denne prosedyren, å estimere verdier til en egenskap innenfor et gitt område med eksisterende observasjoner, kalles for romlig interpolasjon (jf. Matheron 1971). Det finnes mange ulike interpolasjonsprosedyrer, en oversikt er gitt hos Ripley (1981) og Webster (1985). De fleste metodene har algoritmer med utgangspunkt i punktobservasjoner. Punktsvermen brukt til interpolasjon av høydekotene har sin opprinnelse i digitaliseringen av høydekurvene. Hvert punkt som er avsatt under digitali-

seringen av høydekoten danner utgangspunktet for punkt-observasjonene. Denne punktsvermen brukes i interpolasjonen av celleverdier i rastermodellen. Således vil nøyaktigheten under digitaliseringen påvirke antall observasjoner og dermed nøyaktigheten i modellen (Burrough 1986).

For å etablere høydemodellen for Suldal er det brukt en interpoleringsmetode kalt kriging (Krieger 1967; Matheron 1971; Giltrap 1983). Teorien bak kriging tar utgangspunkt i regionaliserte variabler. En regionalisert variabel har egenskaper som både finnes hos tilfeldige variabler og fullstendig deterministiske variabler. Egenskapen forandres langs en romlig eller temporær skala (Krieger 1967). Topografien i et terrenget kan ses på som en regionalisert variabel i og med at punkter ofte er romlig korrelert over korte avstander, mens punkter over lange avstander har en tendens til å være statistisk uavhengige (Davis 1988). Kriging tar i bruk en analyse av de romlige korrelasjonene til punktsvermene før interpolering. Graden av romlig kontinuitet til en regionalisert variabel kan bli uttrykt i et semivariogram (Legendre & Fortin 1989). Et semivariogram er et plott for semivarians mellom celler i ulik avstandsklasser.

For celler som er adskilt med en distanse på h enheter er definisjonen av semivarians gitt ved:

$$\gamma = \frac{1}{2} \text{var}[Z(x+h) - Z(x)]$$

Semivariansen γ er halve variansen av forskjellen mellom verdier på steder som er adskilt med avstand h . Vektoren h kalles for lag.

Semivariansen øker ofte gradvis opp til et punkt hvor den flater ut (ikke nødvendigvis). Sill er verdien for semivariansen etter at den har flatet ut. Range er punktet der semivariansen flater ut, dvs for hvilken lag (h) semivariansen flater ut. Innenfor range er punktene korrelert og det er naturlig å bruke punkter i interpoleringen som er kortere avstand fra den cella som skal estimeres enn range. Nugget er ikke romlig korrelert støy i materialet. Man kan bruke en matematisk tilnærming av semivariogrammet for videre analyse. Det finnes flere modeller for å tilpasse en matematisk funksjon til et semivariogram (Jongman et al. 1987). Modeller som inkluderer sill i semivariogrammet er (1) kulemodell, (2) lineær modell, (3) eksponentiell modell og (4) gaussisk modell. Modeller uten sill er (5) lineær modell og (6) logaritmisk modell. I utregning av høydemodellen er modell (3) brukt.

Semivariansen i to dimensjoner ved avstand h eller lag h regnes ut fra alle par punkter mellom diameteren i to sirkler. Estimering av verdi i en rastercelle skjer ved at punkter i ulike avstandsklasser tillegges ulik vekt. Kriging bruker informasjon fra semivariogrammet for å finne en optimal vektlegging av punktinformasjon i ulike avstandsklasser. Denne prosedyren gir en bedre interpolasjon av punktdata enn andre metoder (jf. Legendre & Fortin 1989; Burrough

1986). Høydemodellen for Suldal er laget i GIS-programmet Surfer (Keckler 1996).

4.8 Visualisering av vegetasjonsanalyser

Analyserutenes geografiske posisjoner er plottet inn i et kart over området. Deretter er rutene koblet opp mot en egenskapsdatabase bestående av innsamlet data om arter, miljøparametre og ordinansjonsresultater, se **vedlegg 6-14**. Ordinasjonsaksene kan tolkes som en gradvis endring av artsammensetning langs gradienter i plantesamfunnet (Jongman et al. 1987). Fargesekvensene i figurene (se **vedlegg 7 og 8**) kan derfor ses på som endringer i artssammensetningen langs disse gradientene. I et GIS-system, for eksempel ArcView (ESRI Inc 1996b), vil brukeren interaktivt kunne kommunisere mellom kartobjektene og databasen ved søk på egenskaper i databasen. Hensikten med visualiseringen er å se egenskapenes fordelinger i terrenget og dermed forenkle tolkninger av innsamlede data. Ordinasjonsdiagram er tilsvarende koblet opp mot databasen slik at det er mulig interaktivt å velge ut analyseruter i diagrammet og få disse selektert i kartet.

5 Resultater

5.1 Beskrivelse av analysefeltet i tiltaksområdet Brommelandsbekken

Felt A–E ligger i en lisode med noe løsmasser og har et generelt rikere og frødigere preg enn de skrinnere feltene G–J.

Felt A - Blåbær-furuskog med innslag av bjørk. Feltet ligger på en kolle av middels grove løsmasser. Den ugunstige eksposisjonen sammen med høye ovenforliggende fjellsider gir et kjølig og fuktig klima med dertil høy jordfuktighet. Jordsmonnet er imidlertid godt drenert og har et typisk podsolprofil. Feltet representerer en artsattig blåbær-furuskog med totaldominans av blåbær (*Vaccinium myrtillus*) og med konstant innslag av tyttebær (*Vaccinium vitis-idaea*) og smyle (*Deschampsia flexuosa*). Andre frekvente arter i feltsjiktet er røsslyng (*Calluna vulgaris*), linnea (*Linnea borealis*), stormarimjelle (*Melampyrum pratense*) og maiblom (*Maianthemum bifolium*). Bunnssjiktet er særlig tett, 80–90 % dekning, og domineres av etasjemose (*Hylocomium splendens*). I fuktigere partier vokser vortetormose (*Sphagnum capillifolium*) i tette tuver. Andre karakteristiske arter er furumose (*Pleurozium schreberi*), kystkransmose (*Rhytidadelphus loereus*), storsigd (*Dicranum majus*) og fjørmosse (*Ptilium crista-castrensis*).

Felt B - Urte-/grasdominert bjørkeskog med grårør. Feltet ligger rett ved felt A i et sigevannspåvirket drog, og vegetasjonen er trolig i en gjengroingsfase fra tidligere beitemark med gras og urtedominans. Grårørbusker og flere svakt næringskrevende og til dels svakt nitrogenkrevende arter som kvitveis (*Anemone nemorosa*), skogfiol (*Viola riviniana*), myrfiol (*V. palustris*), bringebær (*Rubus idaeus*) og småbregner er karakteristiske for plantesamfunnet. I bunnssjiktet finnes flere næringsindikatorer som stor-kransmose (*Rhytidadelphus triquetrus*), stortaggmose (*Atrichum undulatum*), stortujamose (*Thuidium tamariscinum*) og kysttornemose (*Mnium homom*).

Felt C - Blåbær- småbregnebjørkeskog. Feltet ligger i en eldre bjørkeskogsbestand i nordvendt lisode påvirket av svakt næringsrikt sigevann. Det inneholder flere lågurter som kvitveis (*Anemone nemorosa*), maiblom (*Maianthemum bifolium*), gaukesyre (*Oxalis acetosella*), tepperot (*Potentilla erecta*), linnea (*Linnaea borealis*) og kystmaure (*Galium saxatile*), men mangler det nitrofile sigevannspreget som vist i felt B.

Felt D er også lokalisert i et bjørkeskogsområde, men substratet er mer blokkrikt enn i felt B og C. Dette gir et relativt artsattig feltsjikt dominert av blåbær (*Vaccinium myrtillus*) og smyle (*Deschampsia flexuosa*) og noen bregner. Den brutte mikrotopografiens skapt av blokker og stein gir mange nisjer for moser som krever lite lys og stor luftfuktighet. Antall levermoser er derfor høyt. Her kan

nevnes heimose (*Anastrepta orcadensis*), prakthinnemose (*Plagiochila asplenoides*), totannblonde (*Chiloscyphus coadunatus*), stubbeblonde (*C. profundus*), bekkeblonde (*C. polyanthos*) og grokornflik (*Lophozia ventricosa*),

Felt E ligger i et granplantefelt i en slak skråning i nordeksponert dalside rett ved felt A. Plantefeltet er opprinnelig en blandingskog av bjørk og furu av middels fattig karakter. Grantrærne står tett og slipper lite lys ned på bakken. I kombinasjon med et surt barnålstrø gir dette et svært artsattig og lite dekkende feltsjikt (1–15 % dekning). De eneste artene som er observert i rutene er bjønnkam (*Blechnum spicant*), saueteig (*Dryopteris expansa*), blåbær (*Vaccinium myrtillus*), smyle (*Deschampsia flexuosa*), rogn (*Sorbus aucuparia*) og kystmaure (*Galium saxatile*). Bunnssjiktet er noe mer utviklet og dekker 20–60 % i rutene, alt etter tilgang på lys. Det er også et relativt høyt antall moser (10–18 i hver rute). Stedvis forekommer erosjon og blottlegging av røtter.

Felt F er også lagt ut i et granplantefelt. Plantefeltet står på en blanding av fluvialt materiale og rasmateriale på en elveør der Brommelandsbekken renner forbi på begge sider av feltet. Ellevannet gir et relativt konstant høyt vannivå i jorda. Noen av rutene ligger også lysåpent til og artsdiversiteten er derfor noe høyere her enn i felt E. Her kan nevnes arter som smørteig (*Oreopteris limbosperma*), hengeving (*Phegopteris connectilis*), fugleteig (*Gymnocarpium dryopteris*), skogstjerne (*Trientalis europaea*), gaukesyre (*Oxalis acetosella*) og kvitveis (*Anemone nemorosa*). Både feltsjikt og bunnssjikt har større dekning enn i felt E, og svakt næringskrevende moser som storkransmose (*Rhytidadelphus triquetrus*), stortujamose (*Thuidium tamariscinum*) og kysttornemose (*Mnium homom*) er vanlige.

Felt G - Tørr røsslyng-furuskog. Feltet ligger på en bergknaus med god lysinnstråling og spredte småvokste furutrær. Jordsmonnet er særlig skrint og plantene som vokser her må tåle store variasjoner i jordfuktighet, særlig lang tids tørke. Feltsjiktet er hovedsakelig dominert av røsslyng mens bærlyngarter er konstante. Einer finnes spredt i busksjiktet. I små konkavé partier på bergoverflaten akkumuleres det humus, og her finnes fuktighetsindikatorer som bjønnskjegg (*Trichophorum cespitosum*) og blåtopp (*Molinia caerulea*). Bunnssjiktet er karakterisert av tørketårende lavarter (hovedsakelig *Cladonia*-arter), flettemoser (trolig mest *Hypnum jutlandicum*), heigråmose (*Racomitrium lanuginosum*), ribbesigd (*Dicranum scoparium*) og krussigdmose (*D. polysetum*).

Felt H - Fuktig rome-bjønnskjeggfuruskog. Feltet ligger i en skråning i en forsenkning mellom tørre koller. Jordsmonnet er relativt tynt og konstant fuktig og består av mer eller mindre nedbrutt torv over berggrunn. Foruten rome (*Narthecium ossifragum*) og bjønnskjegg (*Trichophorum cespitosum*) er blåtopp (*Molinia caerulea*), duskull (*Eriophorum angustifolium* ssp. *angustifolium*), pors (*Myrica gale*), klokkeling (*Erica tetralix*), kvitlyng (*Andromeda polifolia*), tyttebær (*Vaccinium vitis-idaea*) og røsslyng

Calluna vulgaris) viktige arter i feltsjiktet. Bunnsjiktet har liten dekning og artsdiversiteten er lav. Viktigste torvmoser er furutorvmose (*Sphagnum capillifolium*) og vortetorvmose (*S. papillifolium*), ellers finnes ribbesigd (*Dicranum scoparium*) og flettemose (*Hypnum* sp.).

Felt I - Fuktig røsslyng-blokkebærfuruskog. Feltet ligger i en skråning i samme kollekomplekset som felt G og H. Akkumulasjonen av torv er noe høyere enn i felt H da torvmoser her er mer dominerende i bunnsjiktet. Topografien er også mer tuepreget og gir en større variasjon i fuktighetsforhold. Vegetasjonstypen er karakterisert av et lyngdominert feltsjikt bestående av røsslyng (*Calluna vulgaris*), blåbær (*Vaccinium uliginosum*), blåbær (*V. myrtillus*), men kvitlyng (*Andromeda polifolia*) og tyttebær (*Vaccinium vitis-idaea*) er også relativt konstante arter. Bunnsjiktet har høy dekning og er hovedsakelig dominert av furutorvmose (*Sphagnum capillifolium*) og flettemose (*Hypnum* sp.). Den varierte mikrotopografiens gir grobunn for flere levermoser som skogskjeggmose (*Barbilophozia barbata*), lyngskjeggmose (*B. flerkei*), storhoggtann (*Tritomaria quinque-dentata*), heimose (*Anastrepta orcadensis*) og storstylte (*Bazzania trilobata*).

Felt J - Blåbær-furuskog med innslag av tørre lavdominerte flater. Feltet ligger på en sør-østekspontert berghylle med varierende jorddekke. På dypere jordsmonn vokser velutviklet fattig blåbær-furuskog med tuepreg i skogbunnen. Blåbær (*Vaccinium myrtillus*) og etasjemose (*Hylocomium splendens*) har høy dekning og konstante arter er tyttebær (*Vaccinium vitis-idaea*) og stormarimjelle (*Melampyrum pratense*). I den tuepregete topografiens er det særdeles gode vokseforhold for levermosen (*Bazzania trilobata*), som er en karakteristisk art for den vestnorske utformingen av blåbær-furuskog. Arten har sitt optimum i de nedre deler av tuene, ofte i nordlige eksposisjoner med relativt god luftfuktighet og skume lysforhold. De tørre lavdominerte flatene ligger på skrinn jord rett på berg og domineres av røsslyng (*Calluna vulgaris*), grå reinlav (*Cladonia rangiferina*) og flettemose (*Hypnum* sp.)

5.2 Beskrivelse av analysefeltet i referanseområdet Grovbekken

Felt K - Fuktig rome-bjørnnskjeggfuruskog. Feltet tilsvarer felt H i tiltaksområdet og består av en småvokst furuskog på svært tynt jorddekket som i regnperioder er konstant påvirket av sigevann fra nærliggende bart fjell. Røsslyng (*Calluna vulgaris*) er den dominerende lyngtypen, mens klokkeling (*Erica tetralix*) og bærlyngarter (*Vaccinium* spp.) forekommer med lav dekning. Området bærer elles preg av gjengroing med einer (*Juniperus communis*), trolig etter et tidligere høyere beitetrykk. De mest dominerende artene i feltsjiktet er rome (*Narthecium ossifragum*), bjørnnskjegg (*Trichophorum cespitosum*) og blåtopp (*Molinia caerulea*). Bunnsjiktet er preget av arter som tåler store variasjoner i jordfuktighet, under nedbørsperioder og lengre tørkeperioder. Dvergtorvmose (*Sphagnum tenellum*) er

karakterart (jf. romedominert vegetasjon i Flekke-Guddal, Arrestad et al. 1999), mens tørketålende arter som heigråmose (*Racomitrium lanuginosum*) og flere lavarter, særlig kystreinlav (*Cladonia portentosa*), er vanlige i utforminga. Feltet skiller seg noe fra felt H ved at pors (*Myrica gale*) mangler, og ved lavere dekning av torvmoser.

Felt L - Tørr røsslyng-furuskog. Feltet tilsvarer felt G i tiltaksområdet og ligger på toppen av en bergknaus med mye skrinn jord over bart fjell. I forsenkninger i berggrunnen er det akkumulering av tynn humus/torv med større torvmosematter. Feltet representerer en skrinn og tørr vegetasjonsutforming med særdeles få arter. Røsslyng (*Calluna vulgaris*) og blåbær (*Vaccinium myrtillus*) dominerer i feltsjiktet med innslag av krekling (*Empetrum nigrum*) og tyttebær (*Vaccinium vitis-idaea*). Stormarimjelle (*Melampyrum pratense*) er eneste observerte urt i rutene. Flettemose (trolig *Hypnum jutlandicum*) er den mest frekvente mosen og vokser sammen med ribbesigd (*Dicranum scoparium*), furumose (*Pleurozium schreberi*), heigråmose (*Racomitrium lanuginosum*) og en mengde *Cladonia*-arter, der kystreinlav (*Cladonia portentosa*) er den vanligste arten sammen med pigglav (*Cladonia uncialis*). Torvmosemattene består hovedsakelig av furutorvmose (*Sphagnum capillifolium*).

Felt M - Fuktig røsslyng-blokkebærfuruskog. Feltet tilsvarer felt I i tiltaksområdet. Det ligger på en svakt skrånende berghylle/bergknaus med dårlig drenering og akkumulasjon av torvholdig jord. Dvergbusksjiktet er dominert av blåbær (*Vaccinium uliginosum*) og blåbær (*V. myrtillus*). Ellers er det et jevnt innslag av røsslyng (*Calluna vulgaris*), tyttebær (*Vaccinium vitis-idaea*), klokkeling (*Erica tetralix*) og krekling (*Empetrum nigrum*). Vegetasjonstypen er elles karakterisert av et fåttal gras og urter og et artsfattig mosedekke, der furutorvmose (*Sphagnum capillifolium*) ofte kan være totaldominerende.

Felt N ligger i et yngre granplantefelt på en flate med relativt god lysinnstråling. Det skal tilsvare felt E og F i tiltaksområdet. Det mangler desverre småbregneutforming (jf. felt F) og inneholder få karplanter, hovedsakelig blåbær (*Vaccinium myrtillus*) og smyle (*Deschampsia flexuosa*). Feltet er således mest likt felt E. Mosedekket er imidlertid bra utviklet der etasjemose (*Hylocomium splendens*) er dominant art, sammen med kystjammemose (*Plagiothecium undulatum*), flere sigdmoser (*Dicranum* spp.) og levermoser.

Felt O - Blåbær-furuskog. Feltet skal tilsvare felt J i tiltaksområdet og ligger i en tuepreget furuskog med høy dominans av blåbær (50–80 % dekning). Bunnsjiktet er velutviklet (50–90 % dekning) og er dominert av etasjemose (*Hylocomium splendens*) med flekkvis tuer av furutorvmose (*Sphagnum capillifolium*). Andre viktige moser er furumose (*Pleurozium schreberi*), kystjammemose (*Plagiothecium undulatum*), storsigd (*Dicranum majus*) og storstylte (*Bazzania trilobata*).

Felt P - Urte-/grasdominert bjørkeskog med gråor. Feltet tilsvarer felt B i tiltaksområdet og er det mest næringskrevende i referanseområdet. Det ligger på sigevannspåvirket løsmateriale i svakt hellende skråning ved bekk. Jordsmønnet er godt omdannet humus med relativt høy jordfuktighet. Feltsjiktet er særdeles artsikt med et tyvetalls arter, der både bregner, graminider og urter preger artsammensetningen. Karakteristiske arter er hengeving (*Phegopteris connectilis*), fugletelg (*Gymnocarpium dryopteris*), smørtelg (*Oreopteris limbosperma*), slåttestarr (*Carex nigra* ssp. *nigra*), slirestarr (*Carex vaginata*), engkvein (*Agrostis capillaris*), smyle (*Deschampsia flexuosa*), kvitveis (*Anemone nemorosa*), myrfiol (*Viola palustre*), skogfiol (*V. riviniana*), støke (*Angelica sylvestris*), kratt-humleblom (*Geum urbanum*), gaukesyre (*Oxalis acetosella*) og tepperot (*Potentilla erecta*). I bunnsjiktet er det også en høy artsdiversitet, hovedsakelig av fuktighetskrevende moser, der både bladmøser og levermøser er rikt representert.

Felt Q - Blåbær- småbregne-lågurtbjørkeskog. Feltet ligger på motsatt side av bekkens rett ovenfor felt P. Sammenlignet med felt B i tiltaksområdet er dette feltet noe mer gras og urtepreget. I tillegg finnes innslag av større bregner som smørtelg (*Oreopteris limbosperma*) og eins-tape (*Pteridium aquilinum*). Likevel er mye av artssammensetningen den samme som i felt B.

Felt R - Blåbær- småbregnebjørkeskog og blåbær-furuskog. Feltet ligger i en gradient fra en grasdominert småbregne-/lågurt utforming av bjørkeskog med innslag av gråor (*Alnus incana*) til en mer artsfattig blåbær-furuskog. Enkeltrutene varierer sterkt i artssammensetning og feltet har således mye til felles både med felt B, C, og J i tiltaksområdet. Næringsindikatorer her er kvitveis (*Anemone nemorosa*), myrfiol (*Viola palustris*), stortujamose (*Thuidium tamariscinum*) og skogfagermose (*Plagiomyrium affine*).

Felt S er lagt ut i et granplantefelt på en glasifluval grus-/sandavsetning på innmark. Feltet ligger i en relativt bratt skråning med liten lystilgang til bakken som er preget av mye råtnende kvister fra opprinnelig lauvkraft før granplanting. Feltet er ikke optimalt med tanke på sammenligning med granplantefeltene i tiltaksområdet, men det var særdeles vanskelig å finne tilsvarende eldre granplante-felter i Grovbekkens nedslagsfelt. Sammenlignet med tiltaksområdet er dette feltet mest likt felt E, men substratet og helningen på bakken er forskjellig. Artsantallet er lavt, men det likevel mye de samme nøysonne artene som inngår både i felt S og felt E.

Felt T - Blåbær-røsslyngfuruskog. Feltet ligger i en relativt bratt skråning på et lite næringsrikt substrat av større steiner og bart fjell. Blåbær (*Vaccinium myrtillus*) er den dominante arten på dypere jord sammen med tyttebær (*V. vitis-idaea*), mens røsslyng (*Calluna vulgaris*) dominerer på skinnere mark. Analyserutene har likhetstrekk med ruter både i felt B, G og J. Antall moser er langt høyere enn karplanter. Dette er vanlig i de fleste fattige vegetasjons-type i området.

5.3 DCA-ordinasjon

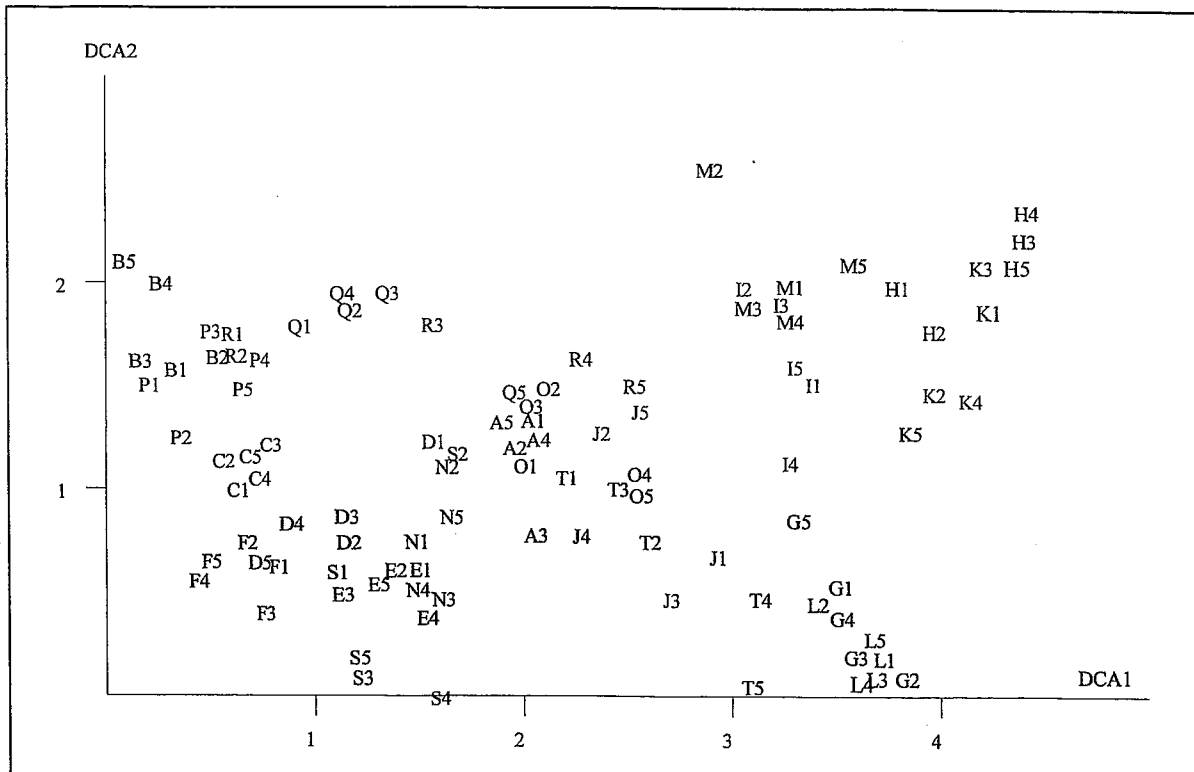
DCA-ordinasjonen av småroutefrekvens-datasettet (vedlegg 2) og prosent deknings-datasettet (vedlegg 3) viste så stor grad av strukturell konformitet at vi for å forenkle resultaten har valgt å legge frekvensdatasettet til grunn for videre analysering.

De 100 analyserutenes posisjon (som er veiet middel av artsscorene) langs de to viktigste DCA-aksene er gitt i figur 5. Førsteaksens gradientlengde er 4,33 SD-enheter og andreaksens er 2,56. Øvrige informasjoner og gradientlenger er gitt i tabell 2.

Angivelse av de 100 analyserutenes områdetilhørighet er gitt i vedlegg 7. Gradienten langs DCA-akse 1 går fra urte-/grasdominert bjørkeskog med gråor, via blåbær- småbregneskog, granplantefelt og røsslyng-furuskog til fuktig rome-bjørnnskjeggfuruskog. Feltene B (urte-/grasdominert bjørkeskog med gråor) og H (fuktig rome-bjørnnskjeggfuruskog) utgjør ytterpunktene langs akse 1. Ingen av vegetasjonstypene langs akse 1 er alene om å trekke ut akse 2. Begge ytterighetene langs DCA-akse 1 har omrent like høye DCA-akse 2 verdier. Derimot har feltene fra blåbær-furuskogen i midten av diagrammet en liten utbredelse langs andreachsen. Langs akse 2 er det forskjellen i floristisk innhold mellom de fuktige feltene B, M og H (sigevannspåvirket urte-/grasdominert bjørkeskog, fuktig røsslyng-blokkebærfuruskog og fuktig rome-bjørnnskjeggfuruskog) og feltene S (granplantefelt), L (tørr røsslyngfuruskog) og T (blåbær-røsslyngfuruskog) som trekker ut aksene. Dette tyder på at vegetasjonens tilgang på fuktighet er en viktig forklarende parameter for ordinasjonens andreake.

Den første aksen ser altså primært ut til å være tilknyttet grader i næring og torvdannelse, som i deler av materialet samvarierer med jordfuktighet. De litt rikere bjørkeskogsutformingene dominerer i den venstre delen av ordinasjonsdiagrammet, mens fattigere og fuktigere røsslyng-furuskogtyper på organisk jordsmonn (torv, råhumus) finnes i den høyre delen av diagrammet. DCA akse 2 ser ut til å være tilknyttet fuktighet.

Figur 6 viser det tilsvarende artsordinasjonsplottet der posisjonen til artenes sentroider er angitt. Artene som er plassert til venstre i plottet karakteriserer de rutene som ligger til venstre i ruteplottet. Tilsvarende vil de artene som er plassert øverst/nederst til høyre i artsplottet karakterisere de rutene som er plassert øverst/nederst til høyre i ruteplottet. Arter som vokser i fuktige og svakt næringskrevende bjørkeskoger, som fugletelg (*Gymnocarpium dryopteris*), kvitveis (*Anemone nemorosa*), mjødurt (*Filipendula ulmaria*) og bringebær (*Rubus idaeus*), finner vi igjen til venstre i artsordinasjonsplottet. På den andre siden av plottet finner vi diverse torvmoser (*Sphagnum spp.*), reinlav og begerlav (*Cladonia spp.*), rome (*Narthecium ossifragum*) og heigråmose (*Racomitrium lanuginosum*) som dominerer i de ulike furuskogene.



Figur 5. DCA-ordinasjon av 100 analyseruter, aksene 1 og 2. Aksene er skalert i SD-enheter. - DCA ordination of 100 sample plots, axes 1 and 2. Axes are scaled in SD units.

Tabell 2. Vegetasjonsanalyse, egenskaper ved ordinasjonsaksene. eDCA = egenverdi, SD_{DCA} = gradientlengde målt i SD-enheter, eDCA/Ti = egenverdi/total inertia, dvs. aksens andel av forklart variasjon, angitt i prosent, $\Sigma eDCAn/Ti$ = de n første aksenes andel av forklart variasjon (i prosent). - Vegetation analysis, characteristics of ordination axes. eDCA = eigenvalue, SD_{DCA} = gradient length in SD units, eDCA/Ti = eigenvalue/total inertia, i.e. the variation explained by the axis (percentages), $\Sigma eDCAn/Ti$ = variation explained by the first n axes (percentages).

DCA-akse	1	2	3	4
eDCA	0,647	0,234	0,172	0,135
SD _{DCA}	4,333	2,561	2,808	2,297
eDCA/Ti	13,3	4,8	3,5	2,8
$\Sigma eDCAn/Ti$	13,3	18,1	21,6	24,4

DCA-ordinasjonen viser også at det er godt samsvar mellom floristisk innhold i analyserutene fra tiltaksfelt og referansefelt, se kap. 6.1 og 6.7.

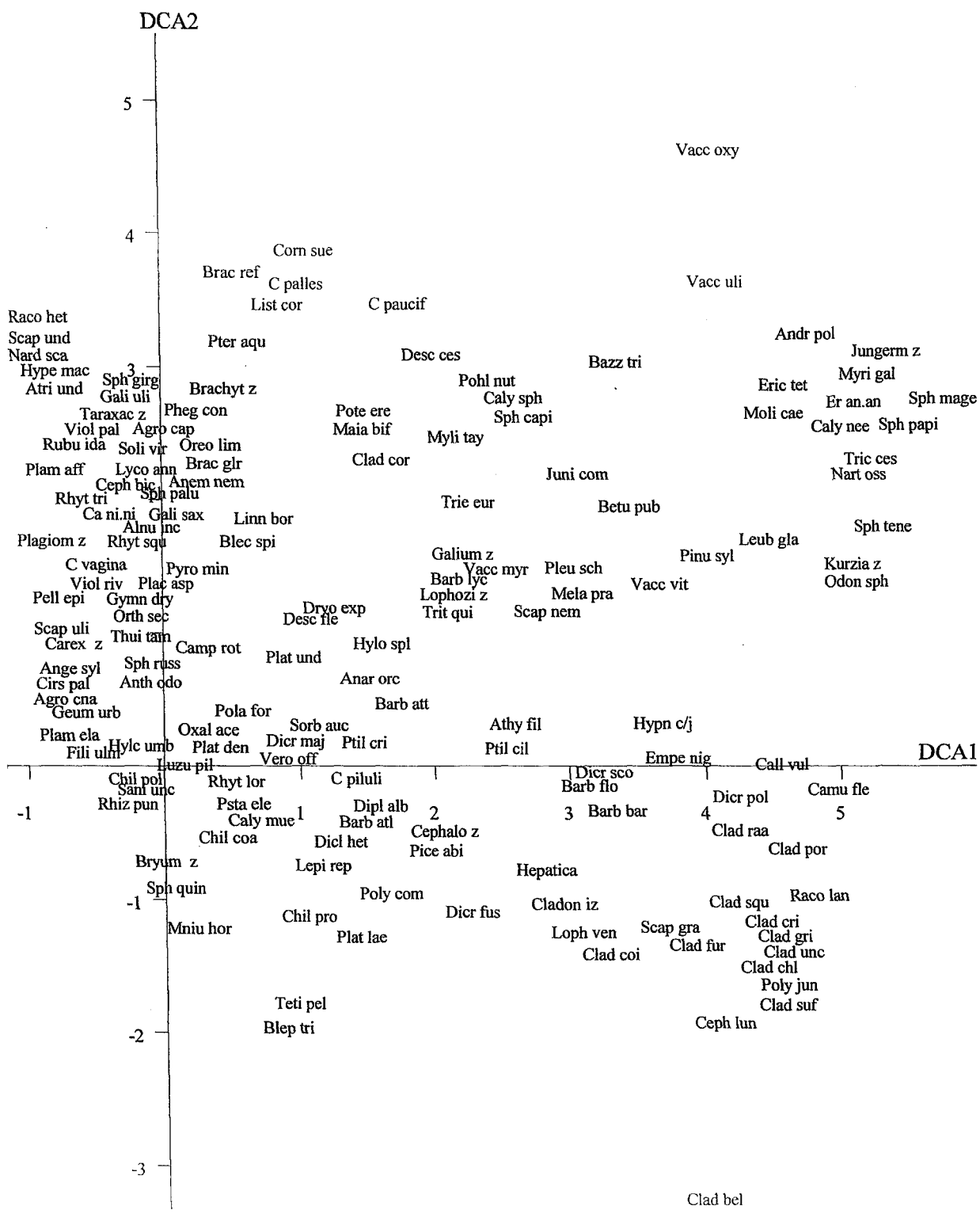
5.4 Miljøparametere

Verdiene for fysiske, kjemiske og biotiske miljøparametere er vist i vedlegg 5. Det er i denne omgang ikke lagt særlig vekt på å beskrive variasjonen av de enkelte miljøparametrene. Målingen av miljøvariablene er hovedsakelig utført for å kunne skille og forklare en naturlig variasjon i vegetasjonen fra en eventuell endring som kan skyldes terrengkalkning. Behandlingen av miljødataene vil således stå mer sentralt etter 1. gangs reanalyse. Vi har likevel prøvd å se på hvilke miljøfaktorer som er mest korrelert med dagens vegetasjonsutforming. Dette er gjort ved korrelasjonsanalyser mellom DCA-akseverdier og miljøparameterene.

5.5 Korrelasjoner mellom DCA-aksene og miljøparametere

Kendall-korrelasjoner mellom de 4 DCA-aksene og de fysiske miljøvariabler er gitt i tabell 3. Tabellen er ordnet slik at de parametrene som var korrelert med DCA-akse 1 er plassert øverst, mens etterfølgende akser følger lenger ned i tabellen.

DCA-akse 1 er signifikant korrelert, på 0,05 nivå, med 24 av de målte og transformerte miljøvariablene. Best korrelert med aksen er ekstraherbart karbon (C, $\tau = 0,575$), pH i vannekstrakt (pH1, $\tau = -0,564$) og glødetap (LOI, $\tau = 0,545$)



Figur 6. DCA-artsordinasjon, aksene 1 og 2. Aksene er skalert i SD-enheter. - DCA species ordination, axes 1 and 2. Axes are scaled in SD units.

Tabell 3. Kendall rangkorrelasjoner mellom rutenes DCA-verdier og miljøparametere. Korrelasjonskoeffisienter (øvre verdier) og deres signifikanssannsynligheter (nedre verdier) er angitt. Se **tabell 1** for forkortelser.- Kendall rank correlations between sample plot scores along ordination axes and environmental variables. Correlation coefficients (upper values) and their significance probabilities (lower values) are specified. See **Table 1** for abbreviations.

Variable	DCA1	DCA2	DCA3	DCA4
C	0,575(**)	-0,182	0,195	0,09
	0	0,07	0,052	0,373
pH1	-0,564(**)	0,313(**)	-0,221(*)	-0,103
	0	0,002	0,027	0,307
LOI	0,545(**)	0,019	0,129	0,067
	0	0,854	0,203	0,508
N/LOI	-0,543(**)	0,16	-0,103	-0,019
	0	0,112	0,308	0,854
pH2	-0,540(**)	0,307(**)	-0,254(*)	-0,136
	0	0,002	0,011	0,177
TotC	0,535(**)	0,029	0,121	-0,08
	0	0,771	0,229	0,426
Mn/LOI	-0,491(**)	0,07	-0,258(**)	-0,109
	0	0,486	0,009	0,283
Na	0,469(**)	0,149	0,220(*)	0,102
	0	0,138	0,028	0,313
Soildep	-0,463(**)	0,346(**)	0,281(**)	0,013
	0	0	0,005	0,895
Mn	-0,455(**)	0,052	-0,256(*)	-0,104
	0	0,607	0,01	0,304
BS/LOI	-0,450(**)	-0,112	0,042	-0,402(**)
	0	0,267	0,68	0
H	0,382(**)	0,154	0,117	0,363(**)
	0	0,127	0,246	0
S	0,350(**)	-0,05	0,038	0,141
	0	0,621	0,707	0,163
S/LOI	-0,342(**)	-0,078	-0,167	0,097
	0,001	0,439	0,097	0,339
Mg	0,334(**)	-0,059	0,282(**)	-0,11
	0,001	0,56	0,005	0,277
CEC	0,324(**)	0,062	0,208(*)	-0,04
	0,001	0,542	0,038	0,69
Zn/LOI	0,307(**)	-0,031	0,151	-0,178
	0,002	0,761	0,134	0,077
K/LOI	-0,279(**)	-0,403(**)	0,167	-0,259(**)
	0,005	0	0,096	0,009
Slope	-0,272(**)	-0,195	0,085	-0,125
	0,006	0,052	0,401	0,214
CEC/LOI	-0,260(**)	0,061	0,200(*)	-0,237(*)
	0,009	0,547	0,046	0,018
Na/LOI	0,257(**)	0,138	0,225(*)	0,145
	0,01	0,172	0,025	0,15
Ca/LOI	-0,226(*)	0,023	0,074	-0,408(**)
	0,024	0,824	0,464	0

Tabell 3 forts.

Variable	DCA1	DCA2	DCA3	DCA4
K	0,222(*)	-0,279(**)	0,187	-0,133
	0,027	0,005	0,062	0,187
CC	0,059	0,493(**)	-0,290(**)	-0,266(**)
	0,56	0	0,003	0,008
P/LOI	0,064	-0,418(**)	0,291(**)	-0,127
	0,527	0	0,003	0,208
P	0,162	-0,368(**)	0,265(**)	-0,14
	0,108	0	0,008	0,163
Fe	0,01	-0,283(**)	0,075	0,321(**)
	0,922	0,004	0,459	0,001
Al/LOI	-0,189	0,275(**)	-0,202(*)	0,352(**)
	0,06	0,006	0,044	0
Al	-0,054	0,274(**)	-0,137	0,348(**)
	0,596	0,006	0,173	0
Fe/LOI	-0,12	-0,264(**)	0,064	0,310(**)
	0,233	0,008	0,528	0,002
BS	-0,072	-0,206(*)	0,152	-0,462(**)
	0,48	0,04	0,131	0
Mg/LOI	0,092	-0,142	0,341(**)	-0,226(*)
	0,36	0,159	0,001	0,024
H/LOI	0,089	0,14	0,028	0,507(**)
	0,376	0,165	0,784	0
Ca	0,037	0,004	0,103	-0,325(**)
	0,716	0,969	0,309	0,001
N	0,045	0,142	0,081	0,107
	0,656	0,158	0,422	0,288

DCA-akse 2 er best korrelert med dekningen i feltsjiktet (CC, $\tau = 0,388$), men også med jorddybde (SOILDEP, $\tau = 0,346$) og fosfor korrigert for glødetap (P/LOI, $\tau = -0,418$).

5.6 Digitale kart

En framstilling av den digitale høydemodellen er blant annet gitt i **figur 2** og **vedlegg 6**. Modellen gir et godt inntrykk av høyde og terrenghformer i og omkring undersøkelsesområdet. Kartet gir også et inntrykk av hvordan de utlagte feltene fordeler seg i terrenget (feltene er tegnet i forstørret målestokk, men midtpunktet i feltene tilsvarer feltets reelle plassering).

5.7 Visualiseringer av vegetasjonsanalysene

Visualisering av ordinatsjonsresultatene for henholdsvis DCA-akse 1 og DCA-akse 2 er gitt i **vedlegg 7** og **8**. Ulike fargekombinasjoner, som følger analyserutenes fordeling langs ordinatsjonsaksene, er tildegnede de ulike analyserutene visualisert i kartet. Disse vedleggene er en alternativ måte å framstille ordinatsjonsresultatene på.

6 Diskusjon

6.1 Indirekte gradientanalyser

Multivariate numeriske metoder spiller en helt sentral rolle i samfunnsbiologiske forsknings- og overvåkingsprogrammer. I vegetasjonsøkologiske arbeider har et utvalg av ordinansjonsmetoder vist seg å være svært anvendelige til å beskrive vegetasjonsmønstre, finne gradientstrukturer, estimere β-diversitet og etter reanalysering kvantifisere vegetasjonsdynamikk, herunder å spore små endringer som kan skyldes endrete miljøforhold (jf. R.H. Økland & Eilertsen 1993, 1996).

Det har vært betydelig diskusjon knyttet til metodikk for vegetasjonsovervåking (jf. Wilmann & Engen 1991 og Økland & Eilertsen 1993). Det er i dag konsensus om sampling strategi for dette arbeidet, og det er et arbeid igang om en nordisk tilnærming med tanke på økt standardisering (Eilertsen m fl. under utarb.). Feltdesignet og samplingmetode i Suldal er helt i samsvar med NINAs TOV-undersøkelser fra f.eks. Gutulia (Eilertsen & Often 1994) og Dividalen (Eilertsen & Brattbakk 1994), NINAs undersøkelser av boreale skoger på Tjeldbergodden og Terningvatn (Eilertsen & Fremstad 1994, 1995) og NIJOS-undersøkelsene i 10 boreale barskogområder (jf. T. Økland 1990, 1993, 1996). Videre er standard metodikk også benyttet i de andre terregenkalkingsprosjektene i Gjerstad (Eilertsen et al. 1996, 1997) og i Fleske-Guddal (Arrestad & Brevik 1998; Arrestad et al. 1999).

Materialet fra Suldal er basert på utlegging av felter, slik at floristisk og økologisk variasjon fanges opp innenfor analyseområdet. Resultatet viste at det er en betydelig større floristisk variasjon mellom feltene enn mellom de 5 analyserutene innen hvert felt. Det var også lagt stor vekt på å finne sammenlignbare vegetasjonstyper i tiltaksområdet og referanseområdet.

Hvert felt i referanseområdet var lagt ut med den hensikt å være en parallel (vegetasjonsmessig) til et felt i tiltaksområdet. DCA-ordinansen viser at parallellene i referanseområdet i stor grad plasserer seg i ordinansjonsdiagrammet i nærheten av sine paralleller i tiltaksområdet. Dette er et viktig sammenligningsgrunnlag når man skal tolke eventuelle forandringer i vegetasjonssammensetningen i tiltaksområdet.

Det er i materialet fra Suldal generelt vanskelig å tolke miljøvariablene i relasjon til ordinansjonsaksene, se kap. 6.2 og 6.3. Dette kommer trolig av at så ulike naturtyper er satt inn i en og samme ordinasjon, fra vegetasjon på våt torvjord til urterik bjørkeskog på tørrere skogsjord med mold i øvre jordlag. En tolkning av miljøvariablene påvirkning av vegetasjonens sammensetning ville trolig bli enklere om man delte analysematerialet i to og behandlet vannkrevende vegetasjon og vegetasjon fra skogsjord hver for seg. Dette bør vurderes utført ved reanalyse etter kalkning.

6.2 Næringsgradient

pH i jordekstrakt er en vanlig brukt parameter for å tolke næringsgrader. Materialet her viser at pH er signifikant korrelert med de tre første DCA-aksene. Dette kan tyde på at næring er en viktig parameter for vegetasjonen i området og at næringstilgang er tett korrelert med andre strukturerte parametere i området. pH er derimot klart best korrelert med ordinasjonens første aksje og derfor tolker vi denne aksen hovedsakelig som en næringsgradient.

Basemetning er et mål som viser jordsmonnets evne til å buffre mot sur nedbør og nøytraliser organiske syrer i jordsmonnet. Samtidig gir parameteren en indikasjon på tilgjengelighet av metallkationer (Ca, Mg, Na og K) som er viktige næringsstoff for plantene. Høy basemetning gir generelt god bufferkapasitet og beskriver et rikere jordsmonn. I materialet fra Suldal er basemetningen (korrigert for glødetap) korrelert med DCA-akse 1. Høyeste basemetningsverdier finnes i de rikere bjørkeskogstypene og laveste verdier i de fuktige furuskogsutformingene (særlig de rome-dominerte typene) med torvjord. Dette styrker antakelsen om at vegetasjonsgradienten langs DCA-akse1 i stor grad kan forklares av ulik næringstilgang fra jordsmonnet.

Materialet fra Suldal viser at glødetap er høyt signifikant korrelert med DCA-akse 1, men ikke korrelert med noen av de andre DCA-aksene. Glødetapet reflekterer trolig en mold-råhumus-torvgradient fra lågurt-småbregneskog og blåbær-furuskog til røsslyng-furuskog og rome-bjørnnskjegg furuskog. Denne er igjen trolig korrelert med næringsgradienten.

Den gode korrelasjonen mellom pH og DCA-akse 2 og 3 kan muligens forklares ved ulik sigevannspåvirkning i vegetasjonstypene. Vegetasjonstypene som strekker seg ut langs andreaksen er i hovedsak ulike typer røsslyng-furuskog fra tørrere til fuktige utforminger. Det er da nærliggende å anta at artsammensetningen langs denne ordinasjonsaksen til en viss grad styres av en fuktighetskomponent, se også kap.6.3).

6.3 Fuktighetsgradient

Arbeider av Carleton & Maycock (1980), Bergeron & Bouchard (1983), Kuusipalo (1983), Lahti & Väistönen (1987) og R.H. Økland & Eilertsen (1993) viser betydningen av jordfuktighet som strukturerte faktor i boreale skoger. R.H. Økland & Eilertsen (1993) vurderer artenes fordeling i ordinasjonsrommet som funksjon av forskjellige typer av fuktighet. Glødetap er ofte brukt som en indikator for jordfuktighet, da høyt stagnerende vanninnhold i jorda fører til akkumulering av torv og sen nedbrytning av organisk materiale. I materialet fra Suldal er det imidlertid vanskelig å relatere glødetap til jordfuktighet, da råhumusen i øvre jordlag fra de skrinnere og tørrere røsslyng-furuskogene også har et høyt glødetap. Selv om glødetap er sterkt korrelert med DCA-akse 1 viser ordinasjonen at de tørrere

utformingene er knyttet til de midtre deler av aksen, mens fuktigere typer dominerer i hver sin ende. Jordfuktighet kan således ikke være den hovedstrukturerte miljøvariabelen for vegetasjonsgradienten langs denne aksen. Jordfuktighet er imidlertid en viktig tilleggsstrukturertende faktor, da de fuktigste sigevannspåvirkede vegetasjonstypene ligger lengst til høyre på DCA-akse 1.

6.4 Lys

Lysforholdene for felt og bunnssjikt er generelt en funksjon av helning, eksposisjon og høyreliggende vegetasjonssjikt. Lysforholdene varierer derfor på stor skala i forhold til tresetting; størrelse på trær og avstanden fra trærne til analyseruta. Storskalavariasjonen i lysforhold er derfor i stor grad korrelert med analyseflatenes fordeling langs høydegradienten. På finere skala er utviklingen av busk- og feltsjiksarter av betydning. Det er i dette prosjektet ikke utført målinger av dekning til busk- og tresjikt, og det er derfor vanskelig å gi eksakte verdier for lystilgang på feltsjikt og bunnssjikt. Imidlertid kan man anta at den bakkenære vegetasjonen får størst lysinnstråling i de fuktigste furuskogstypene da trærne her står spredt og er særdeles småvokste. Mektigheten på furutrærne øker i blåbærtypene og de gamle lågurtypene av bjørkeskog har trolig et enda tettere tresjikt, med påfølgende mindre lys til bakken. I de eldre og tette granplantefeltene betyr lystilgangen svært mye for artssammensetningen. Mangel på lys medfører et særdeles artsattig og lite dekkende feltsjikt. Moser vokser flekkvis der det er en viss lystilgang, særlig da i kantsona til plantefeltet mot annen mer åpen skog eller mark.

6.5 Tråkk og beitepåvirkning

Det er en viss beitepåvirkning både i tiltaksområdet og i referanseområdet. Vegetasjonen blir påvirket både av beite, tråkk og ved ekskrementer fra dyr. Det er imidlertid ikke mulig innenfor rammen til dette prosjektet å kvantifisere beitepresset i de ulike feltene.

6.6 Geografiske informasjons-systemer - GIS

I denne omgang er GIS-modellene brukt i visualisering og analysering av resultatene fra vegetasjonsanalyserne i relasjon til ulike avledede terengmodeller, for eksempel hvordan ordinasjonsaksene fordeler seg i forhold til topografi. Det er også etter hvert meningen å bruke andre GIS-analyser i undersøkelsen av vegetasjonen, blant annet ved å etablere en direkte kobling mellom analyserutene og terengmodellene og ut fra dette avlede nye miljøparametere relevant for vegetasjonssammensetningen. Dette krever en nøyaktig kartposisjonering av feltene og analyserutene og sannsynligvis en bedre opplosning på terengmodellen.

Imidlertid ville en digital terengmodell med nøyaktig lokalisering av feltene og analyserutene blant annet kunne brukes i en modellering av dreneringen inn i feltene. Slik hadde det vært mulig å estimere hvor mye av den sprede kalken som drenerte til de ulike feltene. En sammenkobling mellom analyserutene og terengmodellene vil også kunne øke muligheten for å regionalisere resultatene fra ruteanalysen. I tillegg vil ulike GIS metoder i større grad gjøre det mulig å nytte resultatene i prediksjonsmodeller for andre områder med ingen eller færre analyseruter.

6.7 Sammenlignbarhet mellom tiltaksområde og referanseområde

Ordinasjonsanalyserne viser at det er stor grad av likhet i artssammensetningen mellom analyserutene fra de ulike feltene i tiltaksområdet og analyserutene fra de tilsvarende feltene i referanseområdet, se figur 5 og vedleggene 7 og 8. Det var imidlertid helt umulig og finne helt identiske vegetasjonsutforminger i de to adskilte sidevassdragene. I det totale materialet fra analyserutene er 91 arter felles for begge områdene, mens det er registrert 34 arter som bare finnes i tiltaksområdet og 38 arter som bare finnes i referanseområdet.

Tabell 4 viser gjennomsnittsverdier for miljøvariabler fra de to områdene. Gjennomsnittet for de fleste variablene er nokså like i de to områdene. Gjennomsnittlig pH i vannuttrekk fra jord er 4,1 for begge områdene. Det lave pH-gjennomsnittet reflekteres av de mange prøvene fra næringsfattig råhumus og torvjord. Felt P i Grovbekken har de generelt høyeste pH verdiene (4,6–5,6, se vedlegg 5). Basemetningen er også særdeles høy i dettefeltet (70–90 %), noe som tyder på at næringsgradienten er trukket noe lenger ut i referanseområdet enn i tiltaksområdet.

Konklusjonen er imidlertid at analyseflatene i tiltaksområdet og i referanseområdet er tilnærmet like både når det gjelder artssammensetning og miljøforhold. Hvis det ikke skjer endringer i bruken av noen av områdene skulle referanseområdet kunne gi informasjon om naturlige variasjoner i vegetasjonen som ikke skyldes terengkalking. Informasjonen her kan overføres til kalkingsområdet. Reanalyser av begge områdene etter kalking vil således kunne belyse om eventuelle endringer i tiltaksområdet skyldes terengkalking eller naturlige variasjoner.

Tabell 4. Gjennomsnittsverdier for miljøvariabler i analysen i tiltaksområdet Brommelandsbekken og referanseområdet grovbekken. Se forkortelser i tabell 1. – Average values of environmental variables from sample plots i Brommelandsbekken and from the reference area Grovbekken. See abbreviations in Table 1.

Miljøvariabel	Brommelandsbekken	Grovbekken
Slope	13,92	16,48
Soil dep	19,10	27,1
CC	55,92	42,58
LOI	72,81	79,67
pH1	4,08	4,14
pH2	3,37	3,40
N	1,38	1,53
Tot C	35,86	39,23
H	125,67	146,50
Al	20,94	25,58
C	602,06	713,44
Ca	33,99	44,03
Fe	1,38	1,39
K	14,90	15,05
Mg	25,74	27,81
Mn	4,24	1,37
Na	12,10	11,08
P	2,35	2,27
S	5,89	5,71
Zn	706,62	652,40
CEC	280,59	319,05
BS	49,93	51,04

7 Litteratur

- Aune, B. 1993. Temperaturnormaler, normalperiode 1961-1990. - Det norske meteorologiske institutt, Oslo. Rapp. 02/93: 66 s.
- Barlaup, B.T., Hindar, A., Kleiven, E. & Høgberget, R. 1998. Incomplete mixing of limed water and acidic runoff restricts recruitment of lake spawning brown trout in Hovvatn, southern Norway. - Environ. Biol. Fish. 53: 47-63.
- Bergeron, Y. & Bocharde, A. 1983. Use of groups in analysis and classification of plant communities in a section of western Quebec. - Vegetatio 56: 45-63.
- Bernhardsen, T. 1992. Geografiske informasjonssystemer. - Vett og viden A/S, Bærum.
- Blom, G. & Wincent, H. 1989. Effekter av kalkning på ängvegetation. – Naturvårdsverket, Rapport 3605.
- Brandrud, T.E. 1995a. Vannvegetasjon i Molaugvann, Frafjordsvassdraget, Rogaland: en vurdering av tilgroing og mulige konsekvenser av kalkning. – NIVA-Rapport O-93082: 1-15 + kart.
- Brandrud, T.E. 1995b. Virkning av kalkning på krypsiv og annen begroing i Otravassdraget: en konsekvensutredning. – NIVA Rapport O-95121: 1-17 + ill.
- Burrough, P. A. 1986. Principles of geographical information systems for land resources assessment. - Clarendon Press, Oxford: 1-194.
- Carleton, T.J. & Maycock, P.F. 1980. Vegetation of the boreal forest south of James Bay: Non-centered component analysis of the vascular flora. - Ecology 61: 1199-1212.
- Clymo, R.S. 1980. Preliminary survey of the peat-bog Hummell Knowe Moss using various numerical methods. - Vegetatio 42: 129-148.
- Conover, W.J. 1980. Practical nonparametric statistics. 2nd. ed. - Wiley, New York.
- Davis, J.C. 1988. Statistics and data analysis in geology. 2nd ed. - John Wiley & Sons.
- van Dobben, H.F., Dirkse, G.M., ter Braak, C.J.F. & Tamm, C.O. 1992. Effects of acidification, liming and fertilization on the undergrowth vegetation of a forest stand in sentral Sweden. - Instituut voor Bosen Natuuronderzoek. RIN Report 92/91, Wageningen.
- Eilertsen, O. & Pedersen, O. 1989. Virkning av nedveiing og artsfjerning ved DCA-ordinasjon av vegetasjons-økologiske datasett. - Kgl. norske Vitensk. mus. Rapp. bot. Ser. 1988,1: 5-18.
- Eilertsen, O., Økland, R.H., Økland, T. & Pedersen, O. 1990. Data manipulation and gradient length estimation in DCA ordination. - J. Veg. Sci. 1: 261-270.
- Eilertsen, O. & Brattbakk, I. 1994. Terrestrisk naturovervåking. Vegetasjonsøkologiske undersøkelser av boreal bjørkeskog i Øvre Divald nasjonalpark. - NINA Oppdragsmelding 286: 1-82.
- Eilertsen, O. & Ofte, A. 1994. Terrestrisk naturovervåking. Vegetasjonsøkologiske undersøkelser av boreal bjørkeskog i Gutulia nasjonalpark. - NINA Oppdragsmelding 285: 1-69.

- Eilertsen, O. & Fremstad, E. 1994. Miljøovervåking Tjeldbergodden, jord- og vegetasjonsundersøkelser. - NINA Oppdragsmelding 278: 1-30.
- Eilertsen, O. & Fremstad, E. 1995. Miljøovervåking på Tjeldbergodden og Terningvatn, jord- og vegetasjonsundersøkelser 1993-94. - NINA Oppdragsmelding 391: 1-38.
- Eilertsen, O., Stabbetorp, O. & Bendiksen, E. 1996. Variasjon i kalkspredningen og vegetasjonseffekter. - s 17-20 i Nilsen, P., red. FoU-programmet «Miljøtiltak i skog». Årsmelding 1995. - Aktuelt fra Skogforsk, NISK.
- Eilertsen, O., Stabbetorp, O. & Aarrestad, P.A. 1997. Counteractions against acidification in forest ecosystems: Vegetation dynamics in a forested catchment after dolomite application in Gjerstad, S. Norway. - J. Conf. Abs. 2: 167.
- Eriksson, F. 1988. Makrofytevegetasjon i kalkade sjøar. - Inf. Sötvatnslab. Drottningholm, nr. 9/1988: 1-25.
- ESRI Inc 1996a. ArcView GIS. - Environmental Systems Research Institute, Inc, Redlands, California.
- ESRI Inc 1996b. ArcView Spatial Analyst. - Environmental Systems Research Institute, Inc, Redlands, California.
- Fenstad, G.U., Walløe, L. & Wille, S.Ø. 1977. Three tests for regression compared by stochastic simulation under normal and heavy tailed distribution of errors. - Scand. J. Statist. 4: 31-34.
- Fremstad, E. 1997. Vegetasjonstyper i Norge. - NINA Temahefte 12: 1-279.
- Frisvoll, A., Elvebakk, A., Flatberg, K.I. & Økland, R.H. 1995. Sjekkliste over norske mosar. Vitskapleg og norsk namneverk. - NINA Temahefte 4: 1-104.
- Førland , E.J. 1993. Nedbørnormaler, normalperiode 1961-1990. - Det norske meteorologiske institutt, Oslo. Rapport 39/93: 63 s.
- Giltrap, D.G. 1983. Computer production of soil maps, I. Production of grid maps by interpolation. - Geoderma 29: 295-311.
- Hill, M.O. 1979. DECORANA - A FORTRAN program for detrended correspondence analysis and reciprocal averaging. - Cornell Univ., Ithaca, New York.
- Hill, M.O. & Gauch, H.G. 1980. Detrended correspondence analysis: an improved ordination technique. - Vegetatio 42: 47-58.
- Hindar, A. 1997a. Liming of acidified surface waters-strategies and effects. - Thesis, University of Oslo. 42 p.+app.
- Hindar, A. 1997b. Markkalking i Norge. - Konferansebidrag. Kalkingskonferansen i Lökeberg, Göteborg 15.-17.september 1997.
- Høiland, K. & Pedersen, O. 1994. Virkning på vegetasjon ved områdekalking av myr. Undersøkelse foretatt ved Røyndalsvatn, Birkenes, Aust-Agder. - s. 44-71 i DN-Notat-2: Kalking i vann og vassdrag. FoU-virk somheten. FoU-årsrapport 1992.
- Jensén, S. 1978. Influences of transformation of cover values on classification and ordination of lake vegetation. - Vegetatio 37: 19-31.
- Jones, C. 1997. Geographical Information Systems and Computer Cartography. - Longman Singapore Publishers (Pte) Ltd.
- Jongman, R.G.H., ter Braak, C.J.F. & van Tongeren, O.F.R (eds.). 1987. Data analysis in community and landscape ecology. - Pudoc, Wageningen. 1-299.
- Keckler, O. 1996. SURFER for Windows, v. 6. - Golden Software inc., Golden.
- Kellner, O. 1993. Effects on fertilization on forest flora and vegetation. - Doktorgradsavhandling. Uppsala universitet. ISBN-5554-3154-2.
- Korsmo, H. Eilertsen, O. & Pedersen, O. 1996. Botaniske undersøkelser av kalkede myrområder i Fjordas nedbørsfelt . Gran og Jevnaker kommuner i Oppland. - NINA Oppdragsmelding 428: 1-28.
- Krieger, D.G. 1967. Two dimensional weighted moving average trend surfaces for ore evaluation. - J. S. Afr. Inst. Min. Metall. 66: 13-38.
- Krog, H., Østhagen, H. & Tønsberg, T. 1994. Lavflora. Norske busk- og bladlav. - Universitetsforlaget, Oslo.
- Kuusipalo, J. 1983. Distribution of vegetation on mesic forest sites in relation to some characteristics of the three stand and soil fertility. - Silva fenn. 17: 403-418.
- Lahti, T. & Väistänen, R.A. 1987. Ecological gradients of boreal forests in south Finland: an ordination test of Cajander's forest site type theory. - Vegetatio 68: 145-156.
- Legendre, P. & Fortin, M.J. 1989. Spatial pattern and ecological analysis. - Vegetatio 80: 107-138.
- Lid, J. & Lid, D.T. 1994. Norsk flora. 6. utg. ved Reidar Elven. - Det norske samlaget. Oslo.
- Maarel, E. van der 1979. Transformation of cover-abundance values in phytosociology and its effect on community similarity. - Vegetatio 39: 97-114.
- Matheron, G. 1971. The theory of regionalized variables and its application. Les Cahiers du Centre de Morphologie Mathématique de Fontainebleau. - Ecole Nationale Supérieure des Mines de Paris.
- Nilsen, P. 1995 (red.). FoU-programmet «Miljøtiltak i skog». Årsmelding 1995. - Aktuelt fra Skogforsk, NISK.
- Ogner, G., Opem, M., Remedios, G., Sjøtveit, G. & Sørli, B.: 1991. The chemical analysis program of the Norwegian Forest Research Institute, 1991 - Norwegian Forest Research Institute, Ås. 21s.
- Ollson, B. 1982. Storskalig spridning av kalkstens- och olivinmjöl på mark. Effekter på fält- och botten-skiktsvegetationen. - Institutet för Vatten- och Luftvårdsforskning, IVL Rapport EM 811.
- Parker, K.C. 1988. Environmental relationships and vegetation associates of columnar cacti in the northern Sonoran desert. - Vegetatio 78: 125-140.
- Pedersen, O. 1988. Biological data program/PC. Version 1.01. Brukerveiledning. - VegeDataConsult, Oslo.
- Propovic, B. & Anderson, F. 1984. Markkalking och skogproduktion - litteratuoversikt och revision av svenska kalkningsförsök. - Sveriges Landbruksuniversitet. Uppsala. 107 s.
- Ripley, B.D. 1981. Spatial statistics. - John Wiley & Sons, New York: 1-252.

- Røsberg, I. 1997. Miljøtiltak i skog. Effekter av kalkning og vitalitetsgjødsling i et furubestand på Gangseimoen, Åmli i Aust-Agder. - NTNU Vitensk. mus. Rapp. bot. Ser. 1997-1: 105-118.
- Sigmond, E.M.O., Gustavson, M. & Roberts, D. 1984. Berggrunnskart over Norge. M. 1: 1 million. - Trondheim, Norges geologiske undersøkelse.
- Smartt, P.F.M., Meacock, S.E. & Lambert, J.M. 1974a. Investigations into properties of quantitative vegetation data. - *J. Ecol.* 62: 735-759.
- Smartt, P.F.M., Meacock, S.E. & Lambert, J.M. 1974b. Investigations into properties of quantitative vegetation data. II. Further data comparisons. - *J. Ecol.* 64: 47-78.
- Staff, H. Persson, T. & Bertils, U. (red.) 1996. Skogsmarksalkning. Resultat och slutsatser från Naturvårdsverket försöksverksamhet. - Naturvårdsverket. Rapport 4559: 296 s.
- Stuart, A. 1956. The efficiencies of test of randomness against normal regression. - *J. Am. Stat. Ass.* 51: 285-287.
- Svanberg, K. 1987. Redovisning av vegetationsåterinventering 1986 vid ett försök med accelererad forsurning och kalkning av skogsmark - (Faxboda E 67). Stencilerad rapport.
- ter Braak, C.J.F. 1988. CANOCO - a FORTRAN program for canonical community ordination by (partial) (detrended) (canonical) correspondence analysis, principal components analysis and redundancy analysis (version 2.1). - Technical report LWA-88-02. Agricult. Math. Group, Wageningen, The Netherlands.
- ter Braak, C.J.F. 1990. Update notes: CANOCO version 3.10. - Agricult. Math. Group, Wageningen.
- ter Braak, C.J.F. & Smilauer, P. 1998. CANOCO Reference Manual and User Guide to Canoco for Windows: Software for Canonical Community Ordination (version 4). - Microcomputer Power (Ithaca, NY, USA). 352 s.
- Traaen, T.S., Frogner, T., Hindar, A., Kleiven, E., Lande, A. & Wright, R.F. 1997. Whole-catchment liming at Tjønnstrond, Norway: An 11-year record. - *Water, Air, Soil Pollut.* 94: 163-180.
- Webster, R. 1985. Quantitative spatial analysis of soil in the field. - In *Advances in Soil Science*, Vol. 3. s. 2-70. Edited by B.A. Stewart. Springer-Verlag, New York.
- Westhoff, V. & Maarel, E. van der 1978. The Braun-Blanquet approach. - I Whittaker, R.H., red. Classification of plant communities. Junk, The Hague.
- Wilmann, B. & Enger 1991. Valg av rutestørrelse og analysemetode for de faste prøveflatene. - s. 1-90 i Brattbakk, I., Høyland, K., Økland, R.H., Wilmann, B. & Engen, S., red., Terrestrisk naturovervåking. Vegetasjonsovervåking 1990 i Børgefjell og Solhomfjell. NINA Oppdragsmelding 91.
- Økland, R.H. 1986. Rescaling of ecological gradients. I. Calculation of ecological distance between vegetation stands by means of their floristic composition. - *Nord. J. Bot.* 6: 651-660.
- Økland, R.H. 1990. Vegetation ecology: theory, methods and applications with reference to Fennoscandia. - *Sommerfeltia Suppl.* 1: 1-233.
- Økland, R.H. & Eilertsen, O. 1993. Vegetation - environment relationships of boreal coniferous forests in the Solhomfjell area, Gjerstad, S Norway. - *Sommerfeltia* 16: 1-254.
- Økland, R.H. & Eilertsen, O. 1996. Dynamics of understory vegetation in an old-growth boreal coniferous forest, 1988-1993. - *J. Veg. Sci.* 7: 747-762.
- Økland, T. 1990. Vegetational and ecological monitoring of boreal forests in Norway. I. Rausjømarka in Akershus county, SE Norway. - *Sommerfeltia* 10: 1-52.
- Økland, T. 1993. Vegetasjonsøkologisk overvåking av barskog i Gutulia nasjonalpark. Rapport 6/93. - Norsk Inst. Jord- Skogkartlegging, Ås.
- Økland, T. 1996. Vegetation-environment relationships of boreal spruce forests in ten monitoring reference areas in Norway. - *Sommerfeltia* 22: 1-349.
- Arrestad, P.A. & Brevik, Ø. 1998. Forundersøkelser av vegetasjon i nedbørsfeltet til Hovlandselva i Guddalsvassdraget 1997, i samband med planlagt terengkalking. - NINA oppdragsmelding 555: 1-45.
- Arrestad, P.A., Bakkestuen, V. & Eilertsen, O. 1999. Terengkalking i Flekke-Guddal, Sogn og Fjordane - undersøkelse av vegetasjon og jord før kalking. - NINA Oppdragsmelding 599: 1-69.

Vedlegg 1

Registrerte karplanter i Brommelandbekken, Suldal i Rogaland. - *Vascular plants recorded in Brommelandbekken, Suldal in Rogaland county.*

Latinske navn	Norske navn
Pteridophyta	Karsporeplanter
<i>Athyrium distentifolium</i>	fjellburkne
<i>A. filix-femina</i>	skogburkne
<i>Blechnum spicant</i>	bjønnkam
<i>Cryptogramma crispa</i>	hestespregn
<i>Cystopteris fragilis</i>	skjørlok
<i>Dryopteris dilatata</i>	geittelg
<i>D. expansa</i>	sauetelg
<i>D. filix mas</i>	ormetelg
<i>Equisetum arvense</i>	åkersnelle
<i>E. fluviatile</i>	elvesnelle
<i>E. sylvaticum</i>	skogsnelle
<i>Gymnocarpium dryopteris</i>	fugletelg
<i>Huperzia selago</i>	lusegras
<i>Lycopodium annotinum</i>	stri kråkefot
<i>Oreopteris limbosperma</i>	smørtelg
<i>Phegopteris connectilis</i>	hengeving
<i>Polypodium vulgare</i>	sisselrot
<i>Polystichum braunii</i>	junkerbregne
<i>Pteridium aquilinum</i>	einstape
<i>Selaginella selaginoides</i>	dvergjamne
<i>Woodsia ilvensis</i>	lodnebregne
Pinophytina	Nakenfrøete
<i>Juniperus communis</i>	einer
<i>Picea abies</i>	gran (plantet)
<i>P. sitchensis</i>	sitkagran
<i>Pinus sylvestris</i>	furu
Liliopsida	Enfrøbladete
<i>Agrostis canina</i>	hundekvein
<i>A. capillaris</i>	engkvein
<i>Alopecurus pratensis ssp pratensis</i>	engreverumpe
<i>Anthoxanthum odoratum</i>	gulaks
<i>Brachypodium sylvaticum</i>	lundgrønaks
<i>Calamagrostis purpurea</i>	skogrørkvein
<i>Carex bigelowii</i>	stivstarr
<i>C. brunnescens</i>	seterstarr
<i>C. canescens</i>	gråstarr
<i>C. demissa</i>	grønstarr
<i>C. digitata</i>	fingerstarr
<i>C. echinata</i>	stjernestarr
<i>C. flava</i>	gulstarr
<i>C. nigra ssp. nigra</i>	slåttestarr
<i>C. ovalis</i>	harestarr
<i>C. pallescens</i>	bleikstarr
<i>C. panicea</i>	kornstarr
<i>C. pauciflora</i>	sveltstarr

Vedlegg 1 forts.

Latinske navn	Norske navn
Liliopsida	Enfrøbladete
<i>C. paupercula</i>	frynestasterr
<i>C. pilulifera</i>	bråtestasterr
<i>C. vaginata</i>	slirestasterr
<i>Dactylorhiza maculata</i>	flekkmarihånd
<i>Deschampsia cespitosa</i>	sølvbunke
<i>D. flexuosa</i>	smyle
<i>Eriophorum angustifolium ssp. ang.</i>	duskull
<i>E. vaginatum</i>	torvull
<i>Festuca rubra</i>	rødsvingel
<i>F. vivipara</i>	geitsvingel
<i>Holcus mollis</i>	krattlodnegras
<i>Juncus articulatus</i>	ryllsiv
<i>J. bufonius ssp. bufonius</i>	paddesiv
<i>J. conglomeratus</i>	knappsv
<i>J. effusus</i>	lyssiv
<i>J. filiformis</i>	trädsv
<i>J. trifidus</i>	rabbesiv
<i>J. supinus ssp. supinus</i>	krypsiv
<i>Listera cordata</i>	småtveblad
<i>Luzula multiflora ssp. multiflora</i>	engfrytle
<i>L. pilosa</i>	hårfrytle
<i>L. sylvatica</i>	storfrytle
<i>Maianthemum bifolium</i>	maiблom
<i>Melica nutans</i>	hengeaks
<i>Molinia caerulea</i>	blåtopp
<i>Nardus stricta</i>	finnskjegg
<i>Narthecium ossifragum</i>	rome
<i>Orchis mascula</i>	vårmarihånd
<i>Phleum pratense ssp. pratense</i>	timotei
<i>Poa annua</i>	tunrapp
<i>P. nemoralis</i>	lundrapp
<i>P. pratensis ssp. alpigena</i>	seterrapp
<i>P. pratensis ssp. pratensis</i>	engrapp
<i>Polygonatum odoratum</i>	kantkonvall
<i>Trichophorum cespitosum</i>	bjønnskjegg
Magnoliopsida	Tofrøbladete
<i>Acer pseudoplatanus</i>	platanlønn
<i>Achillea millefolium</i>	rylik
<i>Ajuga pyramidalis</i>	jonsokkoll
<i>Alchemilla alpina</i>	fjellmarikåpe
<i>A. vulgaris coll.</i>	marikåper
<i>Alnus glutinosa</i>	svartor
<i>A. incana</i>	gråor
<i>Andromeda polifolia</i>	kvitlyng
<i>Anemone nemorosa</i>	kvitveis
<i>Angelica sylvestris</i>	sløke
<i>Arctostaphylos uva-ursi</i>	mjølbær
<i>A. alpina</i>	rypebær
<i>Betula nana</i>	dvergbjørk
<i>B. pubescens</i>	bjørk

Vedlegg 1 forts.

Latinske navn	Norske navn
Magnoliopsida	Tofrøbladete
Bistorta vivipara	harerug
Calluna vulgaris	røsslyng
Campanula rotundifolia	blåklokke
Cerastium fontanum ssp. vulgare	vanlig arve
Circaeа alpina	trollurt
Cirsium palustre	myrtistel
Cornus suecica	skrubbær
Corylus avellana	hassel
Digitalis purpurea	revebjelle
Drosera anglica	smal soldogg
D. rotundifolia	rund soldogg
Empetrum nigrum ssp. hermafroditum	fjellkrekling
E. nigrum ssp. nigrum	krekling
Epilobium angustifolium	geitrams
E. montanum	krattmjølke
E. palustre	myrmjølke
Erica tetralix	klokkeling
Filipendula ulmaria	mjødurt
Fragaria vesca	markjordbær
Fraxinus excelsior	ask
Galeopsis bifida	vrangdå
Galium palustre	myrmaure
G. saxatile	kystmaure
G. uliginosum	sumpmaure
Geranium robertianum	stankstorkenebb
G. sylvaticum	skogstorkenebb
Geum urbanum	kratthumleblomst
Hieracium ssp.	svæver
Hypericum maculatum	firkantperikum
H. perforatum	prikkperikum
H. pulchrum	prikkperikum
Lapsana communis	haremat
Leontodon autumnalis	følblom
Linnaea borealis	linnea
Lonicera periclymenum	vivendel
Lotus corniculatus	tilrlitunge
Melampyrum pratense	stormarimjelle
M. sylvaticum	småmarimjelle
Mycelis muralis	skogsalsalat
Myrica gale	pors
Orthilia secunda	nikkevintergrønn
Oxalis acetosella	gaukesyre
Pinguicula vulgaris	tettegras
Plantago lanceolata	smalkjempe
P. major	groblad
Polygala serpyllifolia	heiblåfjær
P. vulgaris	storblåfjær
Populus tremula	osp
Potentilla erecta	tepperot
P. palustre	myrhatt
Prunus padus	hegg

Vedlegg 1 forts.

Latinske navn	Norske navn
Magnoliopsida	Tofrøbladete
Prunella vulgaris	blåkoll
Pyrola minor	perlevintergrøn
Ranunculus acris	engsoleie
R. auricomus	nyresoleie
R. repens	krypsoleie
Rhodiola rosea	rosenrot
Rosa canina	steinnype
Rubus chamaemorus	molte
R. idaeus	bringebær
R. nessensis	skogbjørnebær
R. saxatilis	teiebær
Rumex acetosa	engsyre
R. acetosella	småsyre
Salix aurita	ørevier
S. caprea	selje
S. glauca	sølvvier
S. herbacea	ørevier
S. lapporum	lappvier
S. myrsinifolia	svartvier
Saussurea alpina	fjelltistel
Saxifraga stellaris	stjernesildre
Silene dioica	rød jonsokblom
Solidago virgaurea	gullris
Sorbus aucuparia	rogn
Stachys sylvatica	skogsvinerot
Stellaria graminea	grasstjerneblom
S. media	vassarve
Succisa pratensis	blåknapp
Taraxacum spp.	løvetann
Tilia cordata	lind
Trientalis europaea	skogstjerne
Trifolium pratense	rødkløver
T. repens	kvitkløver
Ulmus glabra	alm
Urtica dioica	stornesle
Vaccinium myrtillus	blåbær
V. oxycoccus ssp. oxycoccus	stortranebær
V. uliginosum	blokkebær
V. vitis-idaea	tyttebær
Valeriana sambucifolia	vendelrot
Veronica chamaedrys	tveskjeggveronika
V. officinalis	legeveronika
V. serpyllifolia ssp. serpyllifolia	snuaveronika
Viburnum opulus	krossved
Vicia cracca	fuglevikke
V. sepium	gjerdevikke
Viola palustris	myrfiol
V. riviniana	skogfiol
Antall arter totalt:	191

Vedlegg 2a

Ruteanalyser for vegetasjon, prosent dekning av arter. Analyseruter A1-J5 fra Brommelandsbekken 1998. ?: Arten finnes, dekning mangler. – Vegetation analyses of the sample plots, percentage cover of species. Sample plots A1-J1 from Brommelands bekken 1988. ?: The species occurs, percentage cover is missing.

Felt - Site Analysen - Sample plot	A 1	A 2	A 3	A 4	A 5	B 1	B 2	B 3	B 4	B 5	C 1	C 2	C 3	C 4	C 5	D 1	D 2	D 3	D 4	D 5	E 1	E 2	E 3	E 4	E 5	
<i>Alnus incana</i>	1	1	
<i>Betula pubescens</i>	
<i>Juniperus communis</i>	20	10		
<i>Myrica gale</i>	
<i>Picea abies</i>	1	
<i>Pinus sylvestris</i>	
<i>Sorbus aucuparia</i>	1	1	1	.	1	1	.	.	.	1	2	1	1	1	1	1	2	1	3	1	2	1	1	1	1	
<i>Andromeda polifolia</i>	
<i>Calluna vulgaris</i>	1	1	1	
<i>Empetrum nigrum</i>	.	.	.	1	
<i>Erica tetralix</i>	
<i>Picea abies</i>	1	.	.	1	
<i>Pinus sylvestris</i>	1	.	.	.	1	1	
<i>Rubus idaeus</i>	2	5	20	7	10	
<i>Vaccinium myrtillus</i>	65	75	50	65	65	2	65	20	3	2	30	40	50	50	60	50	35	20	15	7	3	1	1	1	2	
<i>Vaccinium uliginosum</i>	2	2	7	5	2	1	1	1	1	1	1	1	
<i>Vaccinium vitis-idaea</i>	
<i>Anemone nemorosa</i>	35	2	3	3	20	7	3	2	30	7	
<i>Athyrium filix-femina</i>	1	
<i>Blechnum spicant</i>	5	.	1	.	.	5	7	10	1	
<i>Campanula rotundifolia</i>	1	
<i>Dryopteris expansa</i>	5	.	5	1	
<i>Galium saxatile</i>	2	1	1	1	1	.	1	1	.	1	.	1	1	1	1	1	
<i>Galium sp.</i>	1	
<i>Gymnocarpium dryopteris</i>	20	5	50	25	15	3	5	2	2	1	.	3	1	5	2	
<i>Hypericum maculatum</i>	5	
<i>Linnaea borealis</i>	1	1	1	1	1	1	1	1	.	.	1	.	1	1	
<i>Lycopodium annotinum</i>	1	1	1	5	
<i>Maianthemum bifolium</i>	.	.	.	1	1	1	
<i>Melampyrum pratense</i>	1	1	1	1	1	
<i>Narthecium ossifragum</i>	
<i>Oreopteris limbosperma</i>	
<i>Orthilia secunda</i>	1	1	
<i>Oxalis acetosella</i>	1	1	1	.	.	1	1	1	1	1	1	
<i>Phegopteris connectilis</i>	17	.	.	.	7	
<i>Potentilla erecta</i>	1	3	1	1	10	1	1	1	1	1	
<i>Pteridium aquilinum</i>	30	15	
<i>Pyrola minor</i>	1	.	.	1	1	.	1	1	
<i>Solidago virgaurea</i>	5	
<i>Trientalis europaea</i>	.	.	.	5	1	1	1	.	1	1	1	1	1	1	2	1	3	1	1	
<i>Veronica officinalis</i>	1	
<i>Viola palustris</i>	1	1	1	3	10	
<i>Viola riviniana</i>	1	1	1	1
<i>Agrostis capillaris</i>	20	2	2	2	20	2	5	2	2	2	.	.	1	5	
<i>Anthoxanthum odoratum</i>	1	1	1	.	.	1	.	1	.	1	.	.	1	
<i>Carex pilulifera</i>	1	
<i>Carex vaginata</i>	1	
<i>Carex sp.</i>	1	
<i>Deschampsia cespitosa</i>	1	15	40	
<i>Deschampsia flexuosa</i>	1	1	1	2	1	5	5	1	.	15	20	20	5	10	.	20	45	40	60	1	1	2	1	15		
<i>Eriophorum ang. ssp. ang.</i>	
<i>Luzula pilosa</i>	1	.	.	1	1	1	1	1	.	1	1	1	
<i>Molinia caerulea</i>	
<i>Trichophorum cespitosum</i>	

Vedlegg 2a forts.

Felt - Site Analyse - Sample plot	F 1	F 2	F 3	F 4	F 5	G 1	G 2	G 3	G 4	G 5	H 1	H 2	H 3	H 4	H 5	I 1	I 2	I 3	I 4	I 5	J 1	J 2	J 3	J 4	J 5
<i>Alnus incana</i>
<i>Betula pubescens</i>	1	10
<i>Juniperus communis</i>	20	
<i>Myrica gale</i>	15	15	30	
<i>Picea abies</i>	1	1	.	.	
<i>Pinus sylvestris</i>	1	
<i>Sorbus aucuparia</i>	1	1	.	1	1	.	.	1	.	1	.	1	
<i>Andromeda polifolia</i>	1	1	1	1	1	1	1	2	1	1	1	
<i>Calluna vulgaris</i>	60	60	50	60	50	10	5	.	.	10	5	.	20	12	1	5	.	1	.	.
<i>Empetrum nigrum</i>	1	
<i>Erica tetralix</i>	2	1	1	2	7	2	40	2	.	1	
<i>Picea abies</i>	
<i>Pinus sylvestris</i>	1	
<i>Rubus idaeus</i>	
<i>Vaccinium myrtillus</i>	.	5	1	1	5	25	5	10	15	10	5	15	.	.	.	40	20	20	25	25	50	80	40	75	65
<i>Vaccinium uliginosum</i>	2	2	2	2	5	1	5	1	1	1	2	5	1	2	5	2	1	10	2	1
<i>Vaccinium vitis-idaea</i>	
<i>Anemone nemorosa</i>	.	1	
<i>Athyrium filix-femina</i>	
<i>Blechnum spicant</i>	.	1	.	1	3	
<i>Campanula rotundifolia</i>	
<i>Dryopteris expansa</i>	1	
<i>Galium saxatile</i>	.	1	
<i>Galium sp.</i>	
<i>Gymnocarpium dryopteris</i>	.	2	.	4	1	
<i>Hypericum maculatum</i>	
<i>Linnaea borealis</i>	
<i>Lycopodium annotinum</i>	.	.	1	1	2	
<i>Maianthemum bifolium</i>	
<i>Melampyrum pratense</i>	1	.	.	.	1	2	.	1	1	1	.	1	.	1	
<i>Narthecium ossifragum</i>	10	10	10	15	10	
<i>Oreopteris limbosperma</i>	.	20	.	.	2	
<i>Orthilia secunda</i>	
<i>Oxalis acetosella</i>	.	1	
<i>Phegopteris connectilis</i>	.	15	.	.	1	
<i>Potentilla erecta</i>	.	.	.	1	1	.	.	.	1	.	.	1	
<i>Pteridium aquilinum</i>	
<i>Pyrola minor</i>	
<i>Solidago virgaurea</i>	
<i>Trientalis europaea</i>	.	1	1	1	1	.	1	1	1	
<i>Veronica officinalis</i>	
<i>Viola palustris</i>	
<i>Viola riviniana</i>	
<i>Agrostis capillaris</i>	
<i>Anthoxanthum odoratum</i>	
<i>Carex pilulifera</i>	
<i>Carex vaginata</i>	
<i>Carex sp.</i>	
<i>Deschampsia cespitosa</i>	3	
<i>Deschampsia flexuosa</i>	2	15	5	.	5	.	.	1	.	.	.	2	.	1	.	1	1	1	1	
<i>Eriophorum ang. ssp. ang.</i>	2	.	1	
<i>Luzula pilosa</i>	.	.	1	1	
<i>Molinia caerulea</i>	1	35	3	10	1	35	
<i>Trichophorum cespitosum</i>	4	1	.	10	7	10	20	10

Vedlegg 2a forts.

Felt - Site Analyse - Sample plot	A 1	A 2	A 3	A 4	A 5	B 1	B 2	B 3	B 4	B 5	C 1	C 2	C 3	C 4	C 5	D 1	D 2	D 3	D 4	D 5	E 1	E 2	E 3	E 4	E 5	
<i>Atrichum undulatum</i>	1	.	.	1	1	
<i>Bryum sp.</i>
<i>Dicranella heteromalla</i>	1	.	.	1	.	
<i>Dicranum fuscescens</i>	.	.	1	1	1	1	.	3	1	
<i>Dicranum majus</i>	1	1	1	1	1	1	1	1	.	.	5	10	5	10	25	10	20	25	20	20	20	7	40	30	15	45
<i>Dicranum polysetum</i>
<i>Dicranum scoparium</i>	1	1	2	1	1	1	1	
<i>Hylocomiastrum umbratum</i>	1	
<i>Hylocomium splendens</i>	30	70	20	40	25	5	30	1	1	.	1	25	40	50	25	40	20	30	20	40	3	7	7	30	5	
<i>Hypnum cupressiforme/jutl.</i>	1	1	.	1	.	.	1	.	3	10	1	2	1		
<i>Leucobryum glaucum</i>	
<i>Mnium hornum</i>	1	1	
<i>Plagiommium sp.</i>	1	
<i>Plagiommium affine</i>	1	
<i>Plagiothecium denticulatum</i>	1	1	1	
<i>Plagiothecium laetum</i>	.	1	5	1	2	1	1	10	7	10	15	5	1	1	12	1	5	
<i>Plagiothecium undulatum</i>	2	2	1	1	1	1	.	1	1	1		
<i>Pleurozium schreberi</i>	2	2	30	5	5	1	1	2	1	1	1	1	.	1	1	1	
<i>Pohlia nutans</i>	1	
<i>Polytrichastrum formosum</i>	.	.	1	.	.	1	.	.	1	1	70	2	1	1	1	1	2	1	1	1	3	1	10	1	20	
<i>Polytrichum commune</i>	1	1	1	.	.	.	
<i>Polytrichum juniperinum</i>	
<i>Pseudotaxiphyllum elegans</i>	1	.	1	
<i>Ptilium crista-castrensis</i>	1	1	1	1	1	3	12	5	15	3	.	1	2	10	1	1	1	1	1	5	
<i>Racomitrium lanuginosum</i>	
<i>Racomitrium heterostich. coll.</i>	1		
<i>Rhizomnium punctatum</i>	
<i>Rhytidiodelphus loreus</i>	1	1	7	1	12	1	1	.	.	.	3	7	7	7	3	.	10	2	1	2	1	5	1	1	1	
<i>Rhytidiodelphus squarrosus</i>	5	1	5	2	1	.	1	1	1	1	.	.	.	1	1	.	.	.	1		
<i>Rhytidiodelphus triquetrus</i>	2	3	2	.	.	1		
<i>Sanionia uncinata</i>	1	
<i>Sphagnum capillifolium</i>	40	20	.	40	45	
<i>Sphagnum magellanicum</i>	
<i>Sphagnum palustre</i>	
<i>Sphagnum papillosum</i>	
<i>Sphagnum quinquefarium</i>	1	
<i>Sphagnum russowii</i>	20	1	20	20	15	1	.	.	.	1	.	.	1	1	1		
<i>Sphagnum sect. Sphagnum</i>	1		
<i>Tetraphis pellucida</i>	1		
<i>Thuidium tamariscinum</i>	25	30	15	5	1	1	.	.	.	1	1	.	2	2	1		
<i>Anastrepta orcadensis</i>	.	.	.	1	1	1	.	1	1		
<i>Barbilophozia barbata</i>	.	1	.	1	1	
<i>Barbilophozia floerkei</i>	.	.	1	1	1	.		
<i>Bazzania trilobata</i>	
<i>Calypogeia muelleriana</i>	1	1		
<i>Calypogeia neesiana</i>	
<i>Cephalozia bicuspidata</i>	1	
<i>Cephalozia sp.</i>	1	1	.	
<i>Chiloscyphus coadunatus</i>	1	.	1	
<i>Chiloscyphus polyanthos</i>	1	
<i>Chiloscyphus profundus</i>	1	.	.	1	.	.	1	.	2	
<i>Diplophyllum albicans</i>	1	.	.	1	1	1	.	.	.	1	.	
<i>Hepaticae sp.</i>	1
<i>Jungermannia sp.</i>	1
<i>Lepidozia reptans</i>	1	1	
<i>Lophozia ventricosa coll.</i>	.	.	1	1	1	
<i>Nardia scalaris</i>	1	
<i>Pellia epiphylla</i>	1	

Vedlegg 2a forts.

Felt - Site Analyse - Sample plot	F 1	F 2	F 3	F 4	F 5	G 1	G 2	G 3	G 4	G 5	H 1	H 2	H 3	H 4	H 5	I 1	I 2	I 3	I 4	I 5	J 1	J 2	J 3	J 4	J 5		
<i>Atrichum undulatum</i>		
<i>Bryum sp.</i>	.	1		
<i>Dicranella heteromalla</i>		
<i>Dicranum fuscescens</i>	2	.	.	.		
<i>Dicranum majus</i>	10	65	5	2	1	.	.	1		
<i>Dicranum polysetum</i>	1	.	.	1	?	1	.	.	1			
<i>Dicranum scoparium</i>	1	1	1	1	?	1	.	.	?	.	1	1	.	1	1	1	1	3	2	1		
<i>Hylocomiastrum umbratum</i>		
<i>Hylocomium splendens</i>	25	1	1	3	1	.	.	7	1	1	10	?	10	7	1	?	1	20	10	1	40	5	2	80	20	50	70
<i>Hypnum cupressiforme/jutl.</i>	.	1	.	.	.	7	1	1	10	?	10	7	1	?	1	20	10	1	40	5	60	1	1	.	.	1	
<i>Leucobryum glaucum</i>	1	2		
<i>Mnium hornum</i>	.	1	1	1	1	
<i>Plagiomnium sp.</i>	
<i>Plagiomnium affine</i>	
<i>Plagiothecium denticulatum</i>	
<i>Plagiothecium laetum</i>	.	1	1	
<i>Plagiothecium undulatum</i>	1	3	10	3	3	.	.	2	1	1	2	?	1	1	1	?	1	7	1	1	12	1	10	2	2	1	
<i>Pleurozium schreberi</i>	1	1	.	1	.	2	1	1	2	?	1	1	1	1	?	1	7	1	1	12	1	1	10	2	2	1	
<i>Pohlia nutans</i>	1	1		
<i>Polytrichastrum formosum</i>	1	5	10	1	3	.	.	.	1		
<i>Polytrichum commune</i>	.	1	15	25	60	.	.	.	1	2		
<i>Polytrichum juniperinum</i>	1	1		
<i>Pseudotaxiphyllum elegans</i>	3	.	1	7	1		
<i>Ptilium crista-castrensis</i>	1	.	1	?	3	.	1	7	1		
<i>Racomitrium lanuginosum</i>	2	40	15	2	.	.	.	1	.	.	1	.	1		
<i>Racomitrium heterostich. coll.</i>		
<i>Rhizomnium punctatum</i>	.	1		
<i>Rhytidadelphus loreus</i>	25	10	40	2	10	1		
<i>Rhytidadelphus squarrosus</i>	.	1		
<i>Rhytidadelphus triquetrus</i>		
<i>Sanionia uncinata</i>		
<i>Sphagnum capillifolium</i>	1	.	.	.	?	10	40	45	90	.	3		
<i>Sphagnum magellanicum</i>	?		
<i>Sphagnum palustre</i>	.	.	.	1	7	5	?		
<i>Sphagnum papillosum</i>		
<i>Sphagnum quinquefarium</i>		
<i>Sphagnum russowii</i>	.	1	2	45	20		
<i>Sphagnum sect. Sphagnum</i>	.	.	1		
<i>Tetraphis pellucida</i>		
<i>Thuidium tamariscinum</i>	1	1	1	12	1		
<i>Anastrepta orcadensis</i>	.	1	1	.	.	1	.	1		
<i>Barbilophozia barbata</i>	1	.	.	1	.	1	1	.	1	.	1		
<i>Barbilophozia floerkei</i>	1	1	.	.	1	.	1		
<i>Bazzania trilobata</i>	?	1	1	.	1	.	1	.	.	3	.		
<i>Calypogeia muelleriana</i>	.	1	.	1		
<i>Calypogeia neesiana</i>	1			
<i>Cephalozia bicuspidata</i>		
<i>Cephalozia sp.</i>	.	1	?		
<i>Chiloscyphus coadunatus</i>		
<i>Chiloscyphus polyanthos</i>		
<i>Chiloscyphus profundus</i>	.	1	1		
<i>Diplophyllum albicans</i>	.	1	1		
<i>Hepaticae sp.</i>		
<i>Jungermannia sp.</i>	1	.	.	?	1		
<i>Lepidozia reptans</i>		
<i>Lophozia ventricosa coll.</i>	1		
<i>Nardia scalaris</i>		
<i>Pellia epiphylla</i>		

Vedlegg 2a forts.

Felt - Site Analyse - Sample plot	A 1	A 2	A 3	A 4	A 5	B 1	B 2	B 3	B 4	B 5	C 1	C 2	C 3	C 4	C 5	D 1	D 2	D 3	D 4	D 5	E 1	E 2	E 3	E 4	E 5
<i>Plagiochila asplenoides</i>	1	.	.	5	1	1	.	.	1	.	1	
<i>Ptilidium ciliare</i>	.	.	1	1	1
<i>Scapania undulata</i>	1
<i>Scapania uliginosa coll.</i>	1
<i>Tritomaria quinquedentata</i>	1
<i>Cladonia coniocraea</i>
<i>Cladonia cornuta</i>	1
<i>Cladonia crispata</i>
<i>Cladonia furcata</i>	.	.	1	1	1
<i>Cladonia gracilis</i>	.	.	1
<i>Cladonia portentosa</i>
<i>Cladonia rangiferina</i>	.	.	20
<i>Cladonia squamosa</i>	1
<i>Cladonia uncialis</i>
<i>Cladonia sp.</i>	.	.	1	1	.

Vedlegg 2a forts.

Felt - Site Analyse - Sample plot	F 1	F 2	F 3	F 4	F 5	G 1	G 2	G 3	G 4	G 5	H 1	H 2	H 3	H 4	H 5	I 1	I 2	I 3	I 4	I 5	J 1	J 2	J 3	J 4	J 5
<i>Plagiochila asplenoides</i>	1	1	1	1
<i>Ptilidium ciliare</i>
<i>Scapania undulata</i>
<i>Scapania uliginosa coll.</i>
<i>Tritomaria quinquedentata</i>	1
<i>Cladonia coniocraea</i>	1
<i>Cladonia cornuta</i>
<i>Cladonia crispata</i>	1
<i>Cladonia furcata</i>	1	?	1	1
<i>Cladonia gracilis</i>	1
<i>Cladonia portentosa</i>	7	10	3	4	?	.	1	1	.	1	2	1	.	15	20	15	.	7	1	.
<i>Cladonia rangiferina</i>	1
<i>Cladonia squamosa</i>	1	30	2	1	?	1	.	1	
<i>Cladonia uncialis</i>	1	30	2	1	?	1	.	1	
<i>Cladonia sp.</i>

Vedlegg 2b

Ruteanalyser for vegetasjon, prosent dekning av arter. Analyseruter K1-T5 fra Grovbekken 1998. – Vegetation analyses of the sample plots, percentage cover of species. Sample plots K1-T5 from Grovbekken 1988.

Felt - Site Analyse - Sample plot	K 1	K 2	K 3	K 4	K 5	L 1	L 2	L 3	L 4	L 5	M 1	M 2	M 3	M 4	M 5	N 1	N 2	N 3	N 4	N 5	O 1	O 2	O 3	O 4	O 5	
<i>Betula pubescens</i>	
<i>Juniperus communis</i>	1	1	.	4	2	.	1	5	
<i>Pinus sylvestris</i>	.	.	2	
<i>Sorbus aucuparia</i>	1	.	1	.	1	1	.	1	1	.	
<i>Andromeda polifolia</i>	.	.	1	1	
<i>Betula pubescens</i>	.	.	1	
<i>Calluna vulgaris</i>	12	10	12	6	10	25	4	15	4	16	1	2	3	8	3	
<i>Empetrum nigrum</i>	2	.	.	.	1	.	1	.	1	
<i>Erica tetralix</i>	1	5	2	1	5	2	.	1	1	2	
<i>Pinus sylvestris</i>	.	.	.	1	1	1	1	
<i>Sorbus aucuparia</i>	1	
<i>Vaccinium myrtillus</i>	.	.	1	.	.	12	10	2	25	10	10	25	30	20	6	1	2	.	3	4	65	70	80	50	40	
<i>Vaccinium oxyc. ssp. oxyc.</i>	1	1	
<i>Vaccinium uliginosum</i>	1	40	35	38	30	28	
<i>Vaccinium vitis-idaea</i>	1	.	.	1	1	1	.	10	10	5	6	.	3	10	3	2	5	5	3	4	.	
<i>Anemone nemorosa</i>	
<i>Angelica sylvestris</i>	
<i>Athyrium filix-femina</i>	1	
<i>Blechnum spicant</i>	
<i>Campanula rotundifolia</i>	
<i>Cirsium palustre</i>	
<i>Cornus suecica</i>	
<i>Dryopteris expansa</i>	
<i>Filipendula ulmaria</i>	
<i>Galium saxatile</i>	.	.	.	1	
<i>Galium uliginosum</i>	
<i>Geum urbanum</i>	
<i>Gymnocarpium dryopteris</i>	
<i>Lirnæa borealis</i>	
<i>Listera cordata</i>	
<i>Lycopodium annotinum</i>	1	
<i>Maianthemum bifolium</i>	1	
<i>Melampyrum pratense</i>	1	1	1	.	.	1	1	1	1	1	
<i>Narthecium ossifragum</i>	5	25	8	25	
<i>Oreopteris limbosperma</i>	
<i>Orthilia secunda</i>	
<i>Oxalis acetosella</i>	
<i>Phegopteris connectilis</i>	
<i>Potentilla erecta</i>	.	3	1	1	1	1	1
<i>Pteridium aquilinum</i>	2	
<i>Pyrola minor</i>	
<i>Solidago virgaurea</i>	
<i>Taraxacum sp.</i>	2	3	6	2	1	
<i>Trientalis europaea</i>	
<i>Viola palustris</i>	
<i>Viola riviniana</i>	
<i>Agrostis capillaris</i>	
<i>Agrostis canina</i>	
<i>Carex pallescens</i>	
<i>Carex pauciflora</i>	
<i>Carex pilulifera</i>	
<i>Carex vaginata</i>	
<i>Carex nigra ssp. nigra</i>	
<i>Carex sp.</i>	1	.	1	1	1	1	1	1	1		
<i>Deschampsia flexuosa</i>	1	.	1	1	1	1	1	1	1		

Vedlegg 2b forts.

Felt - Site Analyse - Sample plot	P 1	P 2	P 3	P 4	P 5	Q 1	Q 2	Q 3	Q 4	Q 5	R 1	R 2	R 3	R 4	R 5	S 1	S 2	S 3	S 4	S 5	T 1	T 2	T 3	T 4	T 5			
<i>Betula pubescens</i>	1	.			
<i>Juniperus communis</i>	.	.	1			
<i>Pinus sylvestris</i>	1	1			
<i>Sorbus aucuparia</i>	1	.	3	1	1	1	.	1	.	6	1				
<i>Andromeda polifolia</i>			
<i>Betula pubescens</i>	1			
<i>Calluna vulgaris</i>	1	.	1	1	17			
<i>Empetrum nigrum</i>			
<i>Erica tetralix</i>			
<i>Pinus sylvestris</i>	1			
<i>Sorbus aucuparia</i>	1			
<i>Vaccinium myrtillus</i>	.	1	3	12	1	2	1	15	12	40	65	7	35	55	40	60	38	65	30	13			
<i>Vaccinium oxyc. ssp. oxyc.</i>			
<i>Vaccinium uliginosum</i>	3	8	18	10	15	3	10			
<i>Vaccinium vitis-idaea</i>	1	.	1	1	2	.	1	3	10	15			
<i>Anemone nemorosa</i>	12	5	15	6	10	1	1	.	1	1	5	2	1			
<i>Angelica sylvestris</i>	1			
<i>Athyrium filix-femina</i>	.	.	.	4	.	.	5			
<i>Blechnum spicant</i>	.	.	.	10	.	1	1	.	1	3	.	5				
<i>Campanula rotundifolia</i>	.	1	.	1			
<i>Cirsium palustre</i>	2			
<i>Cornus suecica</i>	1	.	2			
<i>Dryopteris expansa</i>	.	.	.	1			
<i>Filipendula ulmaria</i>	.	5		
<i>Galium saxatile</i>	1	1	1	1	1	1	.	.	1	.	.	1	1	1			
<i>Galium uliginosum</i>	.	.	1		
<i>Geum urbanum</i>	2	3		
<i>Gymnocarpium dryopteris</i>	2	.	.	.	3		
<i>Linnaea borealis</i>	1	1	2	1	5	1	.	.	1			
<i>Listera cordata</i>	1	1		
<i>Lycopodium annotinum</i>	1	1	2	3	20	7	1		
<i>Maianthemum bifolium</i>	1	2	1	1	2	1	.	1			
<i>Melampyrum pratense</i>	1		
<i>Narthecium ossifragum</i>	1	.		
<i>Oreopteris limbosperma</i>	1	1	.	.	55	.	.	25		
<i>Orthilia secunda</i>	.	2	.	.	1		
<i>Oxalis acetosella</i>	.	1	.	.	1		
<i>Phegopteris connectilis</i>	35	6	4	8	38	20	35	10	30	.	7	75	10		
<i>Potentilla erecta</i>	1	5	1	8	1	2	15	6	2	1	1	1	5	1	1	.	.		
<i>Pteridium aquilinum</i>	3	.	15	4	6	1	7		
<i>Pyrola minor</i>	1		
<i>Solidago virgaurea</i>	3		
<i>Taraxacum sp.</i>	.	.	1		
<i>Trientalis europaea</i>	1	2	.	2	3	1	1	1	1	1	1	2	1	1	.	1	1	1	1	.	.		
<i>Viola palustris</i>	2	10	1	2	2		
<i>Viola riviniana</i>	1	5	1	1		
<i>Agrostis capillaris</i>	2	1	5	1	1	1	3	5	3	.	2	2	1		
<i>Agrostis canina</i>	2	1		
<i>Carex pallescens</i>	1		
<i>Carex pauciflora</i>	1		
<i>Carex pilulifera</i>	1	1	.	.	.		
<i>Carex vaginata</i>	1	
<i>Carex nigra ssp. nigra</i>	3	2	
<i>Carex sp.</i>	2	2	2	1	.	35	10	2	1	2	1	
<i>Deschampsia flexuosa</i>	1	2	1	2	2	1	1	10	1	2	5	2	2	1	.	35	10	2	1	2	1	.	.	1

Vedlegg 2b forts.

Felt - Site Analyse - Sample plot	K 1	K 2	K 3	K 4	K 5	L 1	L 2	L 3	L 4	L 5	M 1	M 2	M 3	M 4	M 5	N 1	N 2	N 3	N 4	N 5	O 1	O 2	O 3	O 4	O 5
<i>Molinia caerulea</i>	5	3	3	4	10	1	.	.	1	1	2	1	.	.	.	1	
<i>Trichophorum cespitosum</i>	13	3	15	2	7	1
<i>Brachythecium glareosum</i>
<i>Brachythecium reflexum</i>
<i>Brachythecium sp.</i>
<i>Campylopus flexuosus</i>	.	1	1
<i>Dicranum fuscescens</i>	1	.	1	1	1	.	.	1	.	.	1
<i>Dicranum majus</i>	1	2	.	5	1	1	1	10	5	.	2
<i>Dicranum polysetum</i>	1	.	.
<i>Dicranum scoparium</i>	1	1	1	1	1	1	.	1	.	1	1	1	.	3	2	
<i>Hylocomiastrum umbratum</i>	1	.	.	1	.	1	30	30	60	35	60	65	30	10	40
<i>Hylocomium splendens</i>	5	80	15	30	2	10	.	1	1	30	.	2	6	3	1	1	.	1	1	10
<i>Hypnum cupressiforme/jutl.</i>	1	3	.	.	5
<i>Mnium hornum</i>
<i>Plagiomnium affine</i>
<i>Plagiomnium elatum</i>
<i>Plagiothecium laetum</i>
<i>Plagiothecium undulatum</i>	1	1	1	1	1	.	.	.	15	2	1	1	2	1	5	1	1	1	1	1
<i>Pleurozium schreberi</i>	.	.	.	1	1	1	1	1	1	1	2	1	1	1	1	.	1	1	1	1	15	1	5	30	
<i>Pohlia nutans</i>
<i>Pohlia sp.</i>	1	.	.
<i>Polytrichastrum formosum</i>	1	.	1
<i>Polytrichum commune</i>
<i>Polytrichum juniperinum</i>	1
<i>Ptilium crista-castrensis</i>	.	1	1	1	1	5	15	1	1	.	.	.
<i>Racomitrium lanuginosum</i>	1	3	.	1	1	1	1	1	10	.	1
<i>Rhizomnium punctatum</i>
<i>Rhytidadelphus loreus</i>	1	1	3	1	.	.	1	.	.	.
<i>Rhytidadelphus squarrosus</i>
<i>Rhytidadelphus triquetrus</i>
<i>Sanionia uncinata</i>
<i>Sphagnum capillifolium</i>	1	18	2	.	60	95	60	85	25	1	1	1	.	10	25	30	85	1	.	.
<i>Sphagnum girgensohnii</i>
<i>Sphagnum palustre</i>
<i>Sphagnum russowii</i>
<i>Sphagnum tenellum</i>	45	18	25	1
<i>Tetraphis pellucida</i>
<i>Thuidium tamariscinum</i>
<i>Barbilophozia atlantica</i>	1
<i>Barbilophozia attenuata</i>	1
<i>Barbilophozia barbata</i>	1	.	.
<i>Barbilophozia floerkei</i>
<i>Barbilophozia lycopodioides</i>	1
<i>Bazzania trilobata</i>	1	.	.	.	1	2	5	.	.	1	.	.
<i>Blepharostoma trichophyllum</i>	1	1	1	1	
<i>Calypogeia muelleriana</i>	1	.	1	1	
<i>Calypogeia sphagnicola</i>	1
<i>Cephalozia bicuspidata</i>	1
<i>Cephalozia lunulifolia</i>	1
<i>Chiloscyphus polyanthus</i>	1
<i>Chiloscyphus profundus</i>	1
<i>Diplophyllum albicans</i>	1	1
<i>Hepaticae sp.</i>	1	1	.	.	.
<i>Kurzia sp.</i>	.	1	1
<i>Lophozia ventricosa coll.</i>	1	1	.	.	.
<i>Lophozia sp.</i>	1
<i>Mylia taylorii</i>

Vedlegg 2b forts.

Felt - Site Analyse - Sample plot	P 1	P 2	P 3	P 4	P 5	Q 1	Q 2	Q 3	Q 4	Q 5	R 1	R 2	R 3	R 4	R 5	S 1	S 2	S 3	S 4	S 5	T 1	T 2	T 3	T 4	T 5
<i>Molinia caerulea</i>	5	.	1	3	.	6	1	.	1	
<i>Trichophorum cespitosum</i>	
<i>Brachythecium glareosum</i>	.	1	.	1	1	
<i>Brachythecium reflexum</i>	1	
<i>Brachythecium sp.</i>	.	.	.	1	
<i>Campylopus flexuosus</i>	
<i>Dicranum fuscescens</i>	1	1	.	.	1	.	1	1	1	1	1	1	1	2	.	7	30	
<i>Dicranum majus</i>	1	5	1	1	3	1	.	1	.	1	5	2	1	.	1	1	2	3	1	1	3	.	.	.	
<i>Dicranum polysetum</i>	1	1	.	.	
<i>Dicranum scoparium</i>	1	1	1	1	1	1	1	2	1	
<i>Hylocomiastrum umbratum</i>	1	1	.	1	.	.	.	1	
<i>Hylocomium splendens</i>	2	25	5	20	50	6	1	15	2	20	10	7	20	35	90	60	35	25	4	2	45	12	25	.	1
<i>Hypnum cupressiforme/jutl.</i>	1	1	.	1	.	1	.	.	1	.	.	1	1	1	.	2	6	5	2	1	3	2	45	20	
<i>Mnium hornum</i>	1	1	1	
<i>Plagiomnium affine</i>	1	
<i>Plagiomnium elatum</i>	.	1	
<i>Plagiothecium laetum</i>	.	.	.	1	1	.	2	1	1	.	1	.	.		
<i>Plagiothecium undulatum</i>	1	1	1	1	5	1	7	2	2	1	.	1	1	1	.	1	1	1	1	1	1	1	.	.	
<i>Pleurozium schreberi</i>	.	1	.	1	1	1	.	1	1	12	1	1	3	3	3	.	.	.	3	2	2	2	2	2	
<i>Pohlia nutans</i>	.	.	.	1	.	.	.	1	
<i>Pohlia sp.</i>	
<i>Polytrichastrum formosum</i>	1	1	1	.	1	1	1	1	1	.	2	1	1	.	.	.	
<i>Polytrichum commune</i>	1	.	.	1	.	1	2	2	.	.	
<i>Polytrichum juniperinum</i>	
<i>Ptilium crista-castrensis</i>	1	5	1	1	15	.	.	1	.	.	1	.	.	1	2	.	1	.	1	.	
<i>Racomitrium lanuginosum</i>	
<i>Rhizomnium punctatum</i>	.	1	
<i>Rhytidadelphus loreus</i>	1	50	2	6	10	.	1	.	.	.	1	1	.	1	.	12	.	2	.	1	
<i>Rhytidadelphus squarrosus</i>	3	.	1	1	1	1	
<i>Rhytidadelphus triquetrus</i>	1	.	1	
<i>Sanionia uncinata</i>	.	.	.	1	
<i>Sphagnum capillifolium</i>	15	.	45	4	5	.	1	8	5	8	1	.	2	5	2	15	35	1	3	.	
<i>Sphagnum girgensohnii</i>	2		
<i>Sphagnum palustre</i>	20	.	10	.	.	.	15	.	2	
<i>Sphagnum russowii</i>	1	1	1	.	.	.	3	
<i>Sphagnum tenellum</i>	
<i>Tetraphis pellucida</i>	1	.	1		
<i>Thuidium tamariscinum</i>	10	30	12	
<i>Barbilophozia atlantica</i>	
<i>Barbilophozia attenuata</i>	1	1	1	1	1	.	
<i>Barbilophozia barbata</i>	1	.	.	.	1	1	1	1	1	1	.	.	
<i>Barbilophozia floerkei</i>	.	.	.	1	.	.	.	1	1	
<i>Barbilophozia lycopodioides</i>	
<i>Bazzania trilobata</i>	1	.	1	.	1	.	1	
<i>Blepharostoma trichophyllum</i>	1		
<i>Calypogeia muelleriana</i>	1	
<i>Calypogeia sphagnicola</i>	1	
<i>Cephalozia bicuspidata</i>	1	
<i>Cephalozia lunulifolia</i>	1	.	.	
<i>Chiloscyphus polyanthos</i>	.	1	
<i>Chiloscyphus profundus</i>	.	1	1	1	.	.	3	1	
<i>Diplophyllum albicans</i>	1	1	
<i>Hepaticae sp.</i>	
<i>Kurzia sp.</i>	
<i>Lophozia ventricosa coll.</i>	.	.	.	1	.	.	.	1	1	.	1	1	1	.	
<i>Lophozia sp.</i>	
<i>Mylia taylorii</i>	1	

Vedlegg 2b forts.

Felt - Site Analyse - Sample plot	K 1	K 2	K 3	K 4	K 5	L 1	L 2	L 3	L 4	L 5	M 1	M 2	M 3	M 4	M 5	N 1	N 2	N 3	N 4	N 5	O 1	O 2	O 3	O 4	O 5
<i>Odontoschisma sphagni</i>	.	1
<i>Pellia epiphylla</i>
<i>Plagiochila asplenoides</i>
<i>Ptilidium ciliare</i>	1	1	
<i>Scapania gracilis</i>
<i>Scapania nemorea</i>
<i>Scapania umbrosa</i>	.	1
<i>Tritomaria quinquedentata</i>
<i>Cladonia bellidiflora</i>
<i>Cladonia furcata</i>	.	.	.	1	.	1	1	1	1	1	1	
<i>Cladonia gracilis</i>	.	1	.	.	.	1	1	1	1	1	
<i>Cladonia portentosa</i>	.	1	.	1	3	4	2	1	25	13	1	.	1	.	1	.	1	
<i>Cladonia rangiferina</i>	.	.	.	1	.	1	1	1	
<i>Cladonia squamosa</i>	.	.	.	1	1	.	1	1	1	1	1	1	.	
<i>Cladonia subfurcata</i>	1	
<i>Cladonia uncialis</i>	1	1	.	1	1	1	1	3	1	2	
<i>Cladonia chlorophphaea coll.</i>	1	1	1	
<i>Cladonia sp.</i>	.	1	1	.	1	

Vedlegg 2b forts.

Felt - Site Analyse - Sample plot	P 1	P 2	P 3	P 4	P 5	Q 1	Q 2	Q 3	Q 4	Q 5	R 1	R 2	R 3	R 4	R 5	S 1	S 2	S 3	S 4	S 5	T 1	T 2	T 3	T 4	T 5
<i>Odontoschisma sphagni</i>
<i>Pellia epiphylla</i>	1	1																							
<i>Plagiochila asplenoides</i>	1	2	1	1	8	1	1	1	.
<i>Ptilidium ciliare</i>
<i>Scapania gracilis</i>	1	.	1	.	.	.
<i>Scapania nemorea</i>	1
<i>Scapania umbrosa</i>
<i>Tritomaria quinquedentata</i>	.	1	1	.	.	.
<i>Cladonia bellidiflora</i>	1
<i>Cladonia furcata</i>	2	1	1	1	.	.
<i>Cladonia gracilis</i>	1
<i>Cladonia portentosa</i>	1
<i>Cladonia rangiferina</i>	1
<i>Cladonia squamosa</i>	1	1	
<i>Cladonia subfurcata</i>	1
<i>Cladonia uncialis</i>	8
<i>Cladonia chlorophaea coll.</i>	1	.	1	.	.	.
<i>Cladonia sp.</i>	1	1

Vedlegg 3a

Ruteanalyser for vegetasjon, smårutefrekvens (1-16). Analyseruter A1-J5 fra Brommelandsbekken 1998. – Vegetation analyses of the sample plots, abundance as species frequency (1-16). Sample plots A1-J1 from Brommelandsbekken 1988.

Felt - Site Analyse - Sample plot	A 1	A 2	A 3	A 4	A 5	B 1	B 2	B 3	B 4	B 5	C 1	C 2	C 3	C 4	C 5	D 1	D 2	D 3	D 4	D 5	E 1	E 2	E 3	E 4	E 5				
<i>Alnus incana</i>	10	3				
<i>Betula pubescens</i>				
<i>Juniperus communis</i>	12	5				
<i>Myrica gale</i>				
<i>Picea abies</i>	2				
<i>Pinus sylvestris</i>				
<i>Sorbus aucuparia</i>	2	1	6	.	1	2	.	.	.	1	11	3	2	1	4	9	4	11	2	7	1	1	3	.	6				
<i>Andromeda polifolia</i>				
<i>Calluna vulgaris</i>	4	1	1				
<i>Empetrum nigrum</i>	.	.	.	11				
<i>Erica tetralix</i>				
<i>Picea abies</i>	2				
<i>Pinus sylvestris</i>	3	.	.	.	1	2				
<i>Rubus idaeus</i>	3	5	4	15	11	10	2				
<i>Vaccinium myrtillus</i>	16	16	16	16	16	9	16	15	11	6	16	16	16	16	16	16	16	16	16	15	12	10	5	3	13				
<i>Vaccinium uliginosum</i>	16	16	16	16	16	5	5	1	7	4	2	7	1				
<i>Vaccinium vitis-idaea</i>	16	16	16	16	16	5	5	1	7	4	2	7	1				
<i>Anemone nemorosa</i>	16	16	14	16	16	13	16	13	16	16				
<i>Athyrium filix-femina</i>	4	.	2	.	.	7	8	1	.	.	.	11	3	.				
<i>Blechnum spicant</i>	4	.	2	.	.	7	8	.	.	.	7				
<i>Campanula rotundifolia</i>	8	.	2	4	.				
<i>Dryopteris expansa</i>	8	.	2				
<i>Galium saxatile</i>	13	13	10	5	2	.	1	7	.	2	.	1	3	1	7	1				
<i>Galium sp.</i>	.	.	.	1				
<i>Gymnocarpium dryopteris</i>	14	14	16	16	16	4	12	14	7	5	.	8	2	11	6				
<i>Hypericum maculatum</i>	15				
<i>Linnaea borealis</i>	10	7	9	8	3	6	4	.	.	.	8	.	4	6				
<i>Lycopodium annotinum</i>	1	5	5	12				
<i>Maianthemum bifolium</i>	.	.	.	12	8	1				
<i>Melampyrum pratense</i>	9	8	13	11	9			
<i>Narthecium ossifragum</i>			
<i>Oreopteris limbosperma</i>			
<i>Orthilia secunda</i>	2	5			
<i>Oxalis acetosella</i>	1	1	6	.	.	11	6	7	6	5	7				
<i>Phegopteris connectilis</i>	6	.	4			
<i>Potentilla erecta</i>	3	12	4	10	16	3	3	.	1	5			
<i>Pteridium aquilinum</i>	14	12				
<i>Pyrola minor</i>	2	1	6			
<i>Solidago virgaurea</i>	6	2	.	.	1	6			
<i>Trientalis europaea</i>	15	7	11	7	.	2	5	10	6	12	12	14	15	9	3			
<i>Veronica officinalis</i>	2		
<i>Viola palustris</i>	1	1	4	14	15			
<i>Viola riviniana</i>	8	5	6	11		
<i>Agrostis capillaris</i>	16	16	15	16	16	15	15	15	12	11	.	5	.	12		
<i>Anthoxanthum odoratum</i>	1	1	3	.	.	2	.	.	3	.	4		
<i>Carex pilulifera</i>	2	
<i>Carex vaginata</i>	5	
<i>Carex sp.</i>	1	
<i>Deschampsia cespitosa</i>	2	8	16	
<i>Deschampsia flexuosa</i>	14	6	16	16	15	16	16	9	.	16	16	16	16	16	16	16	16	16	16	4	11	16	9	16	.	.	.		
<i>Eriophorum ang. ssp. ang.</i>
<i>Luzula pilosa</i>	1	.	6	2	.	7	.	3	2	3
<i>Molinia caerulea</i>
<i>Trichophorum cespitosum</i>

Vedlegg 3a forts.

Felt - Site Analyse - Sample plot	F 1	F 2	F 3	F 4	F 5	G 1	G 2	G 3	G 4	G 5	H 1	H 2	H 3	H 4	H 5	I 1	I 2	I 3	I 4	I 5	J 1	J 2	J 3	J 4	J 5
<i>Alnus incana</i>
<i>Betula pubescens</i>	1	9
<i>Juniiperus communis</i>	9
<i>Myrica gale</i>	9	14	14
<i>Picea abies</i>	1	3
<i>Pinus sylvestris</i>	3
<i>Sorbus aucuparia</i>	1	2	.	1	1	.	.	1	.	.	1
<i>Andromeda polifolia</i>	1	8	2	4	6	6	4	7	7	1	10
<i>Calluna vulgaris</i>	16	16	16	16	16	8	7	.	.	10	12	.	15	13	1	14	.	2	.	.
<i>Empetrum nigrum</i>	1
<i>Erica tetralix</i>	6	6	9	14	16	15	16	15	.	5
<i>Picea abies</i>
<i>Pinus sylvestris</i>	5
<i>Rubus idaeus</i>
<i>Vaccinium myrtillus</i>	.	11	7	6	11	16	14	14	16	16	14	15	.	.	.	16	16	16	16	16	16	16	16	16	16
<i>Vaccinium uliginosum</i>	16	16	14	16	16	8	15	1	6	1	16	16	15	16	16	.	.	.	7	.
<i>Vaccinium vitis-idaea</i>	16	16	14	16	16	8	15	1	6	1	16	16	15	16	16	16	10	16	9	11
<i>Anemone nemorosa</i>	.	6
<i>Athyrium filix-femina</i>
<i>Blechnum spicant</i>	.	4	.	2	5
<i>Campanula rotundifolia</i>
<i>Dryopteris expansa</i>	1
<i>Galium saxatile</i>	.	5
<i>Galium sp.</i>
<i>Gymnocarpium dryopteris</i>	.	1	.	9	6
<i>Hypericum maculatum</i>
<i>Linnaea borealis</i>
<i>Lycopodium annotinum</i>	.	.	1	2	3
<i>Maianthemum bifolium</i>
<i>Melampyrum pratense</i>	1	4	8	.	6	10	10	.	7	.	1
<i>Narthecium ossifragum</i>	14	16	14	16	16
<i>Oreopteris limbosperma</i>	.	6	.	.	6
<i>Orthilia secunda</i>
<i>Oxalis acetosella</i>	.	2
<i>Phegopteris connectilis</i>	.	10	.	.	5	3	.	.	3
<i>Potentilla erecta</i>	.	.	2	3	.	.	3
<i>Pteridium aquilinum</i>
<i>Pyrola minor</i>
<i>Solidago virgaurea</i>
<i>Trientalis europaea</i>	.	2	4	2	9	.	5	6	7
<i>Veronica officinalis</i>
<i>Viola palustris</i>
<i>Viola riviniana</i>
<i>Agrostis capillaris</i>
<i>Anthoxanthum odoratum</i>
<i>Carex pilulifera</i>
<i>Carex vaginata</i>
<i>Carex sp.</i>
<i>Deschampsia cespitosa</i>	14
<i>Deschampsia flexuosa</i>	14	15	16	.	5	.	3	1	1	11	6	1
<i>Eriophorum ang. ssp. ang.</i>	11	.	1
<i>Luzula pilosa</i>	.	.	1	1	5	16	5	16	5	16
<i>Molinia caerulea</i>	4	1	10	11	11	16	16
<i>Trichophorum cespitosum</i>

Vedlegg 3a forts.

Felt - Site Analyse - Sample plot	A 1	A 2	A 3	A 4	A 5	B 1	B 2	B 3	B 4	B 5	C 1	C 2	C 3	C 4	C 5	D 1	D 2	D 3	D 4	D 5	E 1	E 2	E 3	E 4	E 5	
<i>Atrichum undulatum</i>	2	.	.	1	6	
<i>Bryum sp.</i>
<i>Dicranella heteromalla</i>
<i>Dicranum fuscescens</i>	.	.	1	4	.	.	.	1	9	4	4	5	.	
<i>Dicranum majus</i>	10	8	12	10	6	5	1	8	.	.	12	15	12	14	16	14	8	16	16	16	8	16	15	16	14	
<i>Dicranum polysetum</i>	1	5	1	3	3	4	
<i>Dicranum scoparium</i>	1	1	5	1	3	3	4	.	
<i>Hylocomiastrum umbratum</i>	7	
<i>Hylocomium splendens</i>	16	16	8	16	13	10	16	6	1	.	10	16	16	16	16	16	16	16	16	16	16	16	16	16	.	
<i>Hypnum cupressiforme/jutl.</i>	1	3	.	2	.	.	1	.	15	12	1	5	3	.	
<i>Leucobryum glaucum</i>
<i>Mnium hornum</i>	1	2	
<i>Plagiomnium sp.</i>	1	
<i>Plagiomnium affine</i>	7	
<i>Plagiothecium denticulatum</i>	1	4	12	
<i>Plagiothecium laetum</i>	.	1	4	.	.	7	1	2	3	3	3	.	
<i>Plagiothecium undulatum</i>	9	16	3	13	10	6	14	16	14	16	15	7	5	16	1	16	.
<i>Pleurozium schreberi</i>	16	16	16	16	13	2	11	9	9	12	3	1	2	.	2	4	4	4
<i>Pohlia nutans</i>	1
<i>Polytrichastrum formosum</i>	.	.	1	.	.	1	.	.	2	1	16	12	6	8	1	3	6	8	5	2	14	5	11	5	16	.
<i>Polytrichum commune</i>	1	2	3
<i>Polytrichum juniperinum</i>
<i>Pseudotaxiphyllum elegans</i>	2	.	1	
<i>Ptilium crista-castreensis</i>	5	5	7	15	4	14	16	16	15	15	.	8	12	14	2	7	1	13	6	13	.	
<i>Racomitrium lanuginosum</i>
<i>Racomitrium heterostich. coll.</i>	1
<i>Rhizomnium punctatum</i>
<i>Rhytidadelphus loreus</i>	3	6	13	1	11	1	7	.	.	16	14	9	12	13	.	13	15	7	14	2	4	2	6	5	.	
<i>Rhytidadelphus squarrosus</i>	11	6	13	9	3	5	7	7	8	.	.	.	1	4	.	.	2	.	.	.	
<i>Rhytidadelphus triquetrus</i>	7	10	6	.	3	
<i>Sanionia uncinata</i>	2
<i>Sphagnum capillifolium</i>	16	7	.	13	12	.	.	.	1
<i>Sphagnum magellanicum</i>
<i>Sphagnum palustre</i>
<i>Sphagnum papillosum</i>
<i>Sphagnum quinquefarium</i>	5
<i>Sphagnum russowii</i>	13	3	11	16	16	8	.	.	.	1	.	.	7	3	.	.	1
<i>Sphagnum sect. Sphagnum</i>
<i>Tetraphis pellucida</i>
<i>Thuidium tamariscinum</i>	16	16	13	9	1	5	.	.	.	2	3	.	6	6	6
<i>Anastrepta orcadensis</i>	.	.	.	2	3	2	.	1	1
<i>Barbilophozia barbata</i>	.	1	.	4	1
<i>Barbilophozia floerkei</i>	.	2	2	1
<i>Bazzania trilobata</i>
<i>Calypogeia muelleriana</i>	1	1
<i>Calypogeia neesiana</i>	1
<i>Cephalozia bicuspidata</i>	2
<i>Cephalozia sp.</i>	1
<i>Chiloscyphus coadunatus</i>	1	.	1
<i>Chiloscyphus polyanthos</i>	1
<i>Chiloscyphus profundus</i>	1	.	.	1	.	.	1	.	13	
<i>Diplophyllum albicans</i>	1	.	.	2	3	1	1
<i>Hepaticae sp.</i>	1
<i>Jungermannia sp.</i>
<i>Lepidozia reptans</i>	1
<i>Lophozia ventricosa coll.</i>	.	1	1	1
<i>Nardia scalaris</i>	1
<i>Pellia epiphylla</i>	2

Vedlegg 3a forts.

Felt - Site Analyse - Sample plot	F 1	F 2	F 3	F 4	F 5	G 1	G 2	G 3	G 4	G 5	H 1	H 2	H 3	H 4	H 5	I 1	I 2	I 3	I 4	I 5	J 1	J 2	J 3	J 4	J 5	
<i>Atrichum undulatum</i>	
<i>Bryum sp.</i>	.	1	
<i>Dicranella heteromalla</i>	
<i>Dicranum fuscescens</i>	3	
<i>Dicranum majus</i>	14	16	12	4	3	.	.	1	
<i>Dicranum polysetum</i>	2	.	.	4	1	1	.	1	.	1		
<i>Dicranum scoparium</i>	2	1	2	6	6	1	.	.	1	.	4	4	.	5	11	3	1	15	9	1	
<i>Hylocomiastrum umbratum</i>	3	.	2	.	10	16	11	16	16	
<i>Hylocomium splendens</i>	16	7	3	3	3	3	.	2	.	10	16	11	16	16	
<i>Hypnum cupressiforme/jutl.</i>	.	1	.	.	.	16	4	2	12	16	10	12	3	1	6	16	11	8	16	16	16	2	4	.	8	
<i>Leucobryum glaucum</i>	1	2	
<i>Mnium hornum</i>	.	5	6	6	8	
<i>Plagiomnium sp.</i>	
<i>Plagiomnium affine</i>	
<i>Plagiothecium denticulatum</i>	
<i>Plagiothecium laetum</i>	.	4	7	
<i>Plagiothecium undulatum</i>	1	14	16	15	13	4	
<i>Pleurozium schreberi</i>	3	4	.	2	.	16	1	4	16	3	9	12	1	4	3	15	5	9	16	12	13	13	15	15	10	
<i>Pohlia nutans</i>	2	1	
<i>Polytrichastrum formosum</i>	4	12	16	11	8	.	.	2	
<i>Polytrichum commune</i>	.	10	16	16	16	.	.	.	1	7	
<i>Polytrichum juniperinum</i>	2	1	
<i>Pseudotaxiphyllum elegans</i>	
<i>Ptilium crista-castrensis</i>	6	.	3	.	.	.	10	16	16	7	.	.	4	13	.	1	15	9	.	
<i>Racomitrium lanuginosum</i>	10	16	16	7	.	.	4	.	.	1	
<i>Racomitrium heterostich. coll.</i>	
<i>Rhizomnium punctatum</i>	.	4	
<i>Rhytidadelphus loreus</i>	15	16	15	12	16	1	
<i>Rhytidadelphus squarrosus</i>	.	6	
<i>Rhytidadelphus triquetrus</i>	
<i>Sanionia uncinata</i>	
<i>Sphagnum capillifolium</i>	1	.	.	6	8	16	16	16	.	7	
<i>Sphagnum magellanicum</i>	1	
<i>Sphagnum palustre</i>	.	.	.	4	3	5	9	
<i>Sphagnum papillosum</i>	
<i>Sphagnum quinquefarium</i>	
<i>Sphagnum russowii</i>	.	5	4	12	14	
<i>Sphagnum sect. Sphagnum</i>	.	.	5	
<i>Tetraphis pellucida</i>	
<i>Thuidium tamariscinum</i>	5	4	3	14	5	
<i>Anastrepta orcadensis</i>	.	5	1	.	.	1	.	.	1	.	.	.	
<i>Barbilophozia barbata</i>	1	.	.	1	.	9	.	10	.	1	.	
<i>Barbilophozia floerkei</i>	4	1	.	.	5	6	.	14	2	.	
<i>Bazzania trilobata</i>	1	
<i>Calypogeia muelleriana</i>	.	2	.	.	5	3	
<i>Calypogeia neesiana</i>	
<i>Cephalozia bicuspidata</i>	
<i>Cephalozia sp.</i>	.	1	1	
<i>Chiloscyphus coadunatus</i>	
<i>Chiloscyphus polyanthos</i>	
<i>Chiloscyphus profundus</i>	.	6	5	.
<i>Diplophyllum albicans</i>	.	4	2	
<i>Hepaticae sp.</i>	
<i>Jungermannia sp.</i>	2	.	.	1	2	
<i>Lepidozia reptans</i>	
<i>Lophozia ventricosa coll.</i>	2	
<i>Nardia scalaris</i>	
<i>Pellia epiphylla</i>	

Vedlegg 3a forts.

Felt - Site Analyse - Sample plot	A 1	A 2	A 3	A 4	A 5	B 1	B 2	B 3	B 4	B 5	C 1	C 2	C 3	C 4	C 5	D 1	D 2	D 3	D 4	D 5	E 1	E 2	E 3	E 4	E 5
<i>Plagiochila asplenoides</i>	5	.	.	16	2	5	.	.	1	.	1	
<i>Ptilidium ciliare</i>	.	.	5	5	2
<i>Scapania undulata</i>	1	
<i>Scapania uliginosa coll.</i>	1	
<i>Tritomaria quinquedentata</i>	2	
<i>Cladonia coniocraea</i>	
<i>Cladonia cornuta</i>	1	
<i>Cladonia crispata</i>	
<i>Cladonia furcata</i>	.	.	1	5	2	.	
<i>Cladonia gracilis</i>	.	.	1	
<i>Cladonia portentosa</i>	
<i>Cladonia rangiferina</i>	.	.	16	1	
<i>Cladonia squamosa</i>	
<i>Cladonia uncialis</i>	
<i>Cladonia sp.</i>	.	.	1	2	

Vedlegg 3a forts.

Felt - Site Analyse - Sample plot	F 1	F 2	F 3	F 4	F 5	G 1	G 2	G 3	G 4	G 5	H 1	H 2	H 3	H 4	H 5	I 1	I 2	I 3	I 4	I 5	J 1	J 2	J 3	J 4	J 5
<i>Plagiochila asplenoides</i>	2	5	2	4
<i>Ptilidium ciliare</i>
<i>Scapania undulata</i>
<i>Scapania uliginosa coll.</i>
<i>Tritomaria quinquedentata</i>	1	
<i>Cladonia coniocraea</i>	1	.	.	
<i>Cladonia cornuta</i>
<i>Cladonia crispata</i>	1	
<i>Cladonia furcata</i>	2	1	1	5	.	.	
<i>Cladonia gracilis</i>	2
<i>Cladonia portentosa</i>	16	16	14	16	15	.	2	4	.	2	7	7	.	15	15	15	.	16	4	.
<i>Cladonia rangiferina</i>	1
<i>Cladonia squamosa</i>	1
<i>Cladonia uncialis</i>	3	15	10	9	3	5	.	2	
<i>Cladonia sp.</i>

Vedlegg 3b

Ruteanalyser for vegetasjon, smårutefrekvens (1-16). Analyseruter K1-T5 fra Grovbekken 1998. – Vegetation analyses of the sample plots, abundance as species frequency (1-16). Sample plots K1-T5 from Grovbekken 1988.

Felt - Site Analyse - Sample plot	K 1	K 2	K 3	K 4	K 5	L 1	L 2	L 3	L 4	L 5	M 1	M 2	M 3	M 4	M 5	N 1	N 2	N 3	N 4	N 5	O 1	O 2	O 3	O 4	O 5
<i>Betula pubescens</i>
<i>Juniperus communis</i>	2	3	.	4	1	.	2	4
<i>Pinus sylvestris</i>	.	.	2	3	.	2	.	2	2	.	2	1
<i>Sorbus aucuparia</i>	3	.	2	.	2	2	.	2	1
<i>Andromeda polifolia</i>	.	.	4	6
<i>Betula pubescens</i>																									
<i>Calluna vulgaris</i>	13	16	14	15	14	16	7	15	11	14	2	2	10	11	6	
<i>Empetrum nigrum</i>							15	.	.	.	1	.	2
<i>Erica tetralix</i>	9	16	12	13	16	8	.	5	3	13
<i>Pinus sylvestris</i>	.	.	2	2	3	1
<i>Sorbus aucuparia</i>	1
<i>Vaccinium myrtillus</i>	.	.	1	.	.	16	16	15	16	16	16	16	16	16	16	1	9	.	9	15	16	16	16	16	16
<i>Vaccinium oxyc. ssp. oxyc.</i>	14	8
<i>Vaccinium uliginosum</i>	1	16	16	16	15	16	
<i>Vaccinium vitis-idaea</i>	1	.	.	1	4	8	.	15	1	16	16	.	16	16	14	16	14	16	15	16	.
<i>Anemone nemorosa</i>
<i>Angelica sylvestris</i>
<i>Athyrium filix-femina</i>	6
<i>Blechnum spicant</i>
<i>Campanula rotundifolia</i>
<i>Cirsium palustre</i>
<i>Cornus suecica</i>
<i>Dryopteris expansa</i>
<i>Filipendula ulmaria</i>
<i>Galium saxatile</i>	2
<i>Galium uliginosum</i>
<i>Geum urbanum</i>
<i>Gymnocarpium dryopteris</i>
<i>Linnaea borealis</i>
<i>Listera cordata</i>
<i>Lycopodium annotinum</i>
<i>Maianthemum bifolium</i>	1
<i>Melampyrum pratense</i>	1	1	2	.	.	2	1	2	3
<i>Narthecium ossifragum</i>	7	16	16	16	9
<i>Oreopteris limbosperma</i>
<i>Orthilia secunda</i>
<i>Oxalis acetosella</i>
<i>Phegopteris connectilis</i>
<i>Potentilla erecta</i>	.	14	5	5	1	1	2	.
<i>Pteridium aquilinum</i>	2
<i>Pyrola minor</i>
<i>Solidago virgaurea</i>
<i>Taraxacum sp.</i>
<i>Trientalis europaea</i>	16	16	16	13	12
<i>Viola palustris</i>
<i>Viola riviniana</i>
<i>Agrostis capillaris</i>
<i>Agrostis canina</i>
<i>Carex pallescens</i>
<i>Carex pauciflora</i>
<i>Carex pilulifera</i>
<i>Carex vaginata</i>
<i>Carex nigra ssp. nigra</i>
<i>Carex sp.</i>	9	.	2	16	6	2	11	.	.	.
<i>Deschampsia flexuosa</i>

Vedlegg 3b forts.

Felt - Site Analyse - Sample plot	P 1	P 2	P 3	P 4	P 5	Q 1	Q 2	Q 3	Q 4	Q 5	R 1	R 2	R 3	R 4	R 5	S 1	S 2	S 3	S 4	S 5	T 1	T 2	T 3	T 4	T 5
<i>Betula pubescens</i>	1	.	.
<i>Juniperus communis</i>	.	.	2	4	4
<i>Pinus sylvestris</i>
<i>Sorbus aucuparia</i>	3	.	4	1	1	2	.	1	.	5	1	
<i>Andromeda polifolia</i>
<i>Betula pubescens</i>	1	
<i>Calluna vulgaris</i>	1	.	4	13	12	
<i>Empetrum nigrum</i>	
<i>Erica tetralix</i>	
<i>Pinus sylvestris</i>	1	
<i>Sorbus aucuparia</i>	4	
<i>Vaccinium myrtillus</i>	.	7	15	16	10	15	6	16	14	16	16	16	16	16	16	16	16	16	16	10	
<i>Vaccinium oxy. ssp. oxy.</i>	
<i>Vaccinium uliginosum</i>	3	.	4	1	11	.	1	7	16	16	.	.	.	16	16	16	16	15	
<i>Vaccinium vitis-idaea</i>	3	.	4	1	11	.	1	7	16	16	16	16	16	16	15	
<i>Anemone nemorosa</i>	16	15	13	16	16	11	3	.	2	4	11	12	2	
<i>Angelica sylvestris</i>	5	
<i>Athyrium filix-femina</i>	.	.	.	3	.	.	2	
<i>Blechnum spicant</i>	.	.	.	11	.	2	4	.	3	4	.	10	
<i>Campanula rotundifolia</i>	.	2	.	1	
<i>Cirsium palustre</i>	3	
<i>Cornus suecica</i>	2	.	4	
<i>Dryopteris expansa</i>	.	.	.	1	
<i>Filipendula ulmaria</i>	.	15	
<i>Galium saxatile</i>	1	5	4	8	9	1	.	3	.	.	2	6	1	
<i>Galium uliginosum</i>	.	.	3	
<i>Geum urbanum</i>	10	8	
<i>Gymnocarpium dryopteris</i>	7	.	.	.	5	
<i>Linnaea borealis</i>	7	4	16	8	15	1	.	2	
<i>Listera cordata</i>	1	2	
<i>Lycopodium annotinum</i>	6	1	13	14	16	16	8	
<i>Maianthemum bifolium</i>	3	12	3	3	11	12	.	1		
<i>Melampyrum pratense</i>	2	3	11	12	.	14	
<i>Narthecium ossifragum</i>	
<i>Oreopteris limbosperma</i>	1	1	.	.	16	.	11	
<i>Orthilia secunda</i>	.	7	.	.	5	
<i>Oxalis acetosella</i>	.	10	.	.	1	
<i>Phegopteris connectilis</i>	16	7	13	16	16	11	16	15	16	.	11	16	8	
<i>Potentilla erecta</i>	3	15	9	14	5	12	14	15	11	4	5	2	12	6	3	.	
<i>Pteridium aquilinum</i>	4	.	12	6	7	4	7	
<i>Pyrola minor</i>	1	
<i>Solidago virgaurea</i>	.	.	.	2	
<i>Taraxacum sp.</i>	.	.	5	
<i>Trientalis europaea</i>	2	11	.	9	12	13	5	8	3	4	5	10	6	3	.	1	2	.	.	4	3	.	.	.	
<i>Viola palustris</i>	5	13	2	4	15	
<i>Viola riviniana</i>	9	16	4	7	
<i>Agrostis capillaris</i>	9	10	16	9	12	14	16	9	10	.	9	8	11	
<i>Agrostis canina</i>	9	1	
<i>Carex pallescens</i>	1	
<i>Carex pauciflora</i>	1	
<i>Carex pilulifera</i>	1	
<i>Carex vaginata</i>	9	
<i>Carex nigra ssp. nigra</i>	.	13	13	
<i>Carex sp.</i>	12	
<i>Deschampsia flexuosa</i>	5	16	16	16	16	16	10	16	16	16	14	14	13	10	.	16	16	11	9	8	1	.	4	.	

Vedlegg 3b forts.

Felt - Site Analyse - Sample plot	K 1	K 2	K 3	K 4	K 5	L 1	L 2	L 3	L 4	L 5	M 1	M 2	M 3	M 4	M 5	N 1	N 2	N 3	N 4	N 5	O 1	O 2	O 3	O 4	O 5	
<i>Molinia caerulea</i>	16	16	16	16	16	2	.	.	2	1	15	.	.	.	5	2		
<i>Trichophorum cespitosum</i>	15	15	16	12	6	6	
<i>Brachythecium glareosum</i>	
<i>Brachythecium reflexum</i>	
<i>Brachythecium sp.</i>	
<i>Campylopus flexuosus</i>	.	2	1	2	.	1	2	6	.	.	1	.	
<i>Dicranum fuscescens</i>	1	7	.	12	4	3	7	8	7	7	
<i>Dicranum majus</i>	1	
<i>Dicranum polysetum</i>	1	
<i>Dicranum scoparium</i>	1	1	1	4	4	2	.	1	.	4	4	1	.	10	9	
<i>Hylocomiastrum umbratum</i>	1	1	1	4	4	2	.	1	.	4	4	1	.	10	9	
<i>Hylocomium splendens</i>	3	.	5	.	3	16	16	16	16	16	16	16	16	16	16	
<i>Hypnum cupressiforme/jutl.</i>	1	6	.	11	.	16	11	16	9	14	.	4	2	14	.	5	11	7	4	1	.	1	8	12		
<i>Mnium hornum</i>	
<i>Plagiomnium affine</i>	
<i>Plagiomnium elatum</i>	
<i>Plagiothecium laetum</i>	15	7	5	7	14	13	11	2	2	1	
<i>Plagiothecium undulatum</i>	15	7	5	7	14	13	11	2	2	1	
<i>Pleurozium schreberi</i>	.	.	1	5	6	4	4	9	8	15	2	5	6	12	1	.	2	2	6	13	13	8	16	16		
<i>Pohlia nutans</i>	1		
<i>Pohlia sp.</i>	
<i>Polytrichastrum formosum</i>	3	.	1		
<i>Polytrichum commune</i>	
<i>Polytrichum juniperinum</i>	1		
<i>Ptilium crista-castreensis</i>	.	1	8	1	6	16	16	9	3	.	.	.	
<i>Racomitrium lanuginosum</i>	3	13	.	10	2	6	3	14	.	1	
<i>Rhizomnium punctatum</i>	
<i>Rhytidadelphus loreus</i>	1	3	6	7	.	.	3	.	.	.		
<i>Rhytidadelphus squarrosus</i>	1	
<i>Rhytidadelphus triquetrus</i>	
<i>Sanionia uncinata</i>	
<i>Sphagnum capillifolium</i>	7	5	1	.	16	16	16	16	14	1	2	1	.	6	12	16	16	4	.	.	
<i>Sphagnum girgensohnii</i>	
<i>Sphagnum palustre</i>	
<i>Sphagnum russowii</i>	
<i>Sphagnum tenellum</i>	14	7	14	4	
<i>Tetraphis pellucida</i>	
<i>Thuidium tamariscinum</i>	
<i>Barbilophozia atlantica</i>	1	
<i>Barbilophozia attenuata</i>	2	
<i>Barbilophozia barbata</i>	2	.	
<i>Barbilophozia floerkei</i>	
<i>Barbilophozia lycopodioides</i>	1		
<i>Bazzania trilobata</i>	4	.	.	5	6	.	.	.	7	.	.	2	.	.	2	.	.	
<i>Blepharostoma trichophyllum</i>	
<i>Calypogeia muelleriana</i>	2	.	2	1		
<i>Calypogeia sphagnicola</i>	
<i>Cephalozia bicuspidata</i>	1		
<i>Cephalozia lunulifolia</i>	
<i>Chiloscyphus polyanthos</i>	3	
<i>Chiloscyphus profundus</i>	
<i>Diplophyllum albicans</i>	.	1	1	
<i>Hepaticae sp.</i>	1	1	.	.	
<i>Kurzia sp.</i>	.	1	3	
<i>Lophozia ventricosa coll.</i>	1	
<i>Lophozia sp.</i>	1
<i>Mylia taylorii</i>

Vedlegg 3b forts.

Felt - Site Analysé - Sample plot	P 1	P 2	P 3	P 4	P 5	Q 1	Q 2	Q 3	Q 4	Q 5	R 1	R 2	R 3	R 4	R 5	S 1	S 2	S 3	S 4	S 5	T 1	T 2	T 3	T 4	T 5
<i>Molinia caerulea</i>	16	.	7	10	.	.	8	7	.	3	
<i>Trichophorum cespitosum</i>	
<i>Brachythecium glareosum</i>	.	2	.	4	2	
<i>Brachythecium reflexum</i>	1	
<i>Brachythecium sp.</i>	.	.	1	
<i>Campylopus flexuosus</i>	
<i>Dicranum fuscescens</i>	2	2	.	.	2	.	2	.	2	4	4	4	4	4	5	.	13	14	
<i>Dicranum majus</i>	6	14	2	3	14	2	.	3	.	4	15	10	1	.	4	1	2	9	1	2	4	.	.	.	
<i>Dicranum polysetum</i>	2	1	.	.	.	
<i>Dicranum scoparium</i>	1	2	1	1	3	5	8	8	2	.	
<i>Hylocomiastrium umbratum</i>	6	3	.	2	.	.	.	1	
<i>Hylocomium splendens</i>	11	16	9	16	16	16	13	12	12	15	13	15	9	15	16	16	16	14	11	14	16	13	15	.	
<i>Hypnum cupressiforme/jutl.</i>	1	2	.	1	.	1	.	.	3	.	.	1	1	1	.	4	6	16	4	4	9	14	16	8	
<i>Mnium hornum</i>	1	4	9	
<i>Plagiomnium affine</i>	5	
<i>Plagiomnium elatum</i>	.	8	
<i>Plagiothecium laetum</i>	.	.	1	3	.	8	7	2	.	.	1	.	.	
<i>Plagiothecium undulatum</i>	3	2	9	15	12	13	16	13	12	6	.	8	2	4	.	.	5	.	1	8	5	9	.	.	
<i>Pleurozium schreberi</i>	.	2	.	1	2	3	.	4	4	13	1	7	15	14	16	.	.	.	15	10	15	11	7	.	
<i>Pohlia nutans</i>	.	.	1	1	
<i>Pohlia sp.</i>	
<i>Polytrichastrum formosum</i>	2	3	3	.	8	13	9	3	7	.	10	7	6	.	.	7	.	7	10	.	
<i>Polytrichum commune</i>	
<i>Polytrichum juniperinum</i>	6	.	.	.	7	.	7	10	.	
<i>Ptilium crista-castrensis</i>	2	12	1	5	16	.	.	1	.	.	2	.	.	1	13	.	1	.	1	.	
<i>Racomitrium lanuginosum</i>	
<i>Rhizomnium punctatum</i>	.	5	
<i>Rhytidadelphus loreus</i>	11	16	9	12	16	.	3	.	.	.	3	1	.	.	5	.	16	.	10	.	.	4	.	.	
<i>Rhytidadelphus squarrosus</i>	10	.	6	4	9	4	
<i>Rhytidadelphus triquetrus</i>	1	.	7	
<i>Sanionia uncinata</i>	.	.	1	
<i>Sphagnum capillifolium</i>	14	.	12	13	14	.	10	15	13	9	5	.	9	14	10	12	14	3	3	.	
<i>Sphagnum girgensohnii</i>	15		
<i>Sphagnum palustre</i>	11	.	5	.	.	9	.	5	
<i>Sphagnum russowii</i>	5	9	5	.	.	3	
<i>Sphagnum tenellum</i>	2	.	1		
<i>Tetraphis pellucida</i>	
<i>Thuidium tamariscinum</i>	13	16	13	
<i>Barbilophozia atlantica</i>	
<i>Barbilophozia attenuata</i>	4	4	12	1	1	.	
<i>Barbilophozia barbata</i>	1	.	.	1	.	.	1	4	4	12	1	1	.	
<i>Barbilophozia floerkei</i>	.	.	1	.	.	.	1	2	4	
<i>Barbilophozia lycopodioides</i>	
<i>Bazzania trilobata</i>	1	.	2	.	.	2	
<i>Blepharostoma trichophyllum</i>	1		
<i>Calypogeia muelleriana</i>	1		
<i>Calypogeia sphagnicola</i>	1	
<i>Cephalozia bicuspidata</i>	1	
<i>Cephalozia lunulifolia</i>	
<i>Chiloscyphus polyanthos</i>	.	2	
<i>Chiloscyphus profundus</i>	.	1	1	.	.	.	2	.	.	7	6	
<i>Diplophyllum albicans</i>	1	2	
<i>Hepaticae sp.</i>	
<i>Kurzia sp.</i>	
<i>Lophozia ventricosa coll.</i>	.	.	1	.	.	.	1	1	.	7	4	.	.	
<i>Lophozia sp.</i>	
<i>Mylia taylorii</i>	2	

Vedlegg 3b forts.

Felt - Site Analyse - Sample plot	K 1	K 2	K 3	K 4	K 5	L 1	L 2	L 3	L 4	L 5	M 1	M 2	M 3	M 4	M 5	N 1	N 2	N 3	N 4	N 5	O 1	O 2	O 3	O 4	O 5
<i>Odontoschisma sphagni</i>	.	4
<i>Pellia epiphylla</i>
<i>Plagiochila asplenoides</i>
<i>Ptilidium ciliare</i>	2	2
<i>Scapania gracilis</i>
<i>Scapania nemorea</i>
<i>Scapania umbrosa</i>	.	1
<i>Tritomaria quinquedentata</i>
<i>Cladonia bellidiflora</i>
<i>Cladonia furcata</i>	.	.	.	1	.	4	1	11	5	4	1	2
<i>Cladonia gracilis</i>	.	3	.	.	.	1	1	3	2
<i>Cladonia portentosa</i>	.	6	.	10	10	16	16	9	16	16	7	.	1	.	1
<i>Cladonia rangiferina</i>	.	.	.	1	.	3	3	2
<i>Cladonia squamosa</i>	.	.	.	1	1	.	1	1	6	4	1	2	.
<i>Cladonia subfurcata</i>	1
<i>Cladonia uncialis</i>	1	4	.	4	6	7	2	12	4	12
<i>Cladonia chlorophaea coll.</i>	2	7	4
<i>Cladonia sp.</i>	.	1	2	.	2

Vedlegg 3b forts.

Felt - Site Analyse - Sample plot	P 1	P 2	P 3	P 4	P 5	Q 1	Q 2	Q 3	Q 4	Q 5	R 1	R 2	R 3	R 4	R 5	S 1	S 2	S 3	S 4	S 5	T 1	T 2	T 3	T 4	T 5
<i>Odontoschisma sphagni</i>
<i>Pellia epiphylla</i>	2	4
<i>Plagiochila asplenoides</i>	2	14	4	15	16	2
<i>Ptilidium ciliare</i>	1	1	.	.	.
<i>Scapania gracilis</i>	1	.	1	.	.	.
<i>Scapania nemorea</i>	1
<i>Scapania umbrosa</i>
<i>Tritomaria quinquedentata</i>	.	1	1
<i>Cladonia bellidiflora</i>	8	.
<i>Cladonia furcata</i>	10	1	14	5	.	.	.
<i>Cladonia gracilis</i>	1	.	.
<i>Cladonia portentosa</i>	2	.	.
<i>Cladonia rangiferina</i>	5	.	.
<i>Cladonia squamosa</i>	2	2	.	.
<i>Cladonia subfurcata</i>
<i>Cladonia uncialis</i>	12	.	.
<i>Cladonia chlorophaea coll.</i>	1	3	.	.	2	3	.	.
<i>Cladonia sp.</i>

Vedlegg 4

Oversikt over artsforkortelser, vitenskapelige- og norske artsnavn. – Survey of species abbreviations, scientific names and Norwegian names.

Alnu inc	<i>Alnus incana</i>	Gråor
Betu pub	<i>Betula pubescens</i>	Bjørk
Juni com	<i>Juniperus communis</i>	Einer
Myri gal	<i>Myrica gale</i>	Pors
Pice abi	<i>Picea abies</i>	Gran
Pinu syl	<i>Pinus sylvestris</i>	Furu
Sorb auc	<i>Sorbus aucuparia</i>	Rogn
Andr pol	<i>Andromeda polifolia</i>	Kvitlyng
Betu pub	<i>Betula pubescens</i>	Bjørk
Call vul	<i>Calluna vulgaris</i>	Røsslyng
Empe nig	<i>Empetrum nigrum</i>	Krekling
Eric tet	<i>Erica tetralix</i>	Klokkeling
Pice abi	<i>Picea abies</i>	Gran
Pinu syl	<i>Pinus sylvestris</i>	Furu
Rubu ida	<i>Rubus idaeus</i>	Bringebær
Sorb auc	<i>Sorbus aucuparia</i>	Rogn
Vacc myr	<i>Vaccinium myrtillus</i>	Blåbær
Va ox.ox	<i>Vaccinium oxycoccus</i> ssp. <i>oxycoccus</i>	Stortranebær
Vacc uli	<i>Vaccinium uliginosum</i>	Blokkebær
Vacc vit	<i>Vaccinium vitis-idaea</i>	Tyttebær
Anem nem	<i>Anemone nemorosa</i>	Kvitveis
Ange syl	<i>Angelica sylvestris</i>	Sløke
Athy fil	<i>Athyrium filix-femina</i>	Skogburkne
Blec spi	<i>Blechnum spicant</i>	Bjørnkam
Camp rot	<i>Campanula rotundifolia</i>	Blåklokke
Cirs pal	<i>Cirsium palustre</i>	Myrtistel
Corn sue	<i>Cornus suecica</i>	Skrubbær
Dryo exp	<i>Dryopteris expansa</i>	Sauetelg
Fili ulm	<i>Filipendula ulmaria</i>	Mjødurt
Gali sax	<i>Galium saxatile</i>	Kystmaure
Gali uli	<i>Galium uliginosum</i>	Sumpmaure
Galium z	<i>Galium sp.</i>	Maure
Geum urb	<i>Geum urbanum</i>	Krathumleblom
Gymn dry	<i>Gymnocarpium dryopteris</i>	Fugletelg
Hype mac	<i>Hypericum maculatum</i>	Firkantperikum
Linn bor	<i>Linnaea borealis</i>	Linnea
List cor	<i>Listera cordata</i>	Småtveblad
Lyco ann	<i>Lycopodium annotinum</i>	Stri kråkefot
Maia bif	<i>Maianthemum bifolium</i>	Maiblom
Mela pra	<i>Melampyrum pratense</i>	Stormarimjelle
Nart oss	<i>Narthecium ossifragum</i>	Rome
Oreo lim	<i>Oreopteris limbosperma</i>	Smørtelg
Orth sec	<i>Orthilia secunda</i>	Nikkvintergrønn
Oxal ace	<i>Oxalis acetosella</i>	Gaukesyre
Pheg con	<i>Phegopteris connectilis</i>	Hengeving
Pote ere	<i>Potentilla erecta</i>	Tepperot
Pter aqu	<i>Pteridium aquilinum</i>	Einstape
Pyro min	<i>Pyrola minor</i>	Perlevintergrøn

Vedlegg 4 forts.

Soli vir	<i>Solidago virgaurea</i>	Gullris
Taraxacz	<i>Taraxacum spp.</i>	Løvetann
Tri eur	<i>Trifolium europaeum</i>	Skogstjerne
Vero off	<i>Veronica officinalis</i>	Legeveronika
Viol pal	<i>Viola palustris</i>	Myrfiol
Viol riv	<i>Viola riviniana</i>	Skogfiol
Agro cap	<i>Agrostis capillaris</i>	Engkvein
Agro cna	<i>Agrostis canina</i>	Hundekvein
Anth odo	<i>Anthoxanthum odoratum</i>	Gulaks
C palles	<i>Carex pallescens</i>	Bleikstarr
C paucif	<i>Carex pauciflora</i>	Sveltstarr
C piluli	<i>Carex pilulifera</i>	Bråtestarr
C vagina	<i>Carex vaginata</i>	Slirestarr
Ca ni.ni	<i>Carex nigra ssp. nigra</i>	Slåttestarr
Carex z	<i>Carex sp.</i>	Starr
Desc ces	<i>Deschampsia cespitosa</i>	Sølvbunke
Desc fle	<i>Deschampsia flexuosa</i>	Smyle
Er an.an	<i>Eriophorum angustifolium ssp. angustifolium</i>	Duskull
Luzu pil	<i>Luzula pilosa</i>	Hårfrytle
Moli cae	<i>Molinia caerulea</i>	Blåtopp
Tric ces	<i>Trichophorum cespitosum</i>	Bjørnnskjegg
Atri und	<i>Atrichum undulatum</i>	Stortaggmose
Brac glr	<i>Brachythecium glareosum</i>	Gull-lundmose
Brac ref	<i>Brachythecium reflexum</i>	Sprikelundmose
Brachytz	<i>Brachythecium sp.</i>	Lundmose
Bryum z	<i>Bryum sp.</i>	Vrangmose
Camu fle	<i>Campylopus flexuosus</i>	Trøsåtemose
Dicl het	<i>Dicranella heteromalla</i>	Smaragdgrøtmose
Dicr fus	<i>Dicranum fuscescens</i>	Bergsigd
Dicr maj	<i>Dicranum majus</i>	Blanksigd
Dicr pol	<i>Dicranum polysetum</i>	Kruissigd
Dicr sco	<i>Dicranum scoparium</i>	Ribbesigd
Hylc umb	<i>Hylocomiastrum umbratum</i>	Skuggehusemose
Hylo spl	<i>Hylocomium splendens</i>	Etasjemose
Hypn c/j	<i>Hypnum cupressiforme/jutlandicum</i>	Matte-/heiflette
Leub gla	<i>Leucobryum glaucum</i>	Blåmose
Mniu hor	<i>Mnium hornum</i>	Kysttornemose
Plagiomz	<i>Plagiomnium sp.</i>	Fagermose
Plam aff	<i>Plagiomnium affine</i>	Skogfagermose
Plam ela	<i>Plagiomnium elatum</i>	Kalkfagermose
Plat den	<i>Plagiothecium denticulatum</i>	Flakjammemose
Plat lae	<i>Plagiothecium laetum</i>	Glansjammemose
Plat und	<i>Plagiothecium undulatum</i>	Kystjammemose
Pleu sch	<i>Pleurozium schreberi</i>	Furumose
Pohl nut	<i>Pohlia nutans</i>	Vegnikke
Pohlia z	<i>Pohlia sp.</i>	Nikkemose
Pola for	<i>Polytrichastrum formosum</i>	Kystbinnemose
Poly com	<i>Polytrichum commune</i>	Storbjørnemose
Poly jun	<i>Polytrichum juniperinum</i>	Einerbjørnemose
Psta ele	<i>Pseudotaxiphyllum elegans</i>	Skimmermose
Ptil cri	<i>Ptilium crista-castrensis</i>	Fjørmos
Raco lan	<i>Racomitrium lanuginosum</i>	Heigråmose

Vedlegg 4 forts.

Raco/het	<i>Racomitrium heterostichum</i> coll.	Gråmose
Rhiz pun	<i>Rhizomnium punctatum</i>	Bekkerundmose
Rhyt lor	<i>Rhytidadelphus loreus</i>	Kystkransmose
Rhyt squ	<i>Rhytidadelphus squarrosus</i>	Engkransmose
Rhyt tri	<i>Rhytidadelphus triquetrus</i>	Storkransmose
Sani unc	<i>Sanionia uncinata</i>	Klobleikmose
Sph capi	<i>Sphagnum capillifolium</i>	Furutorvmose
Sph girg	<i>Sphagnum girgensohnii</i>	Grantorvmose
Sph mage	<i>Sphagnum magellanicum</i>	Kjøtt-torvmose
Sph palu	<i>Sphagnum palustre</i>	Sumptorvmose
Sph papi	<i>Sphagnum papillosum</i>	Vortetorvmose
Sph quin	<i>Sphagnum quinquefarium</i>	Lyngtorvmose
Sph russ	<i>Sphagnum russowii</i>	Tvaretorvmose
Sph tene	<i>Sphagnum tenellum</i>	Dvergtorvmose
Sph/Spha	<i>Sphagnum sect. Sphagnum</i>	Torvmose
Teti pel	<i>Tetraphis pellucida</i>	Firtannmose
Thui tam	<i>Thuidium tamariscinum</i>	Stortujamose
Anar orc	<i>Anastrepta orcadensis</i>	Heimose
Barb atl	<i>Barbilophozia atlantica</i>	Kystskeggmose
Barb att	<i>Barbilophozia attenuata</i>	Piskskjeggmose
Barb bar	<i>Barbilophozia barbata</i>	Skogskjeggmose
Barb flo	<i>Barbilophozia floerkei</i>	Lyngskjeggmose
Barb lyc	<i>Barbilophozia lycopodioides</i>	Gåsefotskjeggmose
Bazz tri	<i>Bazzania trilobata</i>	Storstylte
Blep tri	<i>Blepharostoma trichophyllum</i>	Piggrådmose
Caly mue	<i>Calypogeia muelleriana</i>	Sumpflak
Caly nee	<i>Calypogeia neesiana</i>	Torvflak
Caly sph	<i>Calypogeia sphagnicola</i>	Sveltflik
Ceph bic	<i>Cephalozia bicuspidata</i>	Broddglefsemose
Ceph lun	<i>Cephalozia lunulifolia</i>	Myrglefsemose
Cephaloz	<i>Cephalozia</i> sp.	Glefsemose
Chil coa	<i>Chiloscyphus coadunatus</i>	Totannblonde
Chil pol	<i>Chiloscyphus polyanthos</i>	Bekkeblonde
Chil pro	<i>Chiloscyphus profundus</i>	Stubbeblonde
Dipl alb	<i>Diplophyllum albicans</i>	Stripefoldmose
Hepatica	<i>Hepaticae</i> sp.	Levermose
Jungermz	<i>Jungermannia</i> spp.	Sleivmose
Kurzia z	<i>Kurzia</i> sp.	Fingermose
Lepi rep	<i>Lepidozia reptans</i>	Skogkrekmose
Loph/ven	<i>Lophozia ventricosa</i> coll.	Grokorn-/raufliik
Lophoziz	<i>Lophozia</i> sp.	Flikmose
Myli tay	<i>Mylia taylorii</i>	Raudmuslingmose
Nard sca	<i>Nardia scalaris</i>	Oljetrappemose
Odon sph	<i>Odontoschisma sphagni</i>	Sveltskovlmose
Pell epi	<i>Pellia epiphylla</i>	Flikvårmose
Plac asp	<i>Plagiochila asplenoides</i>	Prakthinnemose
Ptil cil	<i>Ptilidium ciliare</i>	Bakkefrynse
Scap gra	<i>Scapania gracilis</i>	Kysttvibladmose
Scap nem	<i>Scapania nemorea</i>	Fjordtvibladmose
Scap umb	<i>Scapania umbrosa</i>	Sagtvibladmose
Scap und	<i>Scapania undulata</i>	Bekketvibladmose
Scap/uli	<i>Scapania uliginosa</i> coll.	Tvibladmose

Vedlegg 4 forts.

Trit qui	<i>Tritomaria quinquedentata</i>	Storhoggtann
Clad bel	<i>Cladonia bellidiflora</i>	Blomsterlav
Clad coi	<i>Cladonia coniocraea</i>	Stubbesyl
Clad cor	<i>Cladonia cornuta</i>	Skogssyl
Clad cri	<i>Cladonia crispata</i>	Traktlav
Clad fur	<i>Cladonia furcata</i>	Gaffellav
Clad gri	<i>Cladonia gracilis</i>	Syllav
Clad por	<i>Cladonia portentosa</i>	Kystreinlav
Clad raa	<i>Cladonia rangiferina</i>	Grå reinlav
Clad squ	<i>Cladonia squamosa</i>	Fnaslav
Clad ste	<i>Cladonia stellaris</i>	Kvitkrull
Clad suf	<i>Cladonia subfurcata</i>	Fjellgaffellav
Clad unc	<i>Cladonia uncialis</i>	Pigglav
Clad/chl	<i>Cladonia chlorophaeae coll.</i>	Brunbegre
Cladoniz	<i>Cladonia sp.</i>	Begerlav

Vedlegg 5

Verdier for miljøvariabler fra 100 analyseruter. Analyseruter A1-J5 fra Brommelandsbekken 1998, K1-T5 fra Grovbekken 1998. Se **tabell 1** for forkortelser og enheter. – Values of environmental variables from 100 sample plots. Sample plots A1-J5 from Brommelandsbekken 1998, K1-T5 from Grovbekken 1998. See **Table 1** for abbreviations and units.

Rutenr	Slope	Soil dep	CC	LOI	pH1	pH2	N	Tot C	H	AI	C	Ca	Fe	K	Mg	Mn	Na	P	S	Zn	CEC	BS
A1	4	19,1	70	93,23	3,88	3,10	1,45	47,41	145,90	4,23	598	53,36	0,39	21,12	37,93	5,17	18,41	4,83	6,28	808	378,3	58,7
A2	18	9,4	80	87,08	3,85	3,08	1,34	45,14	149,30	4,11	600	45,16	0,46	26,11	36,97	3,56	14,16	5,96	8,40	841	361,0	56,7
A3	22	14,0	55	94,53	3,89	3,15	1,52	48,12	137,00	3,37	628	63,47	0,29	21,79	40,29	7,98	15,56	5,81	6,88	958	397,8	61,6
A4	20	12,6	70	94,71	3,86	3,13	1,41	47,81	143,70	4,36	685	54,61	0,76	26,23	35,98	10,59	16,16	6,51	7,03	880	388,4	57,6
A5	23	16,8	70	97,12	3,96	3,17	1,42	49,18	146,00	3,15	607	64,58	0,30	21,50	36,40	9,61	16,05	5,10	7,06	886	404,8	59,2
B1	29	23,5	70	58,48	4,76	4,17	1,65	26,54	98,30	34,54	331	17,11	0,06	9,41	6,78	12,88	6,23	0,08	5,65	229	187,5	33,8
B2	15	18,3	95	48,51	4,74	4,19	1,51	22,92	67,30	21,79	433	21,53	0,16	10,52	9,44	18,33	5,07	0,08	5,33	243	181,5	42,7
B3	28	18,5	95	38,60	4,83	4,25	1,17	17,01	56,70	19,37	220	12,51	0,05	6,10	5,28	12,17	4,23	0,08	3,95	162	126,9	36,2
B4	15	30,8	95	52,89	4,75	4,23	1,70	25,03	77,40	27,40	298	15,00	0,07	7,44	6,58	14,15	5,53	0,08	5,58	188	161,8	34,7
B5	10	23,9	75	52,97	4,85	4,21	1,41	22,94	90,40	32,21	264	15,25	0,12	6,47	6,08	10,26	6,59	0,08	5,22	208	166,6	33,4
C1	20	31,6	50	39,83	4,01	3,35	0,98	20,58	74,70	13,01	374	28,97	1,82	9,20	14,97	1,17	6,91	1,08	3,66	411	181,0	57,4
C2	17	29,4	70	37,33	4,07	3,40	0,89	17,57	54,30	7,43	348	31,79	1,16	8,97	15,27	1,33	5,70	1,35	3,21	376	165,8	65,6
C3	10	41,0	90	29,77	4,05	3,47	0,69	13,29	52,60	11,78	275	20,59	2,39	5,45	9,93	0,94	3,52	0,46	2,38	229	124,5	56,3
C4	25	43,6	90	32,08	4,09	3,48	0,76	15,16	50,90	8,62	331	23,20	1,26	9,21	12,63	1,73	4,89	0,83	3,13	364	140,1	61,2
C5	15	21,6	70	34,49	4,27	3,70	0,83	16,86	50,10	10,90	351	33,71	1,21	9,43	13,68	4,20	4,66	0,56	3,05	444	167,3	65,1
D1	22	7,4	90	60,57	4,17	3,57	1,58	30,84	53,70	2,52	644	39,63	0,38	16,78	25,33	6,66	9,06	6,50	5,92	1057	222,7	69,9
D2	20	4,5	60	74,72	4,13	3,51	1,77	38,46	73,50	3,29	727	56,74	0,53	19,60	31,49	11,53	11,61	5,76	7,07	1312	304,2	68,3
D3	30	21,4	65	38,10	4,30	3,68	0,94	17,81	43,80	8,54	355	13,38	0,86	9,06	11,02	9,97	4,31	0,65	3,59	353	125,9	49,4
D4	34	38,4	65	57,35	4,58	4,01	1,49	28,29	86,50	28,40	466	20,06	0,37	12,96	12,83	16,03	5,92	0,34	5,40	410	203,2	41,6
D5	30	14,5	75	31,57	4,72	4,12	0,85	14,20	44,50	14,24	258	10,44	0,26	6,70	7,73	8,35	4,82	0,24	4,82	240	109,1	43,9
E1	18	6,1	15	84,43	4,16	3,43	2,03	41,20	202,60	64,68	723	13,79	1,19	18,62	14,58	2,46	8,41	0,84	8,46	389	291,3	28,8
E2	17	6,1	1	91,61	4,23	3,49	1,93	44,80	221,20	71,68	674	20,28	0,48	18,31	17,23	3,66	9,68	0,08	8,32	434	331,5	31,1
E3	10	3,8	2	73,60	4,14	3,40	1,66	36,67	167,20	47,51	687	21,05	1,00	16,52	19,51	2,80	8,76	0,91	6,72	383	279,2	38,1
E4	12	14,0	1	82,08	3,93	3,18	1,61	40,95	160,60	28,36	754	25,61	0,89	18,15	29,15	3,41	9,66	3,23	6,85	597	304,8	45,1
E5	15	6,0	15	80,88	3,86	3,09	1,69	38,70	140,50	9,99	833	27,80	1,09	21,70	36,43	4,92	12,14	4,58	7,13	556	312,7	51,9
F1	2	38,5	2	61,14	3,87	3,09	1,11	25,07	106,90	10,76	488	17,06	2,52	11,98	23,14	2,24	9,52	2,89	5,02	328	213,3	47,8
F2	10	13,9	40	47,03	4,13	3,34	0,88	16,25	107,20	26,74	396	9,61	3,17	9,32	12,97	1,64	7,86	0,74	4,60	253	172,8	36,1
F3	5	25,4	5	70,25	4,01	3,13	1,43	30,98	178,40	40,78	526	10,89	5,92	15,83	19,61	1,00	14,54	2,02	6,33	303	271,8	33,6
F4	5	34,5	5	58,54	3,95	3,22	1,37	28,15	180,50	51,72	440	8,47	8,72	10,20	13,02	0,60	13,61	0,83	5,35	214	248,5	26,9
F5	8	26,6	15	59,95	4,02	3,24	1,10	24,39	160,30	40,10	516	13,85	5,55	12,88	20,03	2,53	13,84	0,81	5,62	389	259,8	36,4
G1	19	4,5	75	86,96	3,80	3,05	1,17	45,43	150,20	22,04	543	34,52	1,73	15,90	31,34	0,60	15,49	1,31	5,19	868	314,5	51,9
G2	14	3,1	70	81,28	3,86	3,16	1,29	42,92	118,80	14,86	598	35,34	2,09	17,30	27,36	1,38	13,70	2,04	7,35	647	278,0	56,3
G3	2	2,9	60	76,84	3,87	3,16	1,25	37,99	144,60	26,17	828	25,47	5,46	14,56	23,22	0,57	11,39	1,16	6,03	568	269,1	45,8
G4	4	5,6	70	71,24	3,81	3,09	1,09	35,93	125,00	18,31	680	26,17	3,47	14,20	24,27	0,41	11,02	1,53	5,60	632	251,9	50,0
G5	5	19,9	80	92,87	3,76	2,96	1,23	47,82	154,10	9,11	853	52,58	0,80	16,00	49,62	0,84	18,38	2,84	5,57	1092	394,6	60,5
H1	0	13,8	80	94,49	3,82	3,06	1,68	47,77	148,00	17,75	1227	44,82	0,83	15,93	50,97	0,63	19,89	2,23	6,48	1331	376,6	60,4
H2	0	34,6	65	96,31	4,04	3,17	1,79	47,94	167,60	28,72	939	41,21	1,60	13,76	32,22	1,07	26,43	2,64	8,20	947	356,8	52,4
H3	0	29,6	60	77,92	4,05	3,43	1,98	39,27	147,10	44,95	715	5,65	1,86	13,57	8,79	0,13	13,22	0,35	6,44	566	203,0	27,4
H4	0	42,4	40	88,69	4,22	3,53	2,19	45,58	176,10	58,97	596	3,45	0,58	7,57	4,98	0,08	12,28	0,08	6,52	292	213,0	17,2
H5	8	22,5	75	73,73	4,07	3,43	1,62	37,72	182,60	58,59	567	4,25	2,18	9,26	6,71	0,07	7,78	0,08	4,54	439	221,7	17,6
I1	3	22,9	70	96,10	3,91	3,09	1,23	48,25	158,80	7,60	809	65,05	0,43	19,58	54,97	0,91	23,64	3,50	7,45	1257	443,9	63,8
I2	20	27,5	80	93,73	3,92	3,05	1,12	46,09	195,10	22,27	661	64,87	0,76	14,54	49,62	0,32	22,45	2,12	5,73	1646	461,7	57,6
I3	10	32,8	60	96,00	3,82	3,04	1,24	49,17	155,70	8,86	725	60,17	0,38	17,42	56,16	0,87	19,52	2,74	5,63	1407	427,0	63,1
I4	18	14,9	50	93,40	3,83	3,10	1,22	47,22	135,50	5,75	789	62,06	0,51	20,33	37,96	3,00	17,37	3,08	6,55	1119	379,2	62,7
I5	14	19,3	70	90,30	3,75	3,05	1,14	44,77	141,10	14,01	677	48,47	0,46	15,35	41,98	0,94	11,91	2,58	4,67	943	351,1	59,3
J1	20	2,8	55	88,48	3,90	3,20	1,56	44,51	117,70	10,37	839	47,56	0,94	18,13	30,07	1,71	14,05	4,07	7,00	991	308,6	60,7
J2	26	9,1	80	96,24	3,97	3,24	1,49	49,01	120,80	2,50	866	83,14	0,20	20,35	40,88	2,36	19,92	4,73	7,90	1444	413,9	69,7
J3	10	3,3	50	92,99	3,86	3,21	1,79	47,86	113,90	9,49	854	53,92	0,48	22,65	34,21	2,11	15,40	7,29	6,81	1019	332,5	64,5

Vedlegg 5 forts.

Rutenum	Slope	Soil dep	CC	LOI	pH1	pH2	N	Tot C	H	AI	C	Ca	Fe	K	Mg	Mn	Na	P	S	Zn	CEC	BS
J4	10	13,5	75	95,59	3,75	3,05	1,41	48,28	155,90	5,51	748	63,72	0,36	20,93	48,47	1,16	17,66	4,45	6,63	1736	421,2	62,4
J5	4	15,0	75	93,85	3,76	3,04	1,49	47,11	152,20	5,41	759	67,70	0,35	20,21	50,70	0,82	16,04	5,22	6,22	1942	426,9	64,0
K1	10	4,4	35	67,04	3,96	3,34	1,61	35,37	128,60	34,28	702	6,87	1,70	12,54	10,46	0,21	9,43	0,91	6,05	466	185,7	30,5
K2	8	9,6	35	62,36	4,03	3,42	1,32	32,98	134,70	38,34	697	10,57	1,83	14,00	11,58	0,22	7,21	0,81	5,84	500	200,7	32,7
K3	2	10,0	50	64,00	4,02	3,44	1,37	30,43	138,80	41,67	622	3,47	1,68	11,67	6,95	0,12	7,31	0,08	4,89	516	178,8	22,3
K4	10	14,8	30	53,82	4,04	3,54	1,03	24,11	120,60	37,29	561	4,56	3,28	10,64	6,87	0,24	5,33	0,08	4,74	395	159,9	24,3
K5	10	11,0	40	68,33	4,09	3,41	1,37	33,82	144,30	41,58	667	10,81	1,83	8,57	10,48	0,44	5,61	0,08	5,25	445	201,9	28,1
L1	18	1,5	30	92,23	3,86	3,11	1,48	48,04	141,00	16,45	837	52,21	1,27	15,24	26,19	1,56	13,06	3,19	6,47	708	329,2	56,2
L2	18	5,1	20	96,17	3,80	3,04	1,19	48,62	154,70	7,28	956	57,34	0,62	18,78	38,43	1,11	18,69	3,34	6,87	830	385,9	59,3
L3	15	4,4	20	93,92	3,88	3,10	1,38	48,10	152,40	16,21	830	43,88	1,50	13,97	37,39	0,95	13,47	2,43	6,17	878	344,3	55,2
L4	20	10,3	37	77,44	3,83	3,09	1,15	37,80	141,80	22,37	700	33,15	3,19	12,26	23,63	0,83	9,65	1,13	5,10	554	279,0	48,6
L5	14	7,3	30	88,02	3,80	3,07	1,26	44,76	130,90	10,90	774	48,26	0,67	13,80	34,97	1,18	13,13	2,61	5,49	799	326,7	59,2
M1	25	27,8	50	92,63	3,66	2,91	1,11	47,20	190,50	7,87	758	48,53	1,23	14,89	55,51	0,28	21,78	2,84	6,28	792	435,9	56,2
M2	26	32,1	60	97,51	3,84	2,99	0,99	48,54	212,10	6,74	742	56,32	0,64	14,49	57,47	0,56	28,93	2,56	6,43	1000	484,2	56,0
M3	15	23,0	70	97,04	3,73	2,97	1,13	49,74	174,80	7,40	683	77,21	0,53	13,85	48,97	0,70	19,17	2,19	5,57	869	461,6	61,8
M4	4	14,3	70	90,20	3,88	3,11	1,25	46,03	162,90	15,13	799	42,83	1,32	17,54	36,71	2,13	17,23	2,92	6,88	857	361,0	53,7
M5	10	12,3	50	87,83	3,74	3,04	1,21	44,93	182,50	21,47	843	33,13	3,84	14,40	43,84	0,66	18,16	1,56	6,86	878	370,3	50,4
N1	12	13,9	1	89,52	4,00	3,20	1,57	43,75	160,90	22,00	869	52,25	1,45	20,56	35,53	1,54	12,06	4,52	6,73	752	372,2	55,9
N2	8	28,4	2	71,82	3,82	3,11	1,38	37,11	130,20	10,77	729	38,90	2,04	19,86	27,93	1,00	10,70	5,15	6,26	650	296,4	55,4
N3	2	32,1	1	82,76	3,81	3,06	1,36	42,12	140,50	7,99	964	39,36	2,38	19,37	33,72	1,27	12,15	4,21	6,15	566	320,7	55,4
N4	7	15,3	3	89,94	3,83	3,06	1,63	43,92	166,80	18,68	907	27,73	1,67	28,48	31,87	0,86	14,06	5,02	7,39	661	330,3	49,0
N5	10	16,3	5	85,84	3,84	3,04	1,48	24,29	161,50	8,59	925	21,18	2,00	26,66	33,43	0,86	15,12	5,50	7,11	608	314,2	48,1
O1	18	11,9	65	98,08	4,06	3,07	2,23	36,89	191,90	4,15	936	56,44	0,58	15,91	46,91	0,91	20,43	3,48	7,37	1436	436,7	55,6
O2	34	42,3	75	97,75	3,93	3,06	1,80	47,48	164,80	3,59	764	73,65	0,30	15,45	42,96	1,63	17,54	4,05	6,85	1284	434,2	61,3
O3	8	32,5	80	97,14	4,13	3,17	1,57	44,75	183,00	4,40	800	71,60	0,39	13,59	48,33	2,24	20,34	3,08	7,91	1212	461,3	59,4
O4	28	25,6	50	67,72	3,84	3,08	1,45	42,85	125,20	13,66	519	39,12	2,12	11,67	24,84	0,65	8,33	1,40	4,42	666	274,4	53,9
O5	12	38,5	45	85,82	3,96	3,16	1,33	48,49	130,10	6,13	666	62,26	0,49	15,37	38,83	2,29	11,34	3,34	6,30	840	363,6	63,0
P1	60	39,6	45	61,17	4,79	4,21	1,44	48,83	81,80	27,36	483	85,45	0,63	10,14	21,89	5,12	7,53	0,08	3,78	555	324,4	71,6
P2	10	50,4	50	40,52	5,43	4,89	1,35	47,54	12,00	3,92	311	90,08	0,06	8,41	17,11	3,44	4,05	0,08	2,24	320	245,7	92,3
P3	10	63,4	35	61,03	5,57	5,02	1,23	35,41	12,30	4,28	437	173,93	0,10	9,93	29,26	4,91	8,84	0,08	3,20	517	447,2	95,1
P4	15	32,0	35	53,81	4,56	3,99	1,65	27,82	74,30	23,92	436	60,15	1,05	10,44	20,66	1,20	5,93	0,08	3,71	352	254,7	69,9
P5	20	80,3	50	52,07	4,73	4,17	1,15	18,18	61,60	18,90	458	81,06	0,96	12,15	24,84	1,91	6,11	0,08	3,44	430	295,5	77,9
Q1	15	35,0	70	88,58	4,61	3,82	1,44	28,13	191,30	66,38	639	16,49	0,14	15,73	12,38	1,12	6,46	0,08	5,34	346	273,4	29,2
Q2	15	53,6	50	86,61	4,90	4,14	1,28	24,71	157,30	58,35	471	9,04	0,04	9,67	6,20	3,25	5,75	0,08	5,15	200	209,7	21,9
Q3	14	30,9	50	64,21	4,64	3,81	2,22	43,70	161,00	55,49	492	15,76	1,05	14,14	12,56	0,57	8,28	0,08	4,35	296	241,2	32,8
Q4	6	35,3	55	93,14	4,56	3,79	2,18	40,73	236,20	80,66	777	37,63	0,19	18,62	28,25	1,51	11,49	0,08	6,59	641	401,1	40,4
Q5	12	36,0	60	90,46	4,69	3,89	1,58	33,70	213,60	75,53	582	13,68	0,20	11,59	9,09	1,11	6,30	0,08	6,01	313	279,3	22,7
R1	0	55,4	75	76,94	4,25	3,55	1,74	44,80	158,70	47,43	636	28,24	1,93	13,36	20,96	0,63	10,21	0,53	6,51	292	281,9	43,3
R2	5	46,3	80	77,65	4,22	3,52	2,00	44,35	206,50	68,40	622	13,60	3,30	12,41	10,80	0,27	7,78	0,08	6,78	192	276,0	25,0
R3	8	38,1	60	83,61	4,23	3,46	2,30	36,90	207,90	63,96	699	26,22	2,09	14,06	18,59	0,54	11,50	0,45	6,66	500	324,1	35,5
R4	10	26,3	65	87,73	4,29	3,53	2,06	39,81	232,80	76,26	698	17,21	2,79	15,45	13,08	0,56	9,72	0,08	7,23	449	319,7	26,8
R5	26	30,6	60	94,08	3,88	3,11	2,33	42,24	140,50	4,59	824	76,49	0,32	18,73	48,93	3,05	11,89	4,38	5,99	1003	428,1	65,8
S1	20	38,4	35	78,59	4,02	3,23	1,68	37,48	107,90	6,98	773	41,72	1,70	15,42	35,76	1,04	10,21	4,50	4,86	433	290,6	62,1
S2	32	34,6	10	60,99	3,92	3,11	1,39	29,11	117,10	14,26	648	23,29	3,16	14,31	21,64	0,59	7,52	3,36	4,00	410	230,0	48,6
S3	30	45,4	2	67,65	4,01	3,27	1,51	32,27	99,90	9,85	718	27,48	2,30	15,20	24,69	0,75	6,97	3,51	4,41	284	228,0	55,5
S4	40	47,3	1	59,70	3,95	3,23	1,16	23,11	96,40	12,27	631	25,50	3,08	11,62	19,86	0,49	5,39	2,64	3,84	263	205,1	52,5
S5	34	49,5	2	77,95	3,79	3,03	1,72	36,40	141,90	8,49	775	30,99	1,48	15,79	40,45	0,67	8,82	6,07	5,12	784	310,8	53,9
T1	10	26,8	80	79,50	4,43	3,63	1,69	38,62	221,50	70,53	706	27,84	1,71	13,41	12,53	0,99	6,60	0,08	5,70	465	324,2	31,1
T2	18	2,4	50	94,12	4,08	3,37	1,81	47,18	114,30	3,53	1015	88,70	0,21	25,24	37,84	4,65	9,04	8,01	7,72	1216	410,9	69,9
T3	25	9,6	70	78,02	4,06	3,23	1,39	37,18	155,90	26,09	766	43,95	1,18	15,60	24,92	1,66	9,81	2,94	5,55	868	322,4	50,6
T4	25	2,3	45	85,63	4,01	3,26	1,72															

Vedlegg 6-14

Vedlegg 6

Beliggenheten av de 100 analyserutene visualisert i en digital høydemodell. – A digital elevation model showing the position of the 100 permanent sample plots.

Vedlegg 7

DCA-akse 1 verdier for hver av analyserutene visualisert i en digital høydemodell. – DCA-axis 1 scores of the sample plots, shown in a digital elevation model.

Vedlegg 8

DCA-akse 2 verdier for hver av analyserutene visualisert i en digital høydemodell. – DCA-axis 1 scores of the sample plots, shown in a digital elevation model.

Vedlegg 9

Basemetningsverdier (korrigert for glødetap) fra hver av analyserutene visualisert i en digital høydemodell. – Values of base saturation (corrected for loss-on-ignition) from each sample plot, shown in a digital elevation model.

Vedlegg 10

pH-verdier i jord (vannekstraksjon) fra hver av analyserutene visualisert i en digital høydemodell. – Values of soil pH (water extraction) from each sample plot, shown in a digital elevation model.

Vedlegg 11

Glødetapsverdier fra øvre 5 cm av humuslaget fra hver av analyserutene visualisert i en digital høydemodell. – Values of loss-on-ignition from the upper humus layer from each sample plot, shown in a digital elevation model.

Vedlegg 12

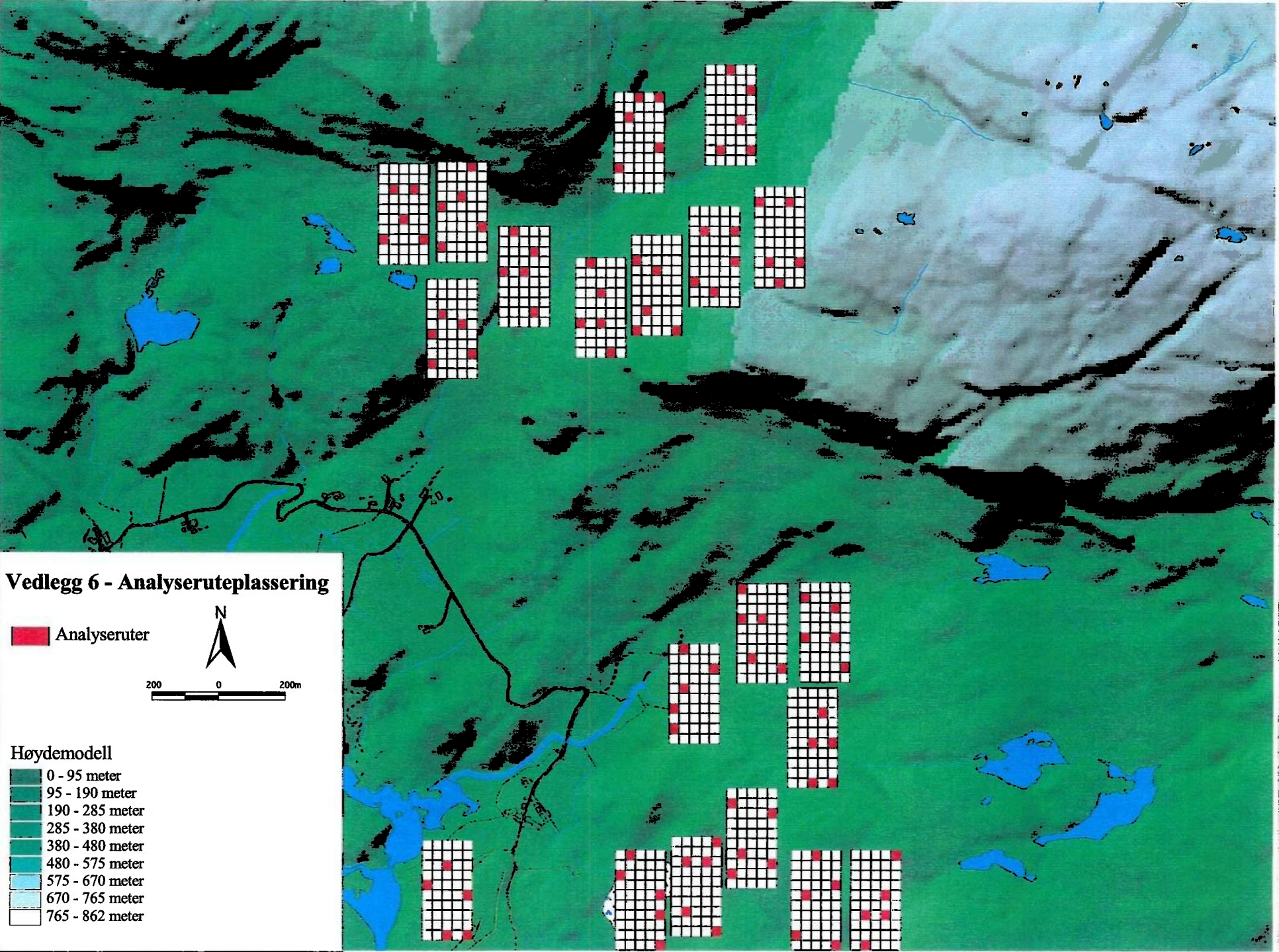
Smårutefrekvens av røsslyng (*Calluna vulgaris*) i hver av analyserutene, visualisert i en digital høydemodell. – The abundance of *Calluna vulgaris* as species frequency in each sample plot, shown in a digital elevation model.

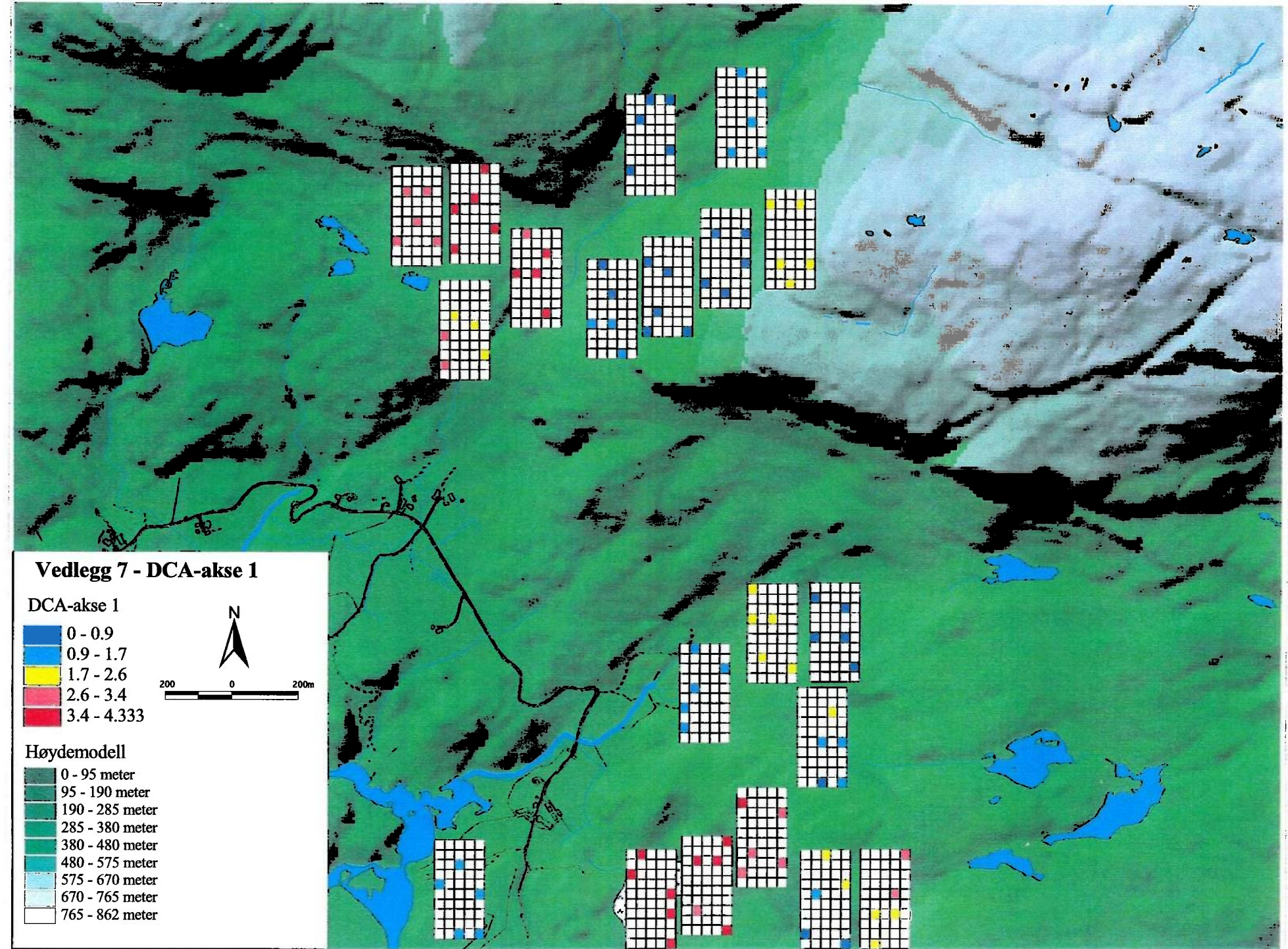
Vedlegg 13

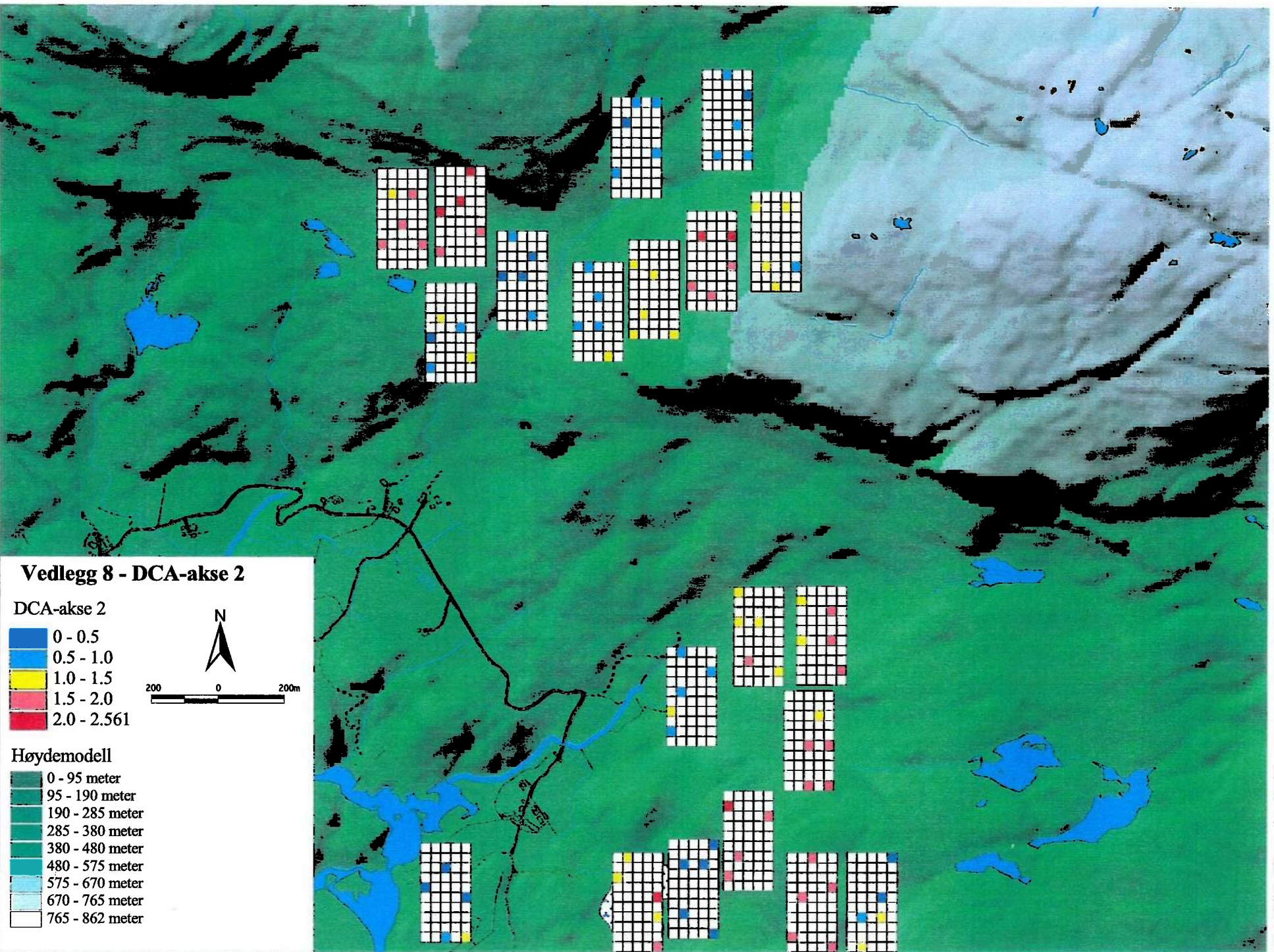
Smårutefrekvens av blåbær (*Vaccinium myrtillus*) i hver av analyserutene, visualisert i en digital høydemodell. – The abundance of *Vaccinium myrtillus* as species frequency in each sample plot, shown in a digital elevation model.

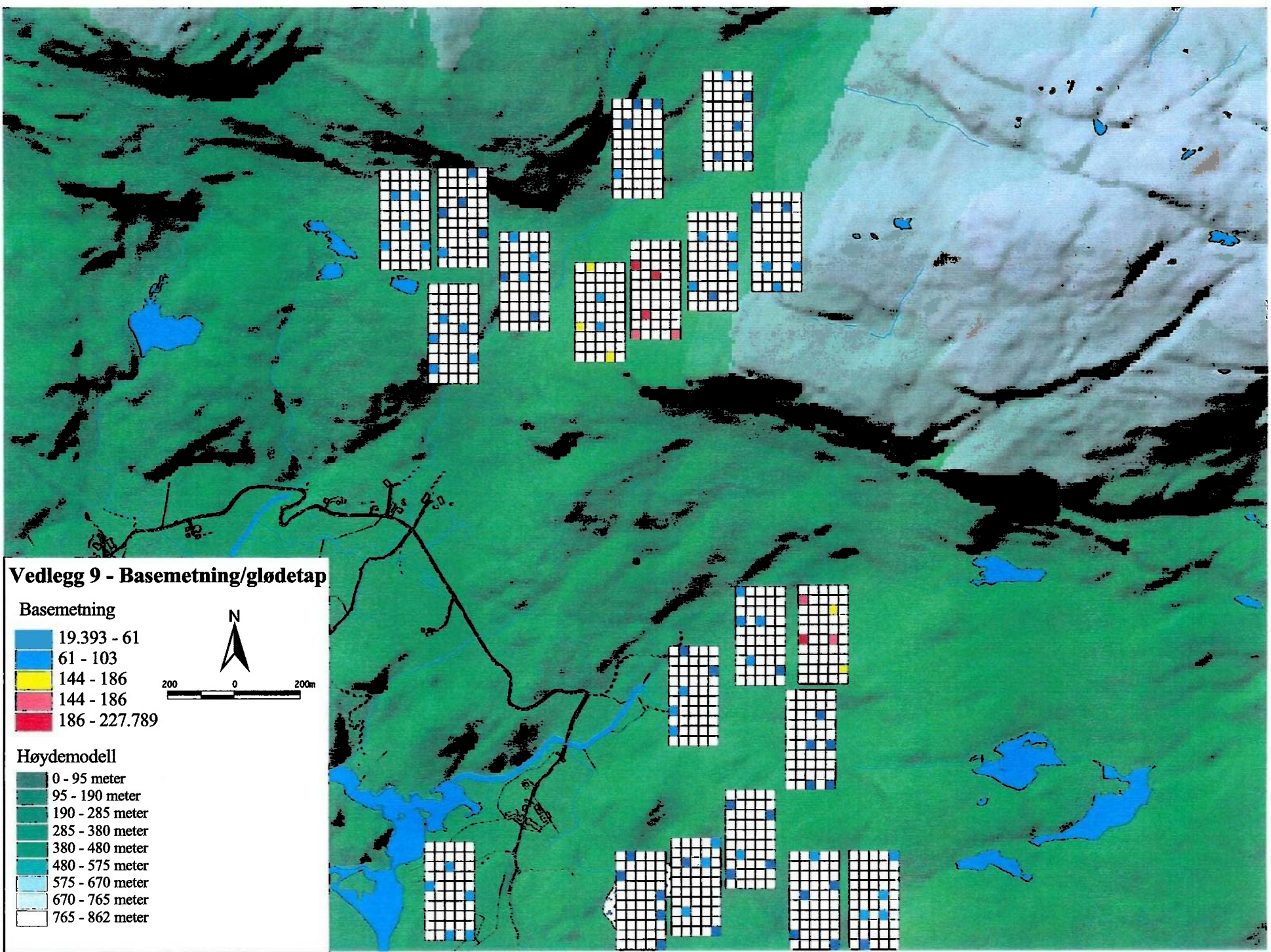
Vedlegg 14

Smårutefrekvens av kvitveis (*Anemone nemorosa*) i hver av analyserutene, visualisert i en digital høydemodell. – The abundance of *Anemone nemorosa* as species frequency in each sample plot, shown in a digital elevation model.









Vedlegg 10 - pH

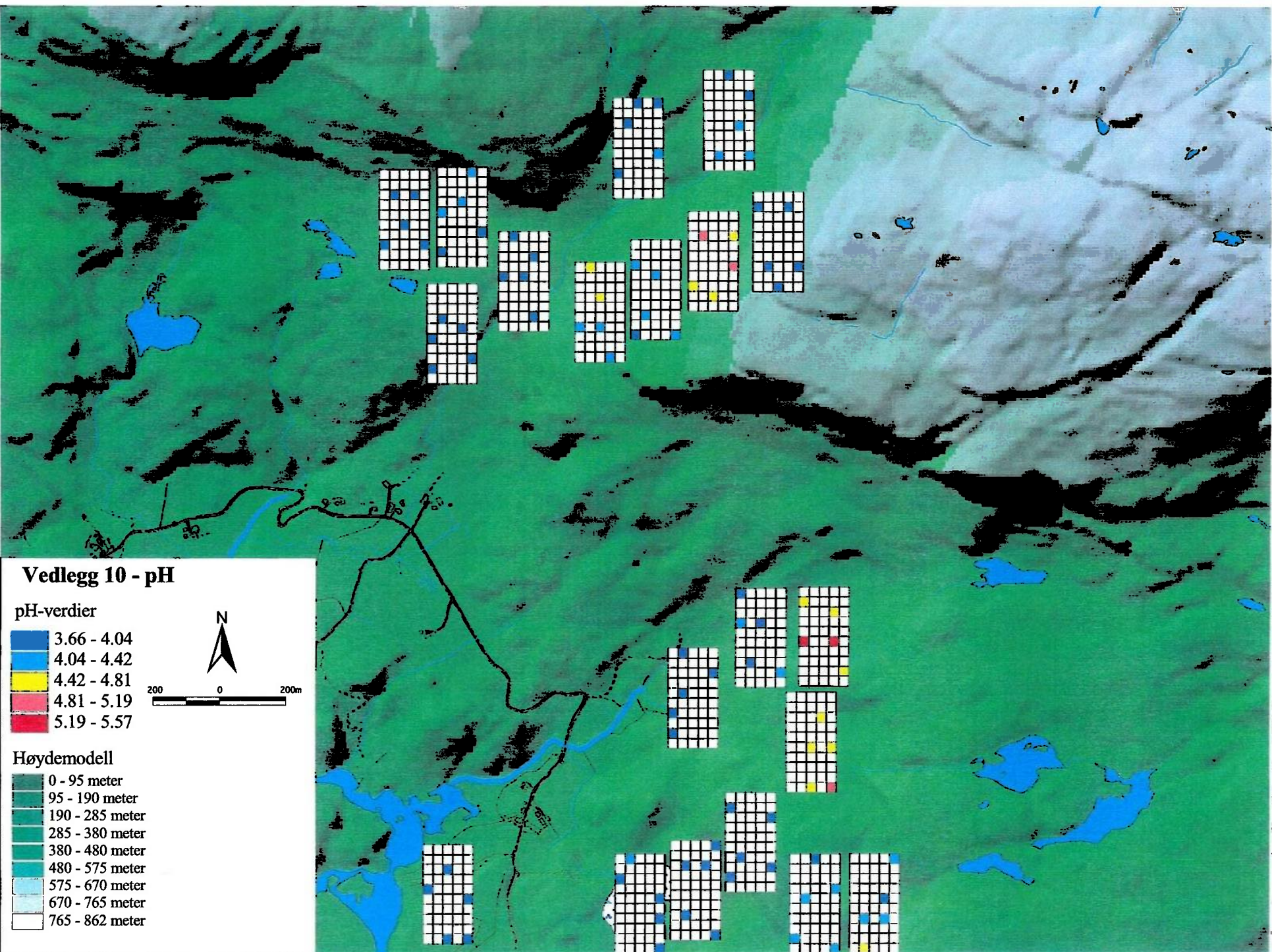
pH-verdier

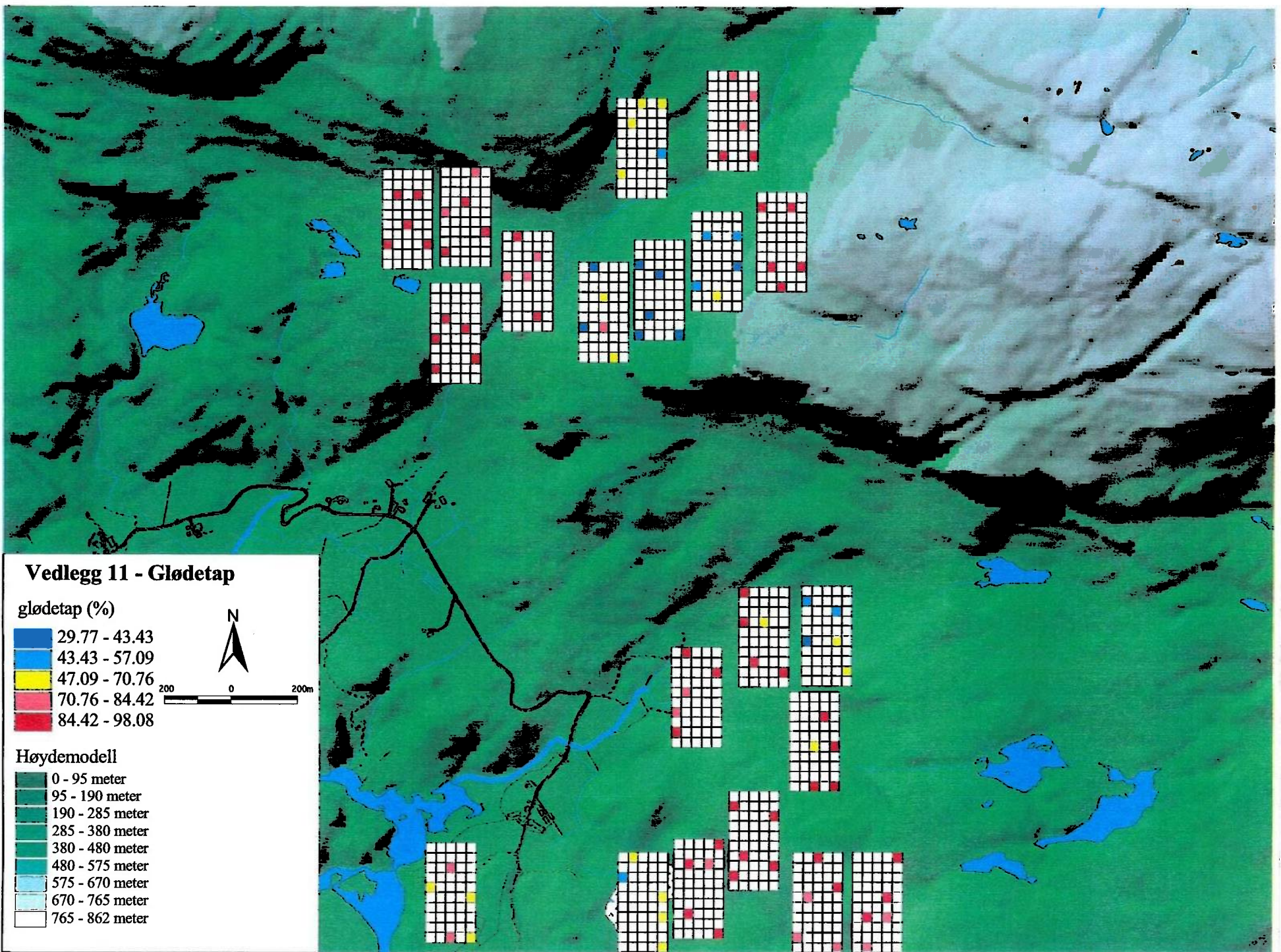
3.66 - 4.04
4.04 - 4.42
4.42 - 4.81
4.81 - 5.19
5.19 - 5.57

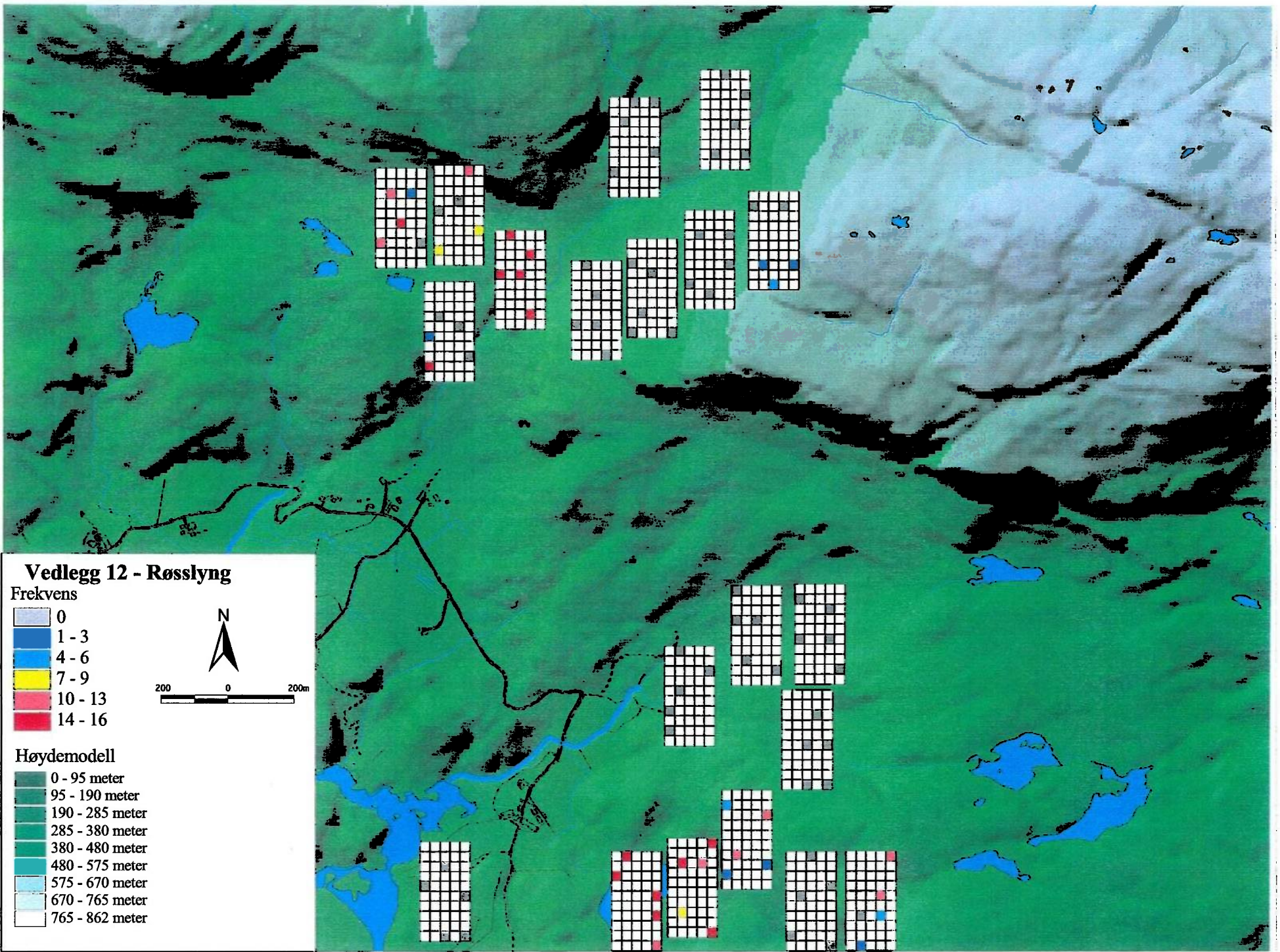


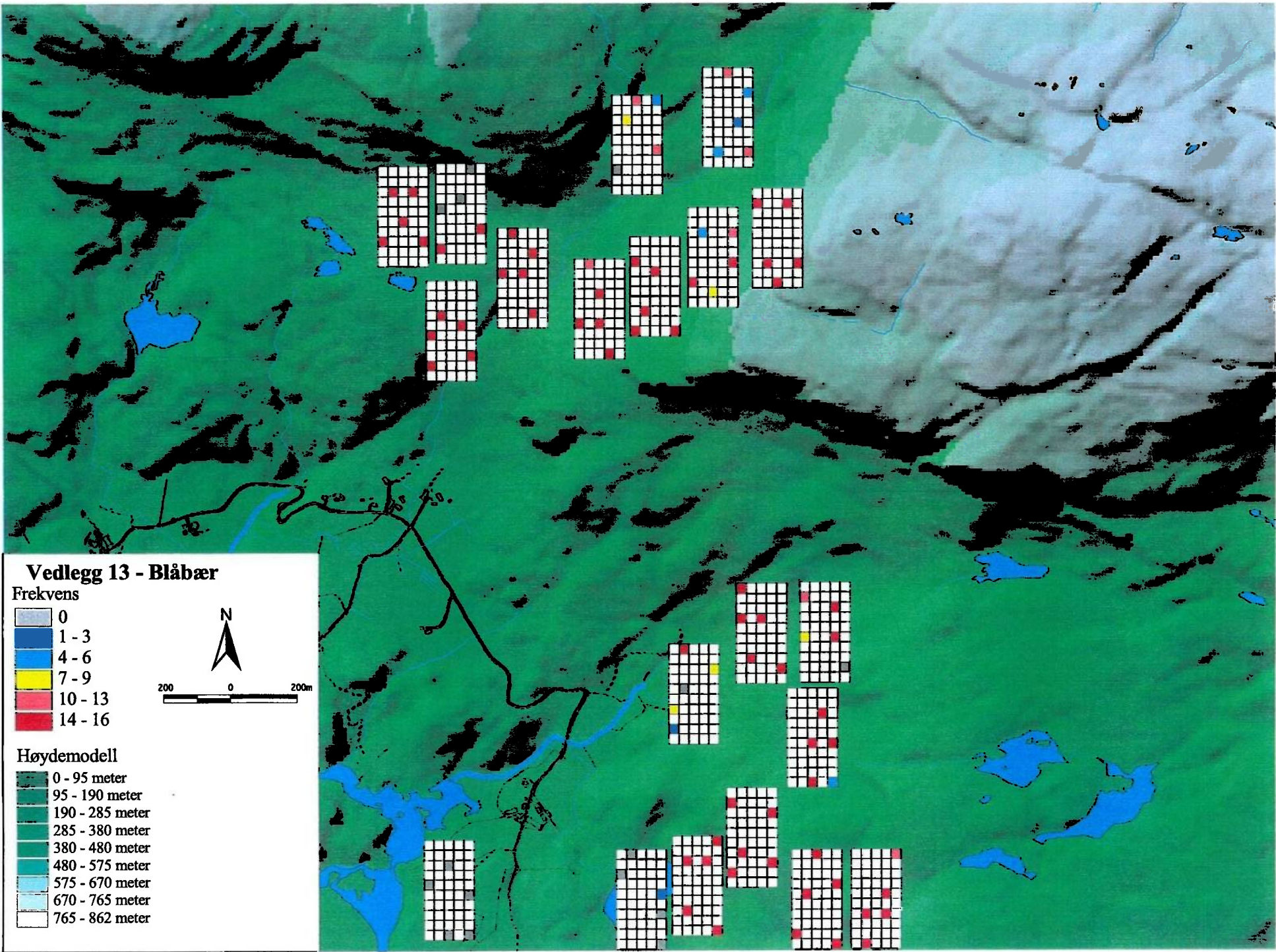
Høydemodell

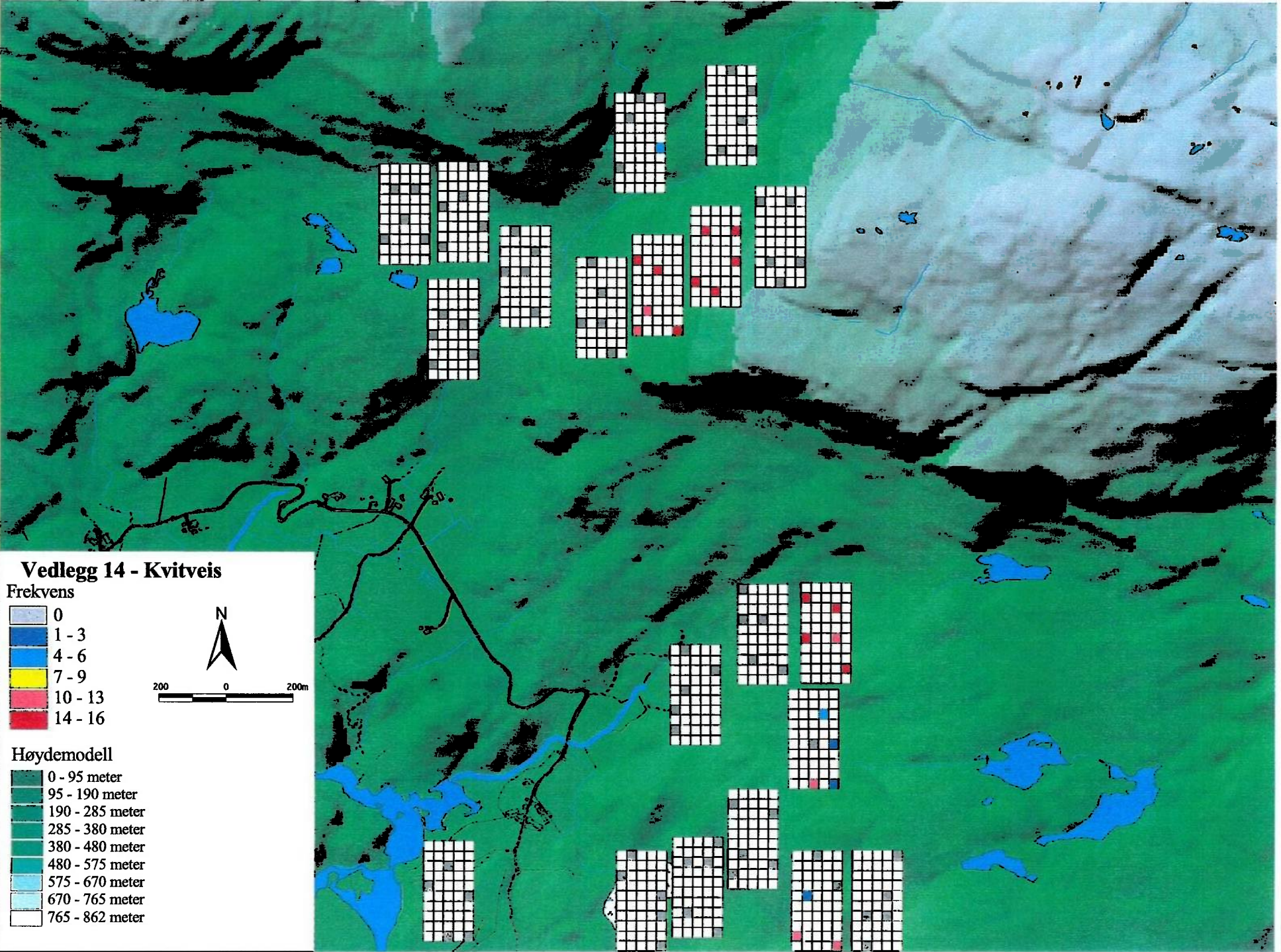
0 - 95 meter
95 - 190 meter
190 - 285 meter
285 - 380 meter
380 - 480 meter
480 - 575 meter
575 - 670 meter
670 - 765 meter
765 - 862 meter











ISSN 0802-4103
ISBN 82-426-1046-0

599

NINA
OPPDRAKS-
MELDING



NINA Hovedkontor
Tungasletta 2
7485 TRONDHEIM
Telefon: 73 80 14 00
Telefax: 73 80 14 01

NINA
Norsk institutt
for naturforskning